(19) **日本国特許庁(JP)**

(51) Int.Cl.

(12) 特許公報(B2)

FL

(11)特許番号

特許第4317940号 (P4317940)

最終頁に続く

(45) 発行日 平成21年8月19日 (2009.8.19)

英国 (GB)

(24) 登録日 平成21年6月5日(2009.6.5)

` /			
C 1 2 N 15/09	(2006.01) C 1 2 N	15/00 2	ZNAA
A 6 1 P 3/10	(2006.01) A 6 1 P	3/10	
A 6 1 P 31/12	(2006.01) A 6 1 P	31/12	
A 6 1 P 31/18	(2006.01) A 6 1 P	31/18	
A 6 1 P 35/00	(2006.01) A 6 1 P	35/00	
			請求項の数 47 (全 71 頁) 最終頁に続く
(21) 出願番号	特願2003-525033 (P2003-525033)	(73) 特許権者	き 509123806
(86) (22) 出願日	平成14年8月30日 (2002.8.30)		イミュノコア・リミテッド
(65) 公表番号	特表2005-514006 (P2005-514006A)		Immunocore Limited
(43)公表日	平成17年5月19日 (2005.5.19)		イギリス国、オーエックス4 2エイチエ
(86) 国際出願番号	PCT/GB2002/003986		ヌ、オックスフォード、オックスフォード
(87) 国際公開番号	W02003/020763		・ビジネス・パーク、ガーシントン・ロー
(87) 国際公開日	平成15年3月13日 (2003.3.13)		F 9400
審査請求日	平成17年6月21日 (2005.6.21)		9400 Garsington Roa
(31) 優先権主張番号	0121187.9		d, Oxford Business P
(32) 優先日	平成13年8月31日 (2001.8.31)		ark, Oxford, OX4 2HN,
(33) 優先権主張国	英国 (GB)		U K
(31) 優先権主張番号	0219146.8	(74) 代理人	100058479
(32) 優先日	平成14年8月16日 (2002.8.16)		弁理士 鈴江 武彦

||(74)代理人 100108855

弁理士 蔵田 昌俊

(54) 【発明の名称】物質

(33) 優先権主張国

(57)【特許請求の範囲】

【請求項1】

- (i)膜貫通ドメインを除くTCR 鎖の全部または一部と、(ii)膜貫通ドメインを 除くTCR 鎖の全部または一部とを備えた可溶性T細胞受容体(sTCR)であって、(i) および(ii)が、それぞれ、TCR鎖の機能的可変ドメインと定常ドメインの少なくとも 一部とを備え、また(i)および(ii)が、下記を置換しているシステイン残基間のジ スルフィド結合によって連結されていることを特徴とする、可溶性T細胞受容体:
- ・TRAC*01のエキソン 1 におけるThr 48、およびTRBC1*01またはTRBC2*01のエキソン 1 におけるSer 57;
- ・TRAC*01のエキソン 1 におけるThr 45、およびTRBC1*01またはTRBC2*01のエキソン1に おけるSer 77;
- ・TRAC*01のエキソン1におけるTyr 10、およびTRBC1*01またはTRBC2*01のエキソン1に おけるSer 17;
- ・TRAC*01のエキソン1におけるThr 45、およびTRBC1*01またはTRBC2*01のエキソン1に おけるAsp 59 ; または
- ・TRAC*01のエキソン1におけるSer 15、およびTRBC1*01またはTRBC2*01のエキソン1に おける Glu 15。

【請求項2】

(i)および(ii)の一方または双方が、TCR鎖の細胞外定常Igドメインの全部を 備える、請求項1に記載のsTCR。

【請求項3】

(i)および(ii)の一方または双方が、TCR鎖の細胞外ドメインの全部を備える、請求項1または2に記載のsTCR。

【請求項4】

可溶性 型 T 細胞受容体(sTCR)であって、共有ジスルフィド結合が、下記を置換しているシステイン残基間を連結する、可溶性 型 T 細胞受容体:

- ・TRAC*01のエキソン 1 におけるThr 48、およびTRBC1*01またはTRBC2*01のエキソン 1 におけるSer 57;
- ・TRAC*01のエキソン 1 におけるThr 45、およびTRBC1*01またはTRBC2*01のエキソン1におけるSer 77;
- ・TRAC*01のエキソン1におけるTyr 10、およびTRBC1*01またはTRBC2*01のエキソン1におけるSer 17:
- ・TRAC*01のエキソン1におけるThr 45、およびTRBC1*01またはTRBC2*01のエキソン1におけるAsp 59 ; または
- ・TRAC*01のエキソン1におけるSer 15、およびTRBC1*01またはTRBC2*01のエキソン1における Glu 15。

【請求項5】

天然のTCR中の鎖間ジスルフィド結合が存在しない、請求項1乃至4の何れか1項に記載のsTCR。

【請求項6】

天然の鎖間ジスルフィド結合を形成するシステイン残基が除外されるように、天然のおよび TCR鎖の C 末端が切断されている、請求項 5 に記載のsTCR。

【請求項7】

天然の鎖間ジスルフィド結合を形成するシステイン残基が別の残基に置換されている、 請求項5に記載のsTCR。

【請求項8】

天然の鎖間ジスルフィド結合を形成するシステイン残基がセリンまたはアラニンに置換されている、請求項 7 に記載のsTCR。

【請求項9】

天然のTCR 鎖中に存在する対を成していないシステイン残基が存在しない、請求項1乃至8の何れか1項に記載のSTCR。

【請求項10】

請求項1、2および5乃至9の何れか1項に記載のsTCRであって、(i)および(ii)が、それぞれ、第二のTCRの定常ドメインの全部または一部に融合された第一のTCRの機能的可変ドメインを備え、前記第一および第二のTCRが同一の種から得られたものである、sTCR。

【請求項11】

前記第二のTCRの定常ドメインが、前記天然に存在しない鎖間ジスルフィド結合を形成する残基のN末端側において切断されている、請求項10に記載のsTCR。

【請求項12】

前記鎖の一方または双方が、そのC末端またはN末端において、

- ・リンカー分子
- ・膜構造体
- ・ビーズ
- ・検出可能な標識、ならびに
- ・腫瘍抗原特異的抗腫瘍分子、放射線核種、細胞毒性物質、プロドラッグ、抗体、サイトカインを含む免疫刺激物質および酵素を含む治療剤

からなる群より選択される成分で誘導体化されまたは該成分に融合されている、請求項 1 乃至 1 1 の何れか 1 項に記載のsTCR。

【請求項13】

10

20

30

40

前記鎖の一方または双方が、システイン残基をC末端および/またはN末端に有する、 請求項1乃至11の何れか1項に記載のsTCR。

【請求項14】

検出可能な標識をさらに備える、請求項1乃至12の何れか1項に記載のsTCR。

【請求項15】

治療剤と会合された、請求項1乃至13の何れか1項に記載のsTCR。

【請求項16】

請求項1乃至14の何れか1項に記載のsTCRを複数備えた、多価T細胞受容体(TCR)複合体。

【請求項17】

sTCR多量体を備えた、請求項16に記載の複合体。

【請求項18】

好ましくはリンカー分子を介して互いに会合した2または3または4以上のT細胞受容体分子を備えた、請求項17に記載の複合体。

【請求項19】

前記sTCRまたはsTCR多量体が脂質二重層中に存在するかまたは粒子に付着されている、 請求項16、17、または18に記載の複合体。

【請求項20】

MHC - ペプチド複合体を検出する方法であって、

(i)請求項1乃至15の何れか1項に記載された可溶性TCRまたは請求項16乃至1 9の何れか1項に記載された多価T細胞受容体複合体を準備することと、

(ii)前記可溶性TCRまたは多価TCR複合体をMHC - ペプチド複合体と接触させることと、

(iii)前記MHC - ペプチド複合体への前記可溶性TCRまたは多価TCR複合体の結合を検出することと、

を備えた方法。

【請求項21】

薬学的に許容される担体とともに、<u>治療剤と結合させた</u>請求項1乃至15の何れか1項に記載のsTCR、および/または請求項16乃至19の何れか1項に記載の多価TCR複合体を含有する薬学的製剤。

【請求項22】

請求項1乃至15の何れか1項に記載のsTCRの(i)若しくは(ii)をコードする配列またはこれに相補的な配列を備えた核酸分子。

【請求項23】

請求項22に記載の核酸分子を備えたベクター。

【請求項24】

請求項23に記載のベクターを備えた宿主細胞。

【請求項25】

請求項1乃至15の何れか1項に記載された(i)または(ii)を得る方法であって、前記ペプチドを発現せしめる条件下で、請求項24に記載の宿主細胞をインキュベートし、次いで前記ポリペプチドを精製することを備えた方法。

【請求項26】

適切なリフォールディング条件下で、(i)と(ii)を混合することをさらに備えた、請求項25に記載の方法。

【請求項27】

可溶性T細胞受容体(sTCR)を得る方法であって:

膜貫通ドメインを除くTCR 鎖の全部または一部(i)をコードする核酸分子を備えたベクターを含む宿主細胞、および膜貫通ドメインを除くTCR 鎖の全部または一部(ii)をコードする核酸分子を備えたベクターを含む宿主細胞を、前記(i)および(ii)を発現させる条件の下でインキュベートし、前記(i)および(ii)が、それぞれTCR

10

20

30

30

40

鎖の機能的可変ドメインと定常ドメインの少なくとも一部とを備えることと;

- (i)および(ii)を精製することと;
- (i) および(ii) が、その定常ドメイン残基の間で、天然のTCR中には存在しない 下記を置換しているシステイン残基間のジスルフィド結合によって連結されるように、再 折り畳み条件下で混合することと

を含んでなる方法:

- ・TRAC*01のエキソン1におけるThr 48、およびTRBC1*01またはTRBC2*01のエキソン1 におけるSer 57;
- ・TRAC*01のエキソン 1 におけるThr 45、およびTRBC1*01またはTRBC2*01のエキソン1に おけるSer 77;
- ・TRAC*01のエキソン1におけるTyr 10、およびTRBC1*01またはTRBC2*01のエキソン1に おけるSer 17:
- ・TRAC*01のエキソン1におけるThr 45、およびTRBC1*01またはTRBC2*01のエキソン1に おけるAsp 59 ; または
- ・TRAC*01のエキソン1におけるSer 15、およびTRBC1*01またはTRBC2*01のエキソン1に おける Glu 15。

【請求項28】

(i)および(ii)の一方または両方が、TCR鎖の細胞外定常Igドメインの全部を備 える、請求項27に記載の方法。

【請求項29】

(i) および(ii) の一方または双方が、TCR鎖の細胞外ドメインの全部を備える、 請求項27または28に記載の方法。

【請求項30】

型T細胞受容体(sTCR)を得る方法であって: 可溶性

TCR 鎖をコードする核酸分子を備えたベクターを含む宿主細胞、およびTCR 鎖をコー ドする核酸分子を備えたベクターを含む宿主細胞を、夫々のTCR鎖を発現させる条件の下 でインキュベートすることと;

(i)および(ii)を精製することと;

前記 鎖の定常ドメインにおける免疫グロブリン領域の残基が、下記を置換しているシ ステイン残基間の共有ジスルフィド結合によって 鎖の定常ドメインにおける免疫グロブ リン領域の残渣に連結されるように、前記それぞれのTCR鎖を再折り畳み条件下で混合す ることと

を含んでなる方法:

- ・TRAC*01のエキソン 1 におけるThr 48、およびTRBC1*01またはTRBC2*01のエキソン 1 におけるSer 57;
- ・TRAC*01のエキソン 1 におけるThr 45、およびTRBC1*01またはTRBC2*01のエキソン1に おけるSer 77;
- ・TRAC*01のエキソン1におけるTyr 10、およびTRBC1*01またはTRBC2*01のエキソン1に おけるSer 17;
- ・TRAC*01のエキソン1におけるThr 45、およびTRBC1*01またはTRBC2*01のエキソン1に おけるAsp 59 ; または
- ・TRAC*01のエキソン1におけるSer 15、およびTRBC1*01またはTRBC2*01のエキソン1に おける Glu 15。

【請求項31】

天然のTCR中の鎖間ジスルフィド結合は存在しない、請求項27乃至30の何れか1項 に記載の方法。

【請求項32】

天然の鎖間ジスルフィド結合を形成するシステイン残基が除外されるように、天然の および TCR鎖のC末端が切断されている、請求項31に記載の方法。

【請求項33】

20

10

天然の鎖間ジスルフィド結合を形成するシステイン残基が別の残基に置換されている、 請求項31に記載の方法。

【請求項34】

天然の鎖間ジスルフィド結合を形成するシステイン残基がセリンまたはアラニンに置換されている、請求項33に記載の方法。

【請求項35】

天然のTCR 鎖中に存在する対を成していないシステイン残基が存在しない、請求項28乃至34の何れか1項に記載の方法。

【請求項36】

請求項27、28、および31乃至35の何れか1項に記載の方法であって、(i)および(ii)が、それぞれ、第二のTCRの定常ドメインの全部または一部に融合された第一のTCRの機能的可変ドメインを備え、前記第一および第二のTCRが同一の種から得られたものである方法。

【請求項37】

前記第二のTCRの定常ドメインが、前記天然に存在しない鎖間ジスルフィド結合を形成する残基のN末端側において切断されている、請求項36に記載の方法。

【請求項38】

前記鎖の一方または双方のC末端またはN末端が、

・リンカー分子

・膜構造体

・ビーズ

・検出可能な標識、ならびに

・腫瘍抗原特異的抗腫瘍分子、放射線核種、細胞毒性物質、プロドラッグ、抗体、サイトカインを含む免疫刺激物質および酵素を含む治療剤

からなる群より選択される成分で誘導体化されまたは該成分に融合されている、請求項27万至37の何れか1項に記載の方法。

【請求項39】

前記鎖の一方または双方が、システイン残基を C 末端および / または N 末端に有する、 請求項 2 7 乃至 3 8 の何れか 1 項に記載の方法。

【請求頂40】

前記sTCRは検出可能な標識をさらに備える、請求項27乃至39の何れか1項に記載の方法。

【請求項41】

前記sTCRは治療剤と会合されている、請求項27乃至40の何れか1項に記載の方法。

【請求項42】

複数の前記sTCRを組合わせて多価T細胞受容体(TCR)複合体を形成することを更に備えた、請求項27乃至41の何れか1項に記載の方法。

【請求項43】

前記sTCRが、sTCR多量体を形成するように組み合わされる、請求項42に記載の方法。

【請求項44】

2または3または4以上のT細胞受容体分子が、好ましくはリンカー分子を介して互いに会合される、請求項43に記載の方法。

【請求項45】

前記sTCRまたはsTCR多量体が脂質二重層の中に組み込まれるか、または粒子に付着される、請求項42、43、または44に記載の方法。

【請求項46】

MHC - ペプチド複合体を検出する方法であって、

(i)請求項27乃至41の何れか1項に記載の方法により製造された可溶性TCRまた は請求項42乃至45の何れか1項に記載の方法により製造された多価T細胞受容体複合 体を準備することと、 10

20

30

40

(ii)前記可溶性TCRまたは多価TCR複合体をMHC - ペプチド複合体と接触させることと、

(iii)前記MHC - ペプチド複合体への前記可溶性TCRまたは多価TCR複合体の結合を検出することと、

を備えた方法。

【請求項47】

薬学的に許容される担体とともに、<u>治療剤と結合させた</u>請求項27万至41の何れか1項に記載の方法により製造されたsTCR、および/または請求項42万至45の何れか1項に記載の方法により製造された多価TCR複合体を含有する薬学的製剤。

【発明の詳細な説明】

【発明の背景】

[00001]

本発明は、可溶性T細胞受容体(TCR)に関する。

[00002]

W099/60120号に記載されているように、TCRは、T細胞による特異的主要組織適合複合体(MHC) - ペプチド複合体の認識を媒介し、このため、免疫系の細胞性免疫が機能する上で不可欠である。

[0003]

抗体とTCRという 2 種類の分子のみが抗原を特異的に認識するので、TCRは、MHCに提示されたペプチド抗原に対する唯一の受容体であって、外来ペプチドは細胞内の異常を示す唯一の兆候となることが多い。 T 細胞の認識は、 T 細胞と抗原提示細胞(APC)が物理的に直接接触したときに起こり、抗原特異的TCRと p MHC 複合体の連結によって開始される。

[0004]

TCRは、免疫グロブリンスーパーファミリーに属するヘテロ二量体の細胞表面タンパク質であり、シグナル伝達の媒介に関与するCD3複合体のインバリアントタンパク質と会合している。TCRは 及び 型として存在しており、これらは構造的に類似しているが、それらを発現しているT細胞は極めて異なる解剖学的分布を有し、おそらく機能も異なっていると思われる。TCRの細胞外部分は、2つの膜近位定常ドメインと2つの膜遠位可変ドメインとからなっており、可変ドメインは、抗体の相補性決定領域(CDR)と同様の多型ループを有している。TCR分子の結合部位を形成して、ペプチドの特異性を決定するのはこれらのループである。MHCクラスI及びクラスIIリガンドも、免疫グロブリンスーパーファミリーのタンパク質であるが、抗原提示に特化しており、APC細胞表面に多様な短いペプチド断片を提示することを可能とする多型ペプチド結合部位を有している。

[0005]

可溶性TCRは、特異的なTCR - p M H C 相互作用の研究のために有用であるのみならず、感染又は自己免疫疾患マーカーを検出する診断ツールとしても有用であろう。可溶性TCR は、染色にも使用される(例えば、M H C の中に提示されたペプチド抗原の存在を調べるために細胞を染色する)。同様に、可溶性TCRは、特定の抗原を提示している細胞に、治療剤(例えば、細胞毒性化合物又は細胞刺激化合物)を送達するために使用することができる。可溶性TCRは、T 細胞(例えば、自己免疫ペプチド抗原に反応する T 細胞)を阻害するために使用することもできる。

[0006]

多くの場合、タンパク質は膜貫通領域によって安定化されているので、2以上のポリペプチドサブユニットから構成され且つ膜貫通ドメインを有するタンパク質を可溶型として作製することは困難なことがある。このことはTCRについても当てはまり、細胞外ドメインのみ又は細胞外ドメインと細胞質ドメインの何れかを含有する末端切断型のTCRであって、TCR特異的抗体によって認識することができるが(抗体によって認識される組換えTCRの一部が正しくフォールディングされていることを示している)、高い収率で製造するこ

10

20

30

40

とができず、低濃度では不安定であり及び/又はMHC-ペプチド複合体を認識することができないことが科学文献にも記載されていることは、その反映である。この文献は、WO 99/60120号で概説されている。

[0007]

各サブユニットを接続する天然のジスルフィド架橋を含んだTCRへテロ二量体の作製を、数多くの文献が記載している(Garboczi, et al., (1996), Nature 384 (6605): 134-41; Garboczi, et al., (1996), J Immunol 157(12): 5403-10; Chang et al., (1994), PNAS USA 91: 11408-11412; Davodeau et al., (1993) J.Biol. Chem. 268(21): 15455-15460; Golden et al., (1997), J. Imm. Meth. 206: 163-169; 米国特許第6080840号)。しかし、かかるTCRはTCR特異的抗体によって認識され得るが、何れも比較的高濃度でなければ天然リガンドを認識せず及び/又は安定でないことが示された。

[00008]

W099/60120号には、その天然リガンドを認識することができるように正しくフォールディングされ、長時間にわたって安定であり、相当な量を作製することができる可溶性TCRが記載されている。このTCRは、C末端の二量体化ペプチド対(ロイシンジッパーなど)によって、それぞれ、TCR 鎖又は 鎖細胞外ドメインと二量体を形成したTCR 鎖又は 鎖細胞外ドメインを備えている。このTCR作製法は、概ね全てのTCRに適用することが可能である。

[0009]

Reiterら、Immunity、1995、2:281-287は、ジスルフィドで安定化されたTCR 及び可変ドメインを備え、そのうちの1つが末端切断型のPseudomonas exotoxin(PE38)に連結された可溶性分子の構築について詳述している。この分子を作製した理由の1つとして記載されているのは、一本鎖TCRに固有の不安定性を克服することであった。TCR可変ドメイン中の新規ジスルフィド結合の位置は、以前にこれらを導入した抗体の可変ドメインとの相同性を通じて確定された(例えば、Brinkmann, et al. (1993), Proc. Natl. Acad. Sci. USA 90:7538-7542、及び Reiter, et al. (1994) Biochemistry 33:5451-5459)。しかし、抗体とTCR定常ドメイン間にはこのような相同性は存在しないので、TCR定常ドメインの間に新しい鎖間ジスルフィド結合を導入するのに適した部位を同定するために、このような技術を用いることはできなかった。

[0010]

可溶性TCRの重要性に鑑みれば、このような分子を作製するための代替的な方法を提供することが望ましいであろう。

【発明の開示】

[0011]

第一の側面によれば、本発明は、(i)膜貫通ドメインを除くTCR 鎖の全部又は一部と、(ii)膜貫通ドメインを除くTCR 鎖の全部又は一部とを備えた可溶性 T 細胞受容体(sTCR)であって、(i)及び(ii)が、それぞれ、TCR鎖の機能的可変ドメインと定常ドメインの少なくとも一部とを備え、天然のTCR中には存在しないジスルフィド結合によって、(i)及び(ii)の定常ドメインの残基が連結されている、可溶性 T 細胞受容体を提供する。

[0012]

別の側面では、本発明は、可溶性型T細胞受容体(sTCR)であって、共有ジスルフィド結合が、鎖の定常ドメインの免疫グロブリン領域の残基を、鎖の定常ドメインの免疫グロブリン領域の残基に連結する、可溶性型T細胞受容体を提供する。

[0013]

本発明のsTCRには、免疫原性を示すか、あるいは体外から速やかにsTCRが排出されてしまう可能性がある異種ポリペプチドを含有していないという利点がある。さらに、本発明のTCRは、元になった天然のTCRと極めて類似した三次元構造を有しており、この構造的類似性の故に、本発明のTCRは免疫原性を示さないものと思われる。本発明のsTCRは、クラスI MHC - ペプチド複合体を認識するため

10

20

30

40

20

30

40

50

に用いることができる。

[0014]

本発明のTCRは可溶性である。本出願において、可溶性(solubility)とは、単分散へテ ロニ量体として、リン酸緩衝生理食塩水(PBS)(KCL 2.7mM、KH₂PO₄ 1.5mM、NaCl 137 mM、及びNa2PO4 8mM、 pH 7.1-7.5. Life Technologies, Gibco BRL)中に、 1 m g / m L の濃度でTCRを精製することが可能であり、且つ25 で1時間インキュベートした後に おいても、前記TCRの90%超がなお単分散へテロ二量体であることをいう。TCRの溶解性 を評価するためには、まず、実験例2に記載されているようにTCRを精製する。この精製 を行った後に、分析用サイズ排除クロマトグラフィー(例えば、PBSで平衡化したPhar maciaのSuperdex 7.5 HRカラムを用いて) 1.0.0 μgのTCRを分析する。2.5 で1 時間、さらに100gのTCRをインキュベートした後、前述のとおりに、サイズ排除クロ マトグラフィーによって分析する。次いで、サイズ排除のトレースを積算により分析し、 単分散へテロ二量体に対応するピーク下領域面積を比較する。当該ピークは、分子量既知 のタンパク質標準の溶出位置と比較することによって同定することができる。単分散へテ ロ二量体可溶性TCRは、約50kDaの分子量を有する。上述したように、本発明のTCRは 可溶性である。しかし、以下でさらに詳述されているように、得られた複合体が不溶性と なるように、又はTCRが不溶性固相支持体の表面上に提示され得るように、ある成分(m oiety)にTCRをカップルさせることができる。

[0015]

本明細書で用いられているTCRアミノ酸の番号は、「The T Cell Receptor Factsbook, 2001, LeFranc & LeFranc, Academic Press」に記載されているI M G T システムに従っている。このシステムでは、 鎖定常ドメインは、TRAC * 0 1 という表記を有している(ここで、「T R」はT細胞受容体遺伝子を表し、「A」は 鎖遺伝子を表し、「C」は定常領域を表し、「*01」は対立遺伝子1を表す)。 鎖定常ドメインは、TRBC * 0 1 という表記を有している。この例では、2つの定常領域遺伝子「C1」及び「C2」が存在し得る。各対立遺伝子によってコードされる翻訳されたドメインは、複数のエキソンの遺伝コードから構成されることもあるので、これらも特定される。アミノ酸は、それらが存在するドメインのエキソンに従って番号が付される。

[0016]

天然のTCRの細胞外部分は、各々が膜近位定常ドメインと膜遠位可変ドメインを有する 2つのポリペプチド(又は)からなる(図1参照)。前記定常ドメインと可変ド メインのそれぞれには、鎖内ジスルフィド結合が含まれる。可変ドメインは、抗体の相補 性決定領域(CDR)に類似した多型性が高いループを含有する。TCRのCDR 3 は、MHCに よって提示されるペプチドと相互作用し、CDR 1 とCDR 2 はペプチド及びMHCと相互作用 する。TCR配列の多様性は、連結される可変(V)、多様(D)、連結(J)、及び定常 遺伝子の体細胞での再構成を通じて生成される。機能的な 鎖ポリペプチドは、再構成さ れたV-J-C領域によって形成されるのに対して、 鎖はV-D-J-C領域からなる 。細胞外定常ドメインは、膜近位領域と免疫グロブリン領域を有している。膜近位領域は 、膜貫通ドメインと膜近位システイン残基の間に位置するアミノ酸からなる。定常免疫グ ロブリンドメインは、残りの定常ドメインアミノ酸残基からなり、膜近位システインから 連結領域(joining region)の先頭にまで及び、免疫グロブリン型の折り畳み(fold)の存在 を特徴とする。 C 1又はTRAC * 01として知られる単一の 鎖定常ドメインと、 C 1 又はTRBC * 0 1 及び C 2 又はTRBC 2 * 0 1 として知られる 2 つの異なる 定常ドメイン とが存在する。これらの異なる 定常ドメイン間の差は、エキソン1のアミノ酸残基4、 5、及び37に存する。このため、TRBC1^{*} 01は、そのエキソン1の中に4N、5K、 及び37Fを有し、TRBC2 * 01は、そのエキソン1の中に4K、5N、及び37Yを有 する。各TCR細胞外ドメインの範囲は、若干変化し得る。

[0017]

本発明では、各鎖の定常ドメイン(又はその一部)中に位置する残基の間にジスルフィド結合が導入される。TCRの各鎖は、pMHC複合体と相互作用できるのに十分な、それ

らの可変ドメインを備える。このような相互作用は、それぞれ、本明細書の実験例 3 又は WO99/6120号に記載されているように、BIAcore 3 0 0 0 $^{\mathsf{T}}$ $^{\mathsf{M}}$ 又はBIAcore 2 0 0 0 $^{\mathsf{T}}$ $^{\mathsf{M}}$ 装置を用いて測定することができる。

[0018]

ある実施態様では、本発明のSTCRの各鎖は、その鎖内ジスルフィド結合も備える。本発明のTCRは、各TCR鎖の細胞外定常Ig領域を全て、好ましくは各鎖の細胞外ドメインを全て(すなわち、膜近位領域を含む)備えてもよい。天然のTCRには、各鎖の保存された膜近位領域を連結するジスルフィド結合が存在する。本発明の一実施形態では、このジスルフィド結合が存在しない。これは、適切なシステイン残基(それぞれ、アミノ酸4、TRAC*01遺伝子のエキソン2、並びにTRBC1*01及びTRBC2*01のアミノ酸2)を別のアミノ酸に変異させることによって、又はシステイン残基が含まれないように各鎖を末端切断することによって行うことができる。本発明の好ましい可溶性TCRは、天然の鎖間ジスルフィド結合を形成するシステイン残基が除外されるようにC末端が切断された(すなわち、前記システイン残基のN末端側残基1、2、3、4、5、6,7、8、9、又は10の箇所で切断された)天然の及び TCR鎖を備える。しかし、天然の鎖間ジスルフィド結合が本発明のTCR中に存在してもよく、一部の実施形態では、TCR鎖のうち1つのみが、天然の鎖間ジスルフィド結合を形成する天然のシステイン残基を有することに留意しなければならない。このシステインは、成分をTCRに付着させるために使用することができる。

[0019]

しかし、各TCR鎖は、さらに短くしてもよい。定常ドメインは、ペプチド・MHCリガンドとの接触に直接関与していないので、実質的に機能性を失わせずに、C末端切断点を変化させることもできる。

[0020]

あるいは、本発明で好まれるものより大きな定常ドメインの断片が存在してもよい(すなわち、定常ドメインは、必ずしも、鎖間ジスルフィド結合を形成するシステインの直前で切断する必要はない)。例えば、膜貫通ドメインを除く定常ドメイン全体(すなわち、細胞外ドメインと細胞質ドメイン)を含めることもできるであろう。この場合には、細胞のTCR中で鎖間ジスルフィド結合を形成している1以上のシステイン残基を変異させて、ジスルフィド結合の形成に関与しない別のアミノ酸残基にするか、これらの残基を1以上欠失させるのが有利となり得る。

[0021]

シグナルペプチドは、成熟TCR中では、そのリガンド結合能力に関して何の意味もなく、環境によっては、機能的な可溶性TCRの形成を妨げることもあるので、可溶性TCRを原核細胞、例えば、E.Coli中で発現させるのであれば、シグナルペプチドは省略してもよい。多くの場合には、シグナルペプチドが成熟TCR鎖から除去される切断部位は予測され、実験的に決定されるわけではない。そのN末端が数アミノ酸(すなわち、例えば、最大約10アミノ酸)長い又は短いように、発現されるTCR鎖を設計すると、可溶性TCRの機能性(すなわち、pMHCを認識する能力)に影響がないであろう。元のタンパク質配列中に存在しない付加を加えることもできる。例えば、TCRの抗原結合部位の正しい構造とフォールディングを妨害しないのであれば、TCR鎖の精製を容易にし得る短いタグ配列を付加してもよい。

[0022]

E.Coli中で発現させるためには、翻訳の開始を可能とするために、予想される成熟タンパク質配列のN末端開始点上にメチオニン残基を工作してもよい。

[0023]

TCR鎖の可変ドメイン中に存在する全ての残基が、抗原特異性と機能性に不可欠だというわけではない。このため、抗原特異性と機能性に影響を与えずに、このドメイン中に多数の変異を導入することができる。TCR鎖の定常ドメイン中に存在する全ての残基が、抗原特異性と機能性に不可欠だというわけではない。このため、抗原特異性に影響を与えず

10

20

30

40

に、このドメイン中に多数の変異を導入することができる。

[0024]

TCRの 鎖は、細胞のTCR又は天然のTCR中に、対を形成していないシステイン残基を含有している。不適切な鎖内又は鎖間対形成を避けるために、このシステイン残基は除去するか、あるいは別の残基に変異させることが好ましい。このシステイン残基を別の残基(例えば、セリン又はアラニン)に置換することによって、インビトロでのリフォールディング効率に著しく好ましい効果がもたらされ得る。

[0025]

各鎖上に存在する非システイン残基をシステインに変異させ、変異された残基間に結合を形成させることによって、ジスルフィド結合は形成させることができる。天然の残基の代わりに導入されたシステイン残基の間に、ジスルフィド結合が形成され得るように、天然のTCR中で、それぞれの 炭素の距離が約6 (0.6 nm)以下であり、好ましくは3.5 (0.35 nm)乃至5.9 (0.59 nm)離れている残基が好ましい。ジスルフィド結合は膜近位領域の残基間にあってもよいが、定常免疫グロブリン領域中の残基の間にあることが好ましい。ジスルフィド結合を形成させるためにシステインを導入することができる好ましい部位は、TCRの鎖に関してはTRAC*01のエキソン1、TCRの鎖に関してはTRBC1*01又はTRBC2*01のエキソン1に存在する以下の残基である。【表1】

TCR α 鎖	TCR β 鎖	天然の β 炭素の距離
		(nm)
Thr 48	Ser 57	0.473
Thr 45	Ser 77	0.533
Tyr 10	Ser 17	0.359
Thr 45	Asp 59	0.560
Ser 15	Glu 15	0.59

本発明のsTCRのうち1つは、A6 Tax TCRに由来する(Garboczi et al, Nature, 1996,384 (6605): 134-141)。ある実施形態では、前記sTCRは、TRAC * 0 1 のエキソン 2 、残基 4 の N 末端にあるTCRの 鎖全体(Garbocziらが用いた番号によると、 鎖のアミノ酸残基 1 - 1 8 2)と、TRBC 1 * 0 1 及びTRBC 2 * 0 1 の両方のエキソン 2 、残基 2 の N 末端にあるTCRの 鎖全体(Garbocziらが用いた番号によると、 鎖のアミノ酸残基 1 - 2 1 0)とを備える。ジスルフィド結合を形成させるためには、TRAC * 0 1 中のエキソン 1 のトレオニン 4 8(Garbocziらが用いた番号によると、 鎖のトレオニン 1 5 8)と TRBC 1 * 0 1 及びTRBC 2 * 0 1 中に存在するエキソン 1 のセリン 5 7(Garbocziらが用いた番号によると、 鎖のセリン 1 7 2)を、それぞれシステインに変異させ得る。これらのアミノ酸は、それぞれ、 及び TCR鎖の定常ドメインの ストランドDの中に位置する。

[0026]

図3 a と 3 b では、残基 1 (Garbocz i らの用いた番号による)は、それぞれ K と N であることに留意しなければならない。天然の A 6 T a x TCR中には、N 末端のメチオニン残基は存在せず、上述したように、細菌の発現系の中で、各鎖が作製される場合には存在することがある。

[0027]

新しい鎖間ジスルフィド結合を形成させるために、システイン残基に変異させることができるヒトTCR中の残基は特定されているので、当業者であれば、同じように、任意のTCRを変異させて、新しい鎖間ジスルフィド結合を有する可溶型のTCRを作製することができるであろう。ヒトの場合、当業者は、各TCR鎖中に以下のモチーフを探して、変異させるべき残基を同定する必要があるにすぎない(影が付されている残基は、システインに変異される残基である)。

[0028]

10

20

30

鎖 Thr 48: DSDVYITDK<u>T</u>VLDMRSMDFK(TRAC * 01遺伝子のエキソン1のアミノ酸39-58)

鎖 Thr 45: QSKDSDVYI<u>T</u>DKTVLDMRSM (TRAC * 01遺伝子のエキソン1のアミノ酸36-55)

鎖 Tyr10: DIQNPDPAV<u>Y</u>QLRDSKSSDK(TRAC^{*}01遺伝子のエキソン1のアミノ酸1-20)

鎖 Ser 1 5: DPAVYQLRD<u>S</u>KSSDKSVCLF(TRAC * 0 1 遺伝子のエキソン 1 のアミノ酸 6 - 2 5)

鎖 Ser57: NGKEVHSGV<u>S</u>TDPQPLKEQP(TRBC1 * 0 1 遺伝子とTRBC 2 * 0 1 遺伝子のエキソン 1 のアミノ酸 4 8 - 6 7)

鎖 Ser 7 7: ALNDSRYAL<u>S</u>SRLRVSATFW (TRBC 1 * 0 1 及びTR BC 2 * 0 1 遺伝子のエキソン 1 のアミノ酸 6 8 - 8 7)

鎖 Ser 1 7: PPE V A V F E P S E A E I S H T Q K A (TRBC 1 * 0 1 及びTR BC 2 * 0 1 遺伝子のエキソン 1 のアミノ酸 8 - 2 7)

鎖 Asp59: KEVHSGVST<u>D</u>PQPLKEQPAL(TRBC1 * 0 1 及びTR BC2 * 0 1 遺伝子のエキソン1のアミノ酸50 - 69)

鎖 Glu15: VFPPEVAVF<u>E</u>PSEAEISHTQ(TRBC1 * 0 1 及びTR BC2 * 0 1 遺伝子のエキソン1のアミノ酸6 - 2 5)

その他の種では、TCR鎖は、上記モチーフと100%の同一性を有する領域を有していないことがある。しかしながら、当業者であれば、TCRの 鎖又は 鎖の等価な部分を同定して、システインに変異させるべき残基を同定するために上記モチーフを用いることが可能であろう。この点では、アラインメント技法を用いることができる。例えば、TCR配列の変異に適した部分の位置を決定するために、European Bioinformatics Institute we bsite(http://www.ebi.ac.uk/index.html)から入手できるClustal Wを用いて、上記モチーフを、特定のTCR鎖配列と比較することができる。

[0029]

ヒトのジスルフィド連結 TCRのみならず、他の哺乳動物(マウス、ラット、ブタ、ヤギ、及びヒツジが含まれるが、これらに限定されない)のジスルフィド連結 TCRも、本発明の範囲に属する。上述したように、当業者であれば、システイン残基を導入して鎖間ジスルフィド結合を形成させることができる、上記ヒトの部位と等価な部位を決定することができるであろう。例えば、TCR鎖間ジスルフィド結合を形成させるためにシステインに変異させることができる、上記ヒトの残基と等価なマウスの残基を示すモチーフとともに、マウス C及び C可溶性ドメインのアミノ酸配列が、以下に示されている(当該残基に影が付されている)。

[0030]

マウスの C 可溶性ドメイン:

PYIQNPEPAVYQLKDPRSQDSTLCLFTDFDSQINVPKTMESGTFITDKTVLDMKAMDSKSNGAIAWSNQTSFTCQDIFKE TNATYPSSDVP

マウスの C 可溶性ドメイン:

EDLRNVTPPKVSLFEPSKAE I ANKQKATLVCLARGFFPDHVELSWWVNGREVHSGVSTDPQAYKESNYSYCLSSRLRVSA 40 TFWHNPRNHFRCQVQFHGLSEEDKWPEGSPKPVTQN I SAEAWGRAD

ヒト 鎖 Thr 48のマウスにおける等価物: ESGTF ITDKTVLDMKAMDSK

ヒト 鎖 T h r 4 5 のマウスにおける等価物: KTMESGTF I TDKT VLDMKAM

ヒト 鎖 T y r 1 0 のマウスにおける等価物:YIQNPEPAVYQLKDPRSQDS

ヒト 鎖Ser15のマウスにおける等価物:AVYQLKDPR<u>S</u>QDSTLCLFTD

ヒト 鎖 S e r 5 7 のマウスにおける等価物:NGREVHSGVSTDPQAYKESN ヒト 鎖 S e r 7 7 のマウスにおける等価物:KESNYSYCLSSRLRVSATFW

ヒト 鎖 S e r 1 7 のマウスにおける等価物: PPKVSLFEPSKAE I ANKQKA

ヒト 鎖 Asp 5 9 のマウスにおける等価物: REVHSGVSTDPQAYKESNYS

ヒト 鎖Glu15のマウスにおける等価物:VTPPKVSLFEPSKAEIANKQ。

10

20

30

[0031]

本発明の好ましい実施形態では、前記TCRの(i)及び(ii)の各々が、第二のTCRの定常ドメインの全部又は一部に融合された第一のTCRの機能的可変ドメインを備え、前記第一及び第二のTCRは同一の種から得られたものであり、天然のTCRには存在しない前記各定常ドメインの全部又は一部中の残基の間に鎖間ジスルフィド結合が存在する。ある実施形態では、前記第一及び第二のTCRはヒトのものである。換言すれば、ジスルフィド結合によって連結された定常ドメインは、その上に可変ドメインを融合させることができるフレームワークとして機能する。得られたTCRは、第一のTCRの元となった天然のTCRと実質的に同一であろう。このような系によって、安定な定常ドメインフレームワーク上にあらゆる機能的可変ドメインを容易に発現することが可能となる。

[0032]

その上に異種の可変ドメインを融合することができるフレームワークとして、上記A6Tax sTCRの定常ドメイン、あるいは、実際には、上述した新しい鎖間ジスルフィド結合を有する任意の変異 TCRの定常ドメインを用いることができる。融合タンパク質は、異種可変ドメインのコンフォメーションをできる限り保持していることが好ましい。従って、導入されるシステイン残基と定常ドメインのN末端との間にある何れかの部位で、異種の可変ドメインが定常ドメインに連結されていることが好ましい。A6 Tax TCRの場合、 及び 鎖上の導入されたシステイン残基は、それぞれ、TRAC*01中のエキソン1のトレオニン48(Garbocziらが用いた番号によると、 鎖のトレオニン158)、及びTRBC1*01とTRBC2*01中のエキソン1のセリン57(Garbocziらが用いた番号によると、 鎖のセリン172)に位置することが好ましい。従って、異種の 及び 鎖可変ドメイン付着点は、それぞれ、残基48(Garbocziらが用いた番号によると159)又は残基58(Garbocziらが用いた番号によると173)と 又は 定常ドメインのN末端との間に存在することが好ましい。

[0033]

A 6 T a x TCR中の前記付着点に対応する異種 及び 鎖の定常ドメイン中の残基 は、配列の相同性によって同定することができる。融合タンパク質は、好ましくは、付着点のN末端の異種配列を全て包含するように構築することが好ましい。

[0034]

以下でさらに詳細に論述されているように、本発明のsTCRは、そのC末端又はN末端を成分(moiety)で誘導体化し、又は成分に融合させてもよい。結合ドメインから遠位にあるので、C末端が好ましい。ある実施形態では、TCR鎖の一方又は双方が、このような成分を融合させることができるシステイン残基を、そのC末端及び/又はN末端に有する。

[0035]

本発明の可溶性TCR(好ましくは、ヒトのもの)は、実質的に純粋な形態で、又は精製された若しくは単離された調製物として提供することができる。例えば、本発明の可溶性 TCRは、他のタンパク質が実質的に存在しない形態で提供することができる。

[0036]

本発明の複数の可溶性TCRを、多価複合体中に与えてもよい。このように、本発明は、ある側面において、本明細書に記載されている可溶性 T 細胞受容体を複数備えた、多価 T 細胞受容体 (TCR) 複合体を提供する。前記複数の可溶性TCRは各々、同一であることが好ましい。

[0037]

別の側面では、本発明は、MHC-ペプチド複合体を検出する方法であって、

- (i) 本明細書に記載された可溶性 T 細胞受容体又は多価 T 細胞受容体複合体を準備することと、
- (ii)前記可溶性T細胞受容体又は多価TCR複合体を前記MHC-ペプチド複合体と接触させることと、
- (iii)前記MHC-ペプチド複合体への前記可溶性T細胞受容体又は多価TCR複合体の結合を検出することと、

10

20

30

40

を備えた方法を提供する。

[0038]

本発明の多価複合体において、前記TCRは多量体の形態をとるか、及び/又は、脂質二重層(例えば、リポソーム)上に存在し若しくは脂質二重層(例えば、リポソーム)と会合してもよい。

最も単純な形態では、本発明の多価TCR複合体は、好ましくはリンカー分子を介して、(例えば、共有結合で、又はその他の結合で)互いに会合(associate)した2又は3又は4以上のT細胞受容体分子の多量体を備える。適切なリンカー分子には、アビジン、ストレプトアビジン、ニュートラビジン、及びエキストラビジン(これらは、それぞれ、ビオチンの結合部位を4つ有している)等の多価接着分子(attachment molecule)が含まれるがこれらに限定されるものではない。このように、複数のTCR結合部位を有するT細胞受容体の多量体中に、ビオチン化されたTCR分子を形成することができる。多量体中に存在するTCR分子の数は、多量体を作るために用いられるリンカー分子の量に対するTCRの量に依存するとともに、他のあらゆるビオチン化された分子の有無にも依存するであろう。好ましい多量体は、二量体、三量体、又は四量体のTCR複合体である。

[0039]

特定のMHC-ペプチド複合体を発現している細胞を追跡し又は誘導する際には、TCR 四量体より大きな構造体を用いてもよい。前記構造体は、直径10nm乃至10μmの範囲にあることが好ましい。該構造体上に存在する2以上のTCR分子が細胞上の2以上のMHC-ペプチド複合体に同時に結合して、多量体の結合成分の細胞に対する結合親和性が増大し得るように十分な距離を置いて、各構造体に、複数のTCR分子をディスプレイしてもよい。

[0040]

本発明で使用するのに適した構造体には、リポソーム等の膜構造体、及び固体構造体(solid structures)(ビース、例えば、ラテックスビーズなどの粒子であることが好ましい)が含まれる。T細胞受容体分子で外部を被覆することができる他の構造体も適切である。前記構造体は、各個のT細胞受容体分子で被覆するよりも、T細胞受容体多量体で被覆することが好ましい。

[0041]

リポソームの場合には、T細胞受容体分子又はその多量体を膜に付着(attach)させるか、あるいは、膜と会合させてもよい。このための技術は、当業者に周知である。

[0042]

標識又はそれ以外の成分(毒性成分又は治療成分など)を、本発明の多価TCR複合体中に包含させてもよい。例えば、混合分子多量体の中に、標識その他の成分を包含させることができる。このような多量体分子の例は、3つのTCR分子と1つのペルオキシダーゼ分子を含有するテトラマーである。これは、TCRと酵素を3:1のモル比で混合して四量体複合体を生成させ、分子を正しい比率で含有していない全ての複合体から、所望の複合体を単離することによって達成することができるであろう。立体的な障害が生じないか、又は分子の所望の機能が著しく損なわれなければ、これらの混合分子は、あらゆる組合せの分子を含有することができる。ストレプトアビジン分子上の結合部位の位置関係は、立体的な障害が起こりにくいので、混合型四量体に適している。

[0043]

TCRをビオチン化する他の手段も可能であろう。例えば、化学的なビオチン化を使用することができる。ビオチンタグ配列中の一定のアミノ酸は不可欠であるが(Schatz、(1993).Biotechnology NY11(10):1138-43)、別のビオチン化タグを用いてもよい。ビオチン化に用いる混合物を変化させることもできる。前記酵素は、Mg-ATPと低イオン強度を必要とするが、これらの条件は何れも変化させることができる(例えば、さらに高いイオン強度とさらに長い反応時間を使用することも可能であろう)。TCRの多量体を形成させるために、アビジン又はストレプトアビジン以外の分子を使用することも可能であろう。ビオチンを多価で結合するあらゆる分子が適しているであろう。あるいは、全く異なる連

10

20

30

40

結(キレートされたニッケルイオンへのポリヒスチジンタグなど(Quiagen Product Guide 1999, Chapter 3 "Protein Expression, Purification, Detection and Assay " p.35-37)) を考案することもできるであろう。ペプチド - MHC複合体との相互作用における構造的な障害の程度を最少に抑えるために、前記タグは、タンパク質のC末端方向に位置することが好ましい。

[0044]

前記TCR鎖の一方又は双方を、検出可能な標識(例えば、診断用途に適した標識)で標識することもできる。このように、本発明は、MHC - ペプチド複合体を検出する方法であって、MHC - ペプチド複合体を、該MHC - ペプチド複合体に特異的である本発明のTCR又は多量体TCR複合体と接触させることと、前記TCR又は多量体TCR複合体の前記MHC - ペプチド複合体への結合を検出することと、を備えた方法を提供する。ビオチン化されたヘテロ二量体を用いて形成された四量体TCRでは、検出可能な標識を与えるために、蛍光ストレプトアビジン(市販されている)を使用することができる。例えば、TCRが特異性を示すペプチドを担持する抗原提示細胞を検出するために、蛍光標識されたテトラマーは、FACS分析で使用するのに適している。

[0045]

本発明の可溶性TCRを検出することができる別の方法は、TCR特異的な抗体、特にモノクローナル抗体を使用することである。それぞれ、 鎖と 鎖の定常領域を認識する F 1 や F 1 等の市販の抗TCR抗体が数多く存在する。

[0046]

これに代えて又はこれに加えて、本発明のTCR(又はその多価複合体)に、例えば、細胞を死滅させるのに使用する毒性成分又はインターロイキン若しくはサイトカイン等の免疫刺激因子であり得る治療剤を(例えば、共有結合その他の結合で)結合させてもよい。本発明の多価TCR複合体は、多量体でないT細胞受容体へテロ二量体と比べて、pMHCに対する結合能が増強されている場合がある。このように、本発明の多価TCR複合体は、インビトロ又はインビボで、特定の抗原を提示する細胞を追跡し又は標的とするのに特に有用であり、このような用途を有する多価TCR複合体をさらに作製するための中間体としても有用である。従って、前記TCR又は多価TCR複合体は、インビボで使用するための薬学的に許容される製剤に加えることができる。

[0047]

本発明は、標的細胞に治療剤を送達する方法であって、TCR又は多価TCR複合体を前記標的細胞に付着させることが可能な条件下で、本発明のTCR又は多価TCR複合体を標的細胞となり得る細胞に接触させることを備え、前記TCR又は多価TCR複合体がMHC-ペプチド複合体に対して特異的であり、且つTCR又は多価TCR複合体に前記治療剤が結合されている、方法も提供する。

[0048]

特に、前記可溶性TCR又は多価TCR複合体を用いて、ある抗原を提示する細胞が存在する場所に治療剤を送達することができる。これは、多くの状況において、とりわけ、癌を攻撃する上で有用であろう。治療剤は、その効果が局所的であるが、当該治療剤が結合する細胞のみに効果が限定されないように、送達することもできるであろう。このように、ある方法では、T細胞受容体又は多価TCR複合体に連結された腫瘍抗原特異的抗腫瘍分子を想定している。

[0049]

多くの治療剤、例えば、放射性化合物、酵素(例えば、パーフォリン)、又は化学療法剤(例えば、シスプラチン)をこの用途に利用することができるであろう。所望の場所で確実に毒性効果が発揮されるようにするために、化合物がゆっくり放出されるように、ストレプトアビジンにトキシンを連結して、リポソームの内側に入れることもできるであろう。これによって、体内での輸送中に効果が損なわれることが防止され、TCRが所定の抗原提示細胞に結合した後に、トキシンが最大の効果を有することが確保されるであろう。

[0050]

10

20

30

20

30

40

50

他の適切な治療剤には、

- ・小分子細胞毒性物質(すなわち、700ダルトン未満の分子量を有し、哺乳類細胞を死滅させることができる化合物)。このような化合物は、細胞毒性効果を有することができる有毒金属も含有し得るであろう。さらに、これらの小分子細胞毒性物質には、プロドラッグ(すなわち、生理的条件下で崩壊し、又は変換を受けて、細胞毒性物質を放出する化合物)も含まれることを理解しなければならない。このような物質の例として、シスプラチン、メイタイシン誘導体、レイチェルマイシン(rachelmycin)、カリチェアマイシン、ドセタキセル、エトポシド、ゲムシタビン、イフォスファミド、イリノテカン、メルファラン、ミトキサントロン、ソルファイマー(sorfimer)、ナトリウムフォトフリンII、テモゾルミド(temozolmide)、トポテカン、トリメトレエートグルクロネート(trimet reateglucuronate)、アウリスタチンE(auristatin E)、ビンクリスチン、及びドキソルビシンが挙げられる;
- ・ペプチドサイトトキシン(すわち、哺乳類細胞を死滅させることができるタンパク質又はその断片)。例として、リシン、ジフテリアトキシン、シュードモナスバクテリアトキシンA、DNAアーゼ及びRNAアーゼが含まれる;
- ・放射線核種(すなわち、 若しくは 粒子又は 線のうち1以上を放出しながら崩壊する、元素の非安定同位体)。例として、ヨウ素131、レニウム186、インジウム11、イットリウム90、ビスマス210及び213、アクチニウム225、並びにアスタチン213などが含まれる;
- ・抗体に誘導される酵素プロドラッグ(antibody directed enzyme pro-drug)などのプロドラッグ;
- ・免疫刺激物質(immuno-stimulant)(すなわち、免疫反応を刺激する成分)。例として、IL-2などのサイトカイン、IL-8、血小板因子4、メラノーマ増殖刺激タンパク質などのケモカイン、抗体又はその断片、補体活性化因子、異種タンパク質ドメイン、同種タンパク質ドメイン、ウイルス/細菌タンパク質ドメイン、並びにウイルス/細菌ペプチドが含まれる。

[0051]

本発明の可溶性TCR又は多価TCR複合体は、プロドラッグを薬物に転換することができる酵素に連結させてもよい。これにより、プロドラッグは、必要とされている部位に限って、薬物に転換することが可能となる(すなわち、TCRによって誘導される)。

[0052]

本発明のTCRに対する適切なMHC - ペプチド標的の例には、HTLV - 1 エピトープ(例えば、HLA - A 2 に拘束されるTaxペプチド、HTLV - 1 は白血病に関連している。)、HIVエピトープ、EBVエピトープ、CMVエピトープなどのウイルスエピトープ、メラノーマエピトープ(例えば、MAGE - 1 HLA - A 1 拘束エピトープ)、及び他の癌特異的エピトープ(例えば、HLA - A 2 によって拘束される腎細胞癌腫随伴抗原G250)、慢性関節リウマチなどの自己免疫疾患に関連するエピトープが含まれるが、これらに限定されない。疾病に関連するpMHCであって本発明での使用に適したpMHC標的が、さらに、「HLA Factbook(Barclay(Ed) Academic Press)」に列記されており、他にも多くのものが同定されつつある。可溶性TCRの特異性によって薬物を局在化させることによって、複数の疾病の治療を強化させ得る可能性もある。

[0053]

薬物が存在するウイルス疾患(例えば、HIV、SIV、EBV、CMV)では、感染細胞の近傍で放出又は活性化される薬物が有益であろう。癌の場合、腫瘍又は転移の近傍に局在化させることによって、トキシン又は免疫刺激物質の効果が増強するであろう。自己免疫疾患では、患者の全体的な免疫能への影響を最小限に抑えつつ、免疫抑制剤をゆっくり放出させ、長期間にわたって、より局所的な効果を与えることができるであろう。移植片の拒絶を抑制する場合には、免疫抑制剤の効果を同様に最適化することができるであろう。ワクチンを送達する場合、抗原提示細胞の近傍にワクチン抗原を局在化させることにより、抗原の効力を増強させることができるであろう。本方法は、画像診断にも適用す

(16)

ることができる。

[0054]

本発明の可溶性TCRは、特異的な p M H C を結合させて T 細胞の活性化をモジュレートすることにより、 T 細胞の活性化を阻害するために使用することもできる。 T 細胞を介した炎症及び / 又は組織傷害を伴う自己免疫疾患、例えば、 I 型糖尿病は、このアプローチに適しているであろう。この用途では、当該 p M H C によって提示される特異的なペプチドエピトープを知ることが必要である。

[0055]

本発明の医薬は、無菌の薬学的組成物(薬学的に許容される担体を含むのが通常である)の一部として供給されるのが通常であろう。この薬学的組成物は、(患者に投与する所望の方法に応じて)任意の適切な形態であり得る。前記薬学的組成物は、単位投薬形態として提供することができ、密封された容器中に入れるのが一般的であり、キットの一部として提供してもよい。このようなキットには、(必ずというわけではないが)通常、使用説明書が添付されているであろう。キットには、複数の単位投薬形態が含まれていてもよい。

[0056]

前記薬学的組成物は、任意の適切な経路、例えば、経口(口腔粘膜(buccal)又は舌下を含む)、直腸、経鼻、局所(口腔粘膜、舌下、又は経皮を含む)、膣又は非経口(皮下、筋肉内、静脈内、又は皮内を含む)経路による投与に適合させ得る。このような組成物は、薬学の分野で公知のあらゆる方法によって、例えば、滅菌条件下で、活性成分を担体又は賦形剤と混合することによって、調製することができる。

【 0 0 5 7 】

経口投与向けの薬学的組成物は、カプセル又は錠剤などの分離したユニットとして、粉末又は顆粒として、溶液、シロップ、又は懸濁液として(水性又は非水性液中に、又は食べられるフォーム(foam)又はホイップとして、又はエマルジョンとして)与えることができる。錠剤又はハードゼラチンカプセルに適した賦形剤には、ラクトース、トウモロコシのデンプン又はその誘導体、ステアリン酸又はその塩が含まれる。ソフトゼラチンカプセルとともに使用するのに適した賦形剤には、例えば、植物油、蝋(wax)、脂肪、半固体又は液体のポリオールなどが含まれる。

[0058]

溶液及びシロップを調製する場合には、使用し得る賦形剤には、例えば、水、ポリオール、及び糖が含まれる。懸濁油(例えば、植物油)の調製には、水中油又は油中水懸濁液を与えるために使用することができる。経皮投与向けの薬学的組成物は、長期間にわたって、受療者の表皮と密接した状態を保つための分離したパッチ(discrete patch)として与えることができる。例えば、活性成分は、「Pharmaceutical Research 3(6):318(1986)」に概説されているイオントフォレーシスにより、パッチから送達することができる。局所投与向けの薬学的組成物は、軟膏、クリーム、懸濁液、ローション、パウダー、溶液、ペースト、ゲル、スプレー、エアロゾル、又はオイルとして調合することができる。目又はその他の外部組織(例えば、口や皮膚)の感染症には、前記組成物を局所軟膏又はクリームとして与えることが好ましい。軟膏中に調合する場合には、パラフィン又は水混和性軟膏基剤とともに、前記活性成分を用いることができる。あるいは、前記活性成分は、水中油クリーム基剤又は油中水基剤とともに、クリーム中に調合してもよい。

[0059]

目への局所投与向けの薬学的組成物には、適切な担体(特に、水性溶媒)中に前記活性成分を溶解又は懸濁させた点眼薬が含まれる。口腔中への局所投与向けの薬学的組成物には、トローチ剤、芳香錠剤、及びうがい薬が含まれる。

[0060]

直腸投与向けの薬学的組成物は、座剤又は浣腸として与えることができる。経鼻投与向けの薬学的組成物であって、担体が固体である組成物には、例えば、20乃至500ミクロンの範囲の粒子サイズを有し、鼻から吸い込む様式で(すなわち、鼻に近付けた粉末の

10

20

30

40

容器から鼻を通じて素早く吸引することによって)投与される粗い粉末が含まれる。点鼻スプレー又は点鼻薬として適した、担体が液体である組成物には、活性成分の水溶液又は油溶液が含まれる。吸引による投与向けの薬学的組成物には、様々なタイプの定量加圧エアロゾル、噴霧器、又は吸入器によって生成することができる微粒子ダスト又はミストで含まれる。経膣投与向けの薬学的組成物は、ペッサリー、タンポン、クリーム、ゲル、ペースト、フォーム、又はスプレー調合物として与えることができる。非経口投与向けの薬学的組成物には、抗酸化剤、緩衝液、静菌剤、及び前記製剤を対象となる受療者の血液とほぼ等張にする溶質を含有し得る水性及び非水性滅菌注射溶液と、懸濁剤及び濃縮剤を含み得る水性及び非水性滅菌懸濁液とが含まれる。注射溶液に使用できる賦形剤には、例えば、水、アルコール、ポリオール、グリセリン、及び植物油が含まれる。前記組成物は、単一投薬又は複数投薬容器、例えば、密閉されたアンプルやバイアル中に入れ、使用直に、滅菌された液体担体(carried)(例えば、注射水)を加えるだけでよいフリーズドライ(凍結乾燥)状態で保存することができる。即時調合注射溶液及び懸濁液は、滅菌粉末、顆粒、及び錠剤から調製することができる。

[0061]

前記薬学的組成物は、防腐剤、可溶化剤、安定化剤、湿潤剤、乳化剤、甘味剤、着色剤、着臭剤、塩(本発明の物質自体を、薬学的に許容される塩の形態で与えてもよい)、緩衝液、被覆剤、又は抗酸化剤を含有してもよい。前記薬学的組成物は、本発明の物質に加えて、治療的に活性な物質を含有してもよい。

[0062]

本発明の物質の投薬量は、治療すべき疾病又は疾患、治療すべき個体の年齢と症状などに応じて、幅広く変動させることができ、終局的には、使用すべき適切な投薬量を医師が決定することになろう。適切な頻度で複数回投薬を行ってもよい副作用が生じた場合には、一般的な治療の方法に従って、投薬の量及び/又は頻度を減少させることができる。

[0063]

本発明のTCRを好ましくは実質的に純粋な形態で提供するために、遺伝子クローニング技術を用いることができる。これらの技術は、例えば、「J.Sambrook et al Molecular C loning 2nd Edition,Cold Spring Harbor Laboratory Press(1989)」に開示されている。このため、さらなる側面において、本発明は、本発明の可溶性TCRの鎖をコードする配列又はこれと相補的な配列を備えた核酸分子を提供する。このような核酸配列は、TCRをコードする核酸をT細胞クローンから単離し、(挿入、欠失、又は置換によって)適切な変異を作製することによって得ることができる。

[0064]

前記核酸分子は、単離された形態又は組換え形態とすることができる。前記核酸分子をベクター中に取り込ませ、そのベクターを宿主細胞中に取り込ませてもよい。このようなベクター及び適切な宿主も、本発明のさらなる側面を構成する。

[0065]

本発明は、TCR鎖を得る方法であって、TCR鎖の発現が引き起こされる条件下で、このような宿主細胞をインキュベートすることと、次いで、前記ポリペプチドを精製することとを備えた方法も提供する。

[0066]

本発明の可溶性TCRは、封入体としてE.Coliなどの細菌中で発現させた後、インビトロでリフォールディングさせることによって得ることができる。

[0067]

TCR鎖のリフォールディングは、適切なリフォールディング条件の下、インビトロで行うことができる。ある実施形態では、正しいコンフォメーションを有するTCRは、可溶化剤(例えば、尿素)を含むリフォールディング緩衝液中で可溶化されたTCR鎖をリフォールディングすることによって取得される。有利には、前記尿素は、少なくとも0.1 M又は少なくとも1 M又は少なくとも2.5 M又は約5 Mの濃度で存在し得る。使用可能な別の可溶化剤は、0.1 Mと8 Mの間、好ましくは、少なくとも1 M又は少なくとも2.5

10

20

30

40

Mの濃度のグアニジンである。リフォールディングの前に、システイン残基を完全に還元させるために、還元剤を用いることが好ましい。必要であれば、DTTやグアニジンなどの変性剤をさらに使用してもよい。リフォールディング工程の前に、異なる変性剤と還元剤を用いてもよい(例えば、尿素、 - メルカプトエタノール)。リフォールディングの間に、シスタミン/システアミン酸化還元対、DTT又は - メルカプトエタノール/大気の酸素、及び還元型と酸化型のシステインなどの別の酸化還元対を用いてもよい。

[0068]

フォールディング効率は、他のタンパク質成分、例えば、シャペロンタンパク質をリフォールディング混合物に加えることによって増加させることもできる。リフォールディングは、ミニ・シャペロンが固定化されたカラムにタンパク質を通過させることによって、改善される(Altamirano et al. (1999). Nature Biotechnology 17:187-191; Altamira no, et al. (1997). Proc Natl Acad Sci USA 94(8):3576-8)。

[0069]

あるいは、昆虫細胞などの真核細胞系の中に発現させることによって、本発明の可溶性 TCRを取得してもよい。

[0070]

TCRの精製は、多くの様々な手段によって行うことができる。他の様式のイオン交換を利用してもよいし、ゲル濾過クロマトグラフィー又はアフィニティークロマトグラフィーなどのそれ以外の様式のタンパク質精製を使用してもよい。

[0071]

本発明の可溶性TCR及び多価TCR複合体は、TCRが p M H C 複合体に結合するのを阻害できる物質(小さな化学的化合物など)をスクリーニングする際にも使用できる。従って、さらなる側面において、本発明は、 T 細胞受容体のペプチド・ M H C 複合体への結合を阻害する物質をスクリーニングする方法であって、物質の存在下で、本発明の可溶性 T 細胞受容体のペプチド・ M H C 複合体との結合をモニタリングすることと、このような結合を阻害する物質を選択することとを備えた方法を提供する。

[0072]

このようなスクリーニング法に適した技術には、WO01/22084号に記載されている表面プラズモン共鳴に基づく方法が含まれる。このスクリーニング法の基礎を成し得る他の周知の技術は、シンチレーション近接分析(SPA)や増幅ルミネッセント近接アッセイである。

[0073]

本発明のクリーニング法によって選択された物質は、薬物として使用することができ、あるいは、創薬プログラムの基礎として、医薬として投与するのにさらに適する特徴を有するように修飾し又はその他の改良を施すことができる。このような医薬は、望ましくないT細胞反応成分を有する症状を治療するために使用することができる。このような症状には、癌(例えば、腎臓、卵巣、腸、頭部及び頸部)、精巣、肺、胃、子宮頚(cervical)、膀胱、前立腺、又はメラノーマ)、自己免疫疾患、移植片の拒絶、移植片対宿主病が含まれる。

[0074]

本発明の各側面の好ましい特徴は、相互に、他の側面の好ましい特徴となる。本明細書に記載されている従来技術の文献は、法が許容する最大限度まで、本明細書に組み込まれる。

【実験の詳細】

[0075]

本発明をさらに以下の実験例で説明するが、これらの例は決して本発明を限定するものではない。

[0076]

以下の添付の図面を参照されたい。

[0077]

20

10

30

40

20

30

40

50

以下の実験例のすべてにおいて、別段の記載がない限り、産生された可溶性TCR鎖は、 天然鎖間ジスルフィド結合を形成するシステイン残基のC末端直近で切断される。

[0078]

実験例 1 : A 6 T a x TCR 鎖及び 鎖のプライマー設計及び突然変異誘発 TRAC * 0 1 中のエキソン 1 の A 6 T a x トレオニン 4 8 をシステインに突然変異させるために、以下のプライマーを設計した(突然変異を小文字で示す)。

[0079]

- 5 '-C ACA GAC AAA tgT GTG CTA GAC AT
- 5 '-AT GTC TAG CAC Aca TTT GTC TGT G

TRBC 1 * 0 1 及びTRBC 2 * 0 1 の両方におけるエキソン 1 の A 6 T a x セリン 5 7 をシステインに突然変異させるために、以下のプライマーを設計した(突然変異を小文字で示す)。

[0800]

- 5 '-C AGT GGG GTC tGC ACA GAC GC
- 5 '-GG GTC TGT GCa GAC CCC ACT G

P C R 突然变異誘発:

Tax TCR 鎖又は 鎖の各遺伝子を含む発現プラスミドを、それぞれ 鎖プ ライマー又は 鎖プライマーを用いて、以下のように突然変異させた。プラスミド100 ngを10mM dNTP 5μL、10xPfu緩衝剤(Stratagene) 25μL、Pfu ポリメラーゼ (Stratagene) 1 0 単位と混合し、最終体積を H_2 O で 2 4 0 μ L に調節した 。この混合物48μLに、最終反応体積50μL中最終濃度が0.2μMになるように希 釈したプライマーを補充した。95 30秒の初期変性ステップの後、Hybaid CR発現PCR装置を用いて、反応混合物を15ラウンドの変性(95 、30秒)、ア ニーリング(55 、60秒)及び伸長(73 、8分)に供した。次いで、この生成物 を、Dpn I制限酵素(New England Biolabs) 1 0単位を用いて37 で5時間消化した 。消化された反応物10µLをコンピテントXL1-Blue細菌に形質転換して、37 で18時間増殖させた。単一コロニーを選択し、TYP+アンピシリン(16g/Lバ クトトリプトン、16g/L酵母抽出物、5g/LNaCl、2.5g/LK₂HPO₄ 、100mg/Lアンピシリン)5mL中で終夜増殖させた。QIAgenミニプレップ カラムを用いて製造者の指示に従ってプラスミドDNAを精製し、オックスフォード大学 生化学科の配列決定施設における自動配列決定によってその配列を確認した。 変異核酸配列及びアミノ酸配列のそれぞれを図 2 a 及び 3 a に、 鎖の突然変異核酸配列 及びアミノ酸配列のそれぞれを図2b及び3bに示す。

[0081]

実験例2: 可溶性TCRの発現、リフォールディング及び精製

突然変異 鎖及び 鎖を含む各発現プラスミドをそれぞれE.Coli菌株 B L 2 1 p L y s S に別個に形質転換し、単一のアンピシリン耐性コロニーをTYP(アンピシリン100μg/m L) 培地中37 でODgのが0.4になるまで増殖させてから0.5 m M I P T G によってタンパク質発現を誘導した。誘導から3時間後にBeckman J-6Bを用いて4000rpmで30分間遠心分離して細胞を回収した。細胞のペレットを、50mMトリス・HC1、25%(w/v)スクロース、1mM NaEDTA、0.1%(w/v)アジ化ナトリウム、10mM D T T、pH8.0を含有する緩衝液に再懸濁した。終夜の凍結融解ステップ後、再懸濁した細胞を、Mi1sonix X L 2 0 2 0 超音波処理器中で直径12mmの標準プローブを用いて1分のバーストで合計約10分間超音波処理した。封入体のペレットをBeckman J2-21遠心分離器を用いて13000 r p m で 3 0 分間遠心分離して回収した。次いで、洗浄剤による洗浄を3回実施して細胞片及びメンブレン成分を除去した。毎回、トリトン緩衝液(50mMトリス・HC1、0.5%トリトン X 1 0 0 、2 0 0 m M NaC1、10 m M NaEDTA、0.1%(w / v)アジ化ナトリウム、2 m M D T T 、 p H 8.0)で封入体ペレットをホモジナイズした後に、Beckman J2-21を用いて13000mmで15分間遠心分

20

30

40

50

離してペレット化した。次いで、以下の緩衝液、すなわち、50mMトリス・HCl、1mM NaEDTA、0.1%(w/v)アジ化ナトリウム、2mM DTT、pH8.0中で同様に洗浄して、洗浄剤及び塩を除去した。最後に、封入体を30mgの一定分量に分割して、-70 で凍結させた。6Mグアニジン・HClで可溶化し、Bradford色素結合アッセイ(PerBio)で測定することによって、封入体タンパク質収率を定量した。

[0082]

[0083]

透析したリフォールディング体をPOROS 50HQ陰イオン交換カラムに充填し、Akta精製装置(Pharmacia)を用いて50カラム体積にわたる0~500mMのNaC1勾配で、結合したタンパク質を図4のように溶出させることによって、分解生成物及び不純物からsTCRを分離させた。ピーク画分を4で貯蔵し、クーマシー染色SDS-PAGE(図5)によって分析した後、プールし濃縮した。最後に、HBS-EP緩衝液(10mM HEPES pH7.4、150mM NaC1、3.5mM EDTA、0.05%ノニデットp40)中で予め平衡化させたSuperdex 200HRゲルろ過カラム(図6)を用いてsTCRを精製しその特徴を調べた。約50kDaの相対分子量で溶出したピークをプールし濃縮した後、BIAcore表面プラズモン共鳴分析によってその特徴を調べた。

[0084]

実験例3: 特定のpMHCに結合するsTCRのBIAcore表面プラズモン共鳴キャラクタリゼーション

表面プラズモン共鳴バイオセンサー(BIAcore 3000(商標))を用いて、ペプチド・MHCリガンドに対するsTCRの結合性を分析した。この分析は、ストレプトアビジンで被覆された結合表面に半配向して固定された(以下に記載する)単一のpMHC複合体を作製することによって容易になり、(別個のフローセル上に固定された)最高4種類の異なるpMHCに対する可溶性T細胞受容体の結合性を同時に効率的に試験することが可能になる。HLA複合体を手動で注入することによって、固定クラスI分子の正確な濃度を容易に操作できるようになる。

[0085]

このような固定複合体は、可溶相にいずれも注入することができる T 細胞受容体及び補助受容体 C D S の両方に結合することができる。 TCR の特異的結合は低濃度(少なくとも 4 0 μ g f m L)でも得られ、このことはTCR が比較的安定であることを意味する。 S TCR は、可溶相で使用しても固定相で使用しても、その p M H C 結合諸特性が定性的及び定量的に類似していることが認められている。これは、可溶性種の活性を部分的に制御するのに重要であり、ビオチン化 p M H C 複合体が非ビオチン化複合体と生物学的に同等の活性を有することも示唆している。

[0086]

構成要素のサブユニットタンパク質及び合成ペプチドを含有し細菌によって発現される 封入体から、ビオチン化クラスI HLA-A2-ペプチド複合体をインビトロでリフォ ールディングさせ、次いで精製し、インビトロで酵素によってビオチン化した(0'Callag han等(1999)Anal.Biochem.266:9~15)。HLA重鎖は、適切な構築物においてタンパク

20

30

40

50

質の膜貫通領域及び細胞質領域を置換するC末端ビオチン化タグと共に発現された。約75 mg/リットル細菌培養物の封入体発現レベルが得られた。HLA軽鎖又は 2-ミクログロブリンも、E.Coliにおいて適切な構築物から約500mg/リットル細菌培養物の濃度で封入体として発現された。

[0087]

E.Coli細胞を溶解し封入体を純度約80%に精製した。封入体からのタンパク質を6Mグアニジン・HCl、50mMトリス pH8.1、100mM NaCl、10mM DTT、10mM EDTA中で変性し、単一パルスの変性タンパク質を5 未満のリフォールディング緩衝液に添加することによって、30mg/リットル重鎖、30mg/リットル 2mの濃度で、0.4M L・アルギニン・HCl、100mMトリス pH8.1、3.7mM シスタミン、mM システアミン、4mg/mLペプチド(例えば、tax 11-19)中にリフォールディングした。リフォールディングは、4 において、1時間以上で完結させることができた。

[0 0 8 8]

1 0 倍容量の 1 0 m M トリス p H 8 . 1 中で透析して緩衝液を交換した。溶液のイオン強度を十分低下させるには 2 回緩衝液を変える必要があった。次いで、タンパク質溶液を、 1 . 5 μ m 酢酸セルロースフィルターを通してろ過し、POROS 50HQ陰イオン交換カラムに充填した(総容積 8 m L)。タンパク質を線状 0 ~ 5 0 0 m M N a C 1 勾配で溶出させた。 H L A - A 2 - ペプチド複合体は約 2 5 0 m M N a C 1 で溶出し、ピーク画分を収集し、プロテアーゼ阻害剤のカクテル (Calbiochem)を添加し、その画分を氷上で冷却した。

[0089]

ビオチン化タグ付き H L A 複合体の緩衝液を、同じ緩衝液で平衡化させた P h a r m a c i a の急速脱塩カラムを用いて、10 m M トリス p H 8 . 1、5 m M N a C l と交換した。タンパク質含有画分を、溶出後速やかに氷冷し、プロテアーゼ阻害剤カクテル(C albiochem)を添加した。次いで、ビオチン化試薬を添加した:1 m M ビオチン、5 m M A T P (p H 8 に緩衝)、7 . 5 m M M g C l 2、及び5 μ g / m L B i r A 酵素(0 'Callaghan等(1999)Anal.Biochem.266:9~15に従って精製した)。次いで、この混合物を室温で終夜インキュベートした。

[0090]

[0091]

ゲルろ過クロマトグラフィを用いてビオチン化HLA複合体を精製した。ろ過したPBSを用いてPharmacia Superdex 75 HR 10/30カラムを予め平衡化し、1 m L のビオチン化反応混合物を充填し、PBSを用いて0.5 m L / m i n で展開した。ビオチン化HLA複合体は、約15 m L で単一ピークとして溶出した。タンパク質を含有する画分をプールし、氷冷し、プロテアーゼ阻害剤カクテルを添加した。クーマシー結合アッセイ(PerBio)によってタンパク質濃度を決定し、一定量のビオチン化HLA複合体を・20で凍結保存した。ストレプトアビジンを標準アミンカップリング法によって固定した。

新規鎖間結合を含むA6 Tax sTCRと、そのリガンド / MHC複合体又はその生成について上述した無関係なHLA-ペプチド化合物との相互作用を、BIAcore 3000(商標)表面プラズモン共鳴(SPR)バイオセンサーを用いて分析した。受容体リガンド相互作用を検出し、それらの親和性及び動力学パラメータを解析するのに用いることができる原理である、小さなフローセル内のセンサー表面近くの応答単位(RU)で表される屈折率変化が、SPRによって測定される。 2m上に架橋結合されたビオチンと、コーセルの活性化された表面に化学的に架橋結合されたストレプトアビジンとを結合で、個々のHLA-ペプチド複合体を別個のフローセル中に固定することによって、プフローセルを調製した。次いで、異なるフローセルの表面を一定流量でSTCRを通過さて、そのSPR応答を測定することによってアッセイを実施した。まず、2つの異なる5000RUの非特異的ペプチド・HLA複合体で被覆されたもう1つの表面にわたって5

 μ L / minの一定流量でsTCRを通過させることによって相互作用の特異性を確認した(図 7 挿入グラフ)。可溶性sTCRを、一定流量かつ様々な濃度でペプチド・H L A 複合体に注入してバックグラウンド共鳴を確定した。図 7 に示すように、これらの対照測定の値を特異的ペプチド・H L A 複合体によって得られる値から差し引き、その値を用いて解離定数 K d として表される結合親和性を計算した(Price&Dwek、Principles and Problems in Physical Chemistry for Biochemists(2^{nd} Edition)1979、Clarendon Press、Oxford)。

得られた K d 値(1.8 μ M)は、新規ジスルフィド結合のない A 6 T a x sTCRと p M H C の相互作用に対する報告値 (0.91 μ M-Ding等、1999、Inmmunity 11:45 ~ 56) に近い。

[0093]

実験例4: 新規ジスルフィド結合を含む可溶性JM22 TCRの生成 実験例1において調製した可溶性A6 TCRの 鎖は、連結部位として使用するのに適した BglII制限酵素切断部位(AAGCTT)を天然配列中に含む。

[0094]

PCR突然変異誘発を以下のように実施してBamH1制限酵素切断部位(GGATCC)を可溶性A6 TCRの 鎖、新規システインコドンの 5 'に導入した。図 2 a に記載した配列をこの突然変異誘発用テンプレートとして用いた。以下のプライマーを使用した。【化 1】

BamHI

5'-ATATCCAGAACCCGGAtCCTGCCGTGTA-3'

5'-TACACGGCAGGAaTCcGGGTTCTGGATAT-3'

[0095]

プラスミド100ngを10mM dNTP5μL、10xPfu緩衝液(Stratagene) 2 5 μ L 、 P f u ポリメラーゼ(Stratagene) 1 0 単位と混合し、 H ₂ O を用いて最終体積 を240μLに調整した。この混合物48μLに、最終反応体積50μL中最終濃度が0 . 2 μ M になるように希釈したプライマーを補充した。 9 5 3 0 秒の初期変性ステップ の後、Hybaid PCR発現PCR装置を用いて、反応混合物を15ラウンドの変性 (95 、30秒)、アニーリング(55 、60秒)及び伸長(73 、8分)に供し た。次いで、この生成物を、Dpn I制限酵素(New England Biolabs) 1 0 単位を用いて 37 で5時間消化した。消化された反応物10μLをコンピテントXL1-Blue細 菌に形質転換して、37 で18時間増殖させた。単一コロニーを選択し、TYP+アン ピシリン(16g/Lバクトトリプトン、16g/L酵母抽出物、5g/LNaC1、2 .5g/LK₂HPO₄、100mg/Lアンピシリン)5mL中で終夜増殖させた。Q IAgenミニプレップカラムを用いて製造者の指示に従ってプラスミドDNAを精製し 、オックスフォード大学生化学科の配列決定施設における自動配列決定によってその配列 鎖に導入された突然変異は「サイレント」であり、したがってこの鎖のア ミノ酸配列は、図3Aに詳述されたものと同じである。突然変異 鎖のDNA配列を図8 Aに示す。

[0096]

新規ジスルフィド結合が組み込まれた可溶性JM22 TCRを生成させるために、 鎖BamH1及び 鎖BglII制限酵素切断部位を含むA6 TCRプラスミドをテンプレートとして使用した。以下のプライマーを使用した。

20

10

30

【化2】

| Ndel |

5'-GGAGATATACATATGCAACTACTAGAACAA-3'

5'-TACACGGCAGGATCCGGGTTCTGGATATT-3'

BamHI

|Nde1

5'-GGAGATATACATATGGTGGATGGTGGAATC-3'

5'-CCCAAGCTTAGTCTGCTCTACCCCAGGCCTCGGC-3'

BglII

[0097]

JM22 TCR 鎖及び 鎖構築物を以下のようにPCRクローニングによって得た。上述のプライマー及びJM22 TCR鎖を含むテンプレートを用いてPCR反応を実施した。PCR産物を該当する制限酵素で消化し、pGMT7にクローン化して発現プラスミドを得た。プラスミド挿入断片の配列を、自動DNA配列決定によって確認した。図8b及び8cに、JM22 TCRの突然変異 鎖及び 鎖それぞれのDNA配列を示す。図9a及び9bに、得られたアミノ酸配列を示す。

[0098]

実験例1及び2に記載したように、それぞれのTCR鎖が発現され、共にリフォールディングされ、精製された。図10に、点線で示した0~500mMのNaC1勾配を用いたPOROS 50HQカラムから溶出した可溶性ジスルフィド連結JM22 TCRタンパク質の溶出を示す。図11に、図10に示したカラム分析画分の還元SDS-PAGE(クーマシー染色)及び非還元SDS-PAGE(クーマシー染色)の両方のゲルの結果を示す。ピーク1が鎖間ジスルフィド連結されたTCRヘテロダイマーを含むことは明らかである。図12に、図10のピーク1からプールされた画分のサイズ排除カラムからのタンパク質溶出を示す。

[0099]

p M H C に対する J M 2 2 TCRの結合のBIAcore分析を、実験例 3 に記載したように実施した。図 1 3 a に、H L A - F l u 複合体に対するジスルフィド連結 J M 2 2 可溶性TC Rの特異的結合のBIAcore分析結果を示す。図 1 3 b に、ジスルフィド連結 J M 2 2 可溶性 TCRの単回投与の対照と比較した結合応答を示す。H L A - F L U 複合体に対するこのジスルフィド連結TCRの K d は 7 . 9 ± 0 . 5 1 μ M と決定された。

[0100]

実験例5: 新規ジスルフィド結合を含む可溶性NY-ESO TCRの生成

NY-ESO TCRをコードする c D N A を、Enzo Cerundolo(Institute of MolecuLar Medicine、University of Oxford)によって提供されたT細胞から既知の技術に従って単離した。NY-ESO TCRをコードする c D N A を、m R N A を逆転写酵素で処理することによって生成させた。

[0101]

新規ジスルフィド結合が組み込まれた可溶性NY-ESO TCRを生成させるために、 鎖BamHI及び 鎖BglII制限酵素切断部位を含むA6 TCRプラスミドを実験例4に記載したようにテンプレートとして使用した。以下のプライマーを使用した。

10

20

30

【化3】

NdeI

5'-GGAGATATACATATGCAGGAGGTGACACAG-3'

5'-TACACGGCAGGATCCGGGTTCTGGATATT-3'

BamHI

10

20

30

40

NdeI

5'-GGAGATATACATATGGGTGTCACTCAGACC-3'

5'-CCCAAGCTTAGTCTGCTCTACCCCAGGCCTCGGC -3'

BglII

[0102]

NY-ESO TCR 鎖及び 鎖構築物を以下のようにPCRクローニングによって得た。上述のプライマー及びNY-ESO TCR鎖を含むテンプレートを用いてPCR反応を実施した。PCR産物を該当する制限酵素で消化し、pGMT7にクローン化して発現プラスミドを得た。プラスミド挿入断片の配列を、自動DNA配列決定によって確認した。図14a及び14bに、NY-ESO TCRの突然変異 鎖及び 鎖それぞれのDNA配列を示す。図15a及び15bに、得られたアミノ酸配列を示す。

[0103]

プロトコルにおける以下の変更点を除いて実験例1及び2に記載したように、それぞれのTCR鎖が発現され、共にリフォールディングされ、精製された。

[0104]

可溶性TCRの変性;可溶化されたTCR 鎖封入体30mg及び可溶化されたTCR 鎖封入体60mgを凍結貯蔵物から融解した。封入体を6Mグアニジン溶液中5mg/mLの最終濃度に希釈し、DTT(2M貯蔵物)を添加して最終濃度10mMにした。この混合物を37 で30分間インキュベートした。

[0105]

可溶性TCRのリフォールディング:リフォールディング緩衝液1 L を 5 ± 3 で激しく撹拌した。酸化還元対(2・メルカプトエチルアミン及びシスタミン(それぞれ最終濃度6.6 m M 及び3.7 m M))を添加し、その約5分後に変性TCR鎖を添加した。次いで、このタンパク質を、5 ± 3 で約5時間±15分撹拌しながらリフォールディングさせた。

[0106]

リフォールディングされた可溶性TCRの透析: リフォールディングされたTCRを、Spectrapor 1メンブレン (Spectrum;製品番号132670)を用いて、10Lの10mMトリス p H 8 . 1に対して 5 ± 3 で 18 ~ 20時間透析した。この時間が経過した後、透析緩衝液を新しい10mMトリス p H 8 . 1 (10L)に変え、5 ± 3 でさらに 20 ~ 22時間透析を続けた。

[0107]

図 1 6 に、点線で示した 0 ~ 5 0 0 m M の N a C 1 勾配を用いたPOROS 50HQカラムから溶出した可溶性 N Y - E S O ジスルフィド連結TCRタンパク質の溶出を示す。図 1 7 に、図 1 6 に示したカラム分析画分の還元 S D S - P A G E (クーマシー染色)及び非還元 S D S - P A G E (クーマシー染色)の両方のゲルの結果を示す。ピーク 1 及び 2 が鎖間ジスルフィド連結されたTCRヘテロダイマーを含むことは明らかである。図 1 8 に、図 1 7 のピーク 1 (A)及びピーク 2 (B)からプールされた画分のサイズ排除クロマトグラフ

ィを示す。タンパク質は、ヘテロダイマーに対応する単一の主ピークとして溶出する。 【 0 1 0 8 】

p M H C に対するジスルフィド連結NY-ESO TCRの結合のBIAcore分析を、実験例 3 に記載したように実施した。図 1 9 に、H L A - NYESO複合体に対するジスルフィド連結 N Y - E S O 可溶性TCRの特異的結合のBIAcore分析結果を示す。 A . ピーク 1 、 B . ピーク 2

[0109]

HLA-NY-ESO複合体に対するこのジスルフィド連結TCRの K d は、 9 . 4 ± 0 . 8 4 μ M と決定された。

[0110]

実験例 6 : 新規ジスルフィド鎖間結合、及び天然ジスルフィド鎖間結合を形成するのに必要な 2 つのシステインのうち少なくとも 1 つを含む可溶性NY-ESO TCRの生成

新規ジスルフィド結合、及び天然ジスルフィド鎖間結合に関与するシステイン残基の少なくとも1つが組み込まれた可溶性NY-ESO TCRを生成させるために、実験例4に記載したように、 鎖BamHI及び 鎖BglII制限酵素切断部位を含むプラスミドをフレームワークとして使用した。以下のプライマーを使用した。

【化4】

NdeI

5'-GGAGATATACATATGCAGGAGGTGACACAG-3'

20

10

5'-CCCAAGCTTAACAGGAACTTTCTGGGCTGGGGAAGAA-3' | HindIII|

| NdeI |

- 5'-GGAGATATACATATGGGTGTCACTCAGACC-3'
- 5'-CCCAAGCTTAACAGTCTGCTCTACCCCAGGCCTCGGC -3'

BglII

30

40

50

[0111]

NY-ESO TCR 鎖及び 鎖構築物を以下のようにPCRクローニングによって得た。上述のプライマー及びNY-ESO TCR鎖を含むテンプレートを用いてPCR反応を実施した。PCR産物を該当する制限酵素で消化し、pGMT7にクローン化して発現プラスミドを得た。プラスミド挿入断片の配列を、自動DNA配列決定によって確認した。図20a及び20bに、NY-ESO TCRの突然変異 鎖及び 鎖それぞれのDNA配列を示す。図21a及び21bに、得られたアミノ酸配列を示す。

[0112]

非天然ジスルフィド鎖間結合及び天然ジスルフィド鎖間結合の両方を含む可溶性NY-ESO TCRを生成させるために、上記プライマーの両方を用いて単離されたDNAを使用した。非天然ジスルフィド鎖間結合、及び天然ジスルフィド鎖間結合に関与するシステイン残基の1つのみを含む可溶性NY-ESO TCRを生成させるために、上記プライマーの1つと実験例5からの適切なプライマーとを用いて単離されたDNAを使用した。

[0113]

実験例 5 に記載したように、それぞれのTCR鎖が発現され、共にリフォールディングされ、精製された。

[0114]

図 2 2 ~ 2 4 に、点線で示した 0 ~ 5 0 0 m M の N a C 1 勾配を用いたPOROS 50HQ陰イオン交換カラムから溶出した可溶性NY-ESO TCR cys cys (すなわち、両方の鎖の非天然及び天然システインを含む)、TCR cys (両方の鎖の非天然システインを含む

10

[0115]

[0116]

TCR $^{\text{cys}}$ $^{\text{cys}}$

[0117]

実験例 7 : 新規ジスルフィド鎖間結合を含む可溶性 A H - 1 . 2 3 TCRの生成 A H - 1 . 2 3 TCRをコードする c D N A を、Hill Gaston(Medical School、Addenbrooke's Hospital、Cambridge)によって提供された T 細胞から 既知の技術に従って単離した。NY-ESO TCRをコードする c D N A を、m R N A を逆転写酵素で処理することによって生成させた。

[0118]

新規ジスルフィド結合が組み込まれた可溶性 A H - 1 . 2 3 TCRを生成させるために、 鎖 B a m H I 及び 鎖 B g l I I 各制限酵素切断部位を含む各TCRプラスミドを実験例 4 に記載したようにフレームワークとして使用した。以下のプライマーを使用した。 【化 5 】

30

20

NdeI

5'-GGGAAGCTTACATATGAAGGAGGTGGAGCAGAATTCTGG-3'

5'-TACACGGCAGGATCCGGGTTCTGGATATT-3'

BamHI

| NdeI |

5'-TTGGAATTCACATATGGGCGTCATGCAGAACCCAAGACAC-3'

5'-CCCAAGCTTAGTCTGCTCTACCCCAGGCCTCGGC-3'

40

[BglII]

[0119]

AH-1.23 TCR 鎖及び 鎖構築物を以下のようにPCRクローニングによって得た。上述のプライマー及びAH-1.23 TCR鎖を含むテンプレートを用いてPCR 反応を実施した。PCR産物を該当する制限酵素で消化し、pGMT7にクローン化して発現プラスミドを得た。プラスミド挿入断片の配列を、自動DNA配列決定によって確認した。図33a及び33bに、AH-1.23 TCRの突然変異 鎖及び 鎖それぞれのDNA配列を示す。図34a及び34bに、得られたアミノ酸配列を示す。

[0120]

実験例5に記載したように、それぞれのTCR鎖が発現され、共にリフォールディングさ

れ、精製された。

[0121]

図35に、点線で示した0~500 m M の N a C 1 勾配を用いたPOROS 50HQ陰イオン交換カラムから溶出した可溶性 A H - 1 . 2 3 ジスルフィド連結TCRタンパク質の溶出を示す。図36及び37に、図35に示したカラム分析画分のそれぞれ還元SDS-PAGE(クーマシー染色)ゲル及び非還元SDS-PAGE(クーマシー染色)ゲルの結果を示す。これらのゲルは、鎖間ジスルフィド連結されたTCRへテロダイマーの存在を明示している。図38は、図35に示した陰イオン交換カラム分析からプールされた画分のSuperdex75 HRゲルろ過カラムの溶出プロファイルである。タンパク質は、ヘテロダイマーに対応する単一の主ピークとして溶出する。

10

[0122]

実験例8: 定常ドメインの免疫グロブリン領域内の別の位置における新規ジスルフィ ド鎖間結合を含む可溶性A6 TCRの生成

TRAC * 0 1 のエキソン 1 のトレオニン 4 8 とTRBC 1 * 0 1 / TRBC 2 * 0 1 両方のエキソン 1 のセリン 5 7 との間以外の位置にあるTCR免疫グロブリン領域において、新規ジスルフィド結合を含む機能的可溶性TCRを形成できるかどうかを検討するために以下の実験を実施した。

[0123]

A6 TCR 鎖を突然変異させるために、以下のプライマーを設計した(プライマー名称内の番号はTRAC * 0 1 のエキソン 1 中で突然変異するアミノ酸残基の位置を示し、突然変異した残基を小文字で示す)。

20

30

[0124]

T 4 8 C 突然変異

- 5 '-CACAGACAAAtgTGTGCTAGACAT-3 '
- 5 '-ATGTCTAGCACAcaTTTGTCTGTG-3 '
- Y 1 0 C 突然変異
- 5 '-CCCTGCCGTGTgCCAGCTGAGAG-3"
- 5 '-CTCTCAGCTGGcACACGGCAGGG-3 '
- L 1 2 C 突然变異
- 5 '-CCGTGTACCAGtgcAGAGACTCTAAATC-3 '
- 5 '-GATTTAGAGTCTCTgcaCTGGTACACGG-3'
- S 1 5 C 突然変異
- 5 '-CAGCTGAGAGACTgTAAATCCAGTGAC-3 '
- 5 '-GTCACTGGATTTAcAGTCTCTCAGCTG-3'
- V 2 2 C 突然変異
- 5 '-CAGTGACAAGTCTtgCTGCCTATTCAC-3'
- 5 '-GTGAATAGGCAGcaAGACTTGTCACTG-3'
- Y43 C 突然変異
- 5 '-GATTCTGATGTGTGTATCACAGACAAAT-3 '
- 5 '-ATTTGTCTGTGATAcACACACATCAGAATC-3 '

40

- T45 С 突然変異
- 5 '-CTGATGTGTATATCtgtGACAAAACTGTGC-3 '
- 5 '-GCACAGTTTTGTCacaGATATACACATCAG-3 '
- L 5 0 C 突然変異
- 5 '-AGACAAAACTGTGtgtGACATGAGGTCT-3'
- 5 '-AGACCTCATGTCacaCACAGTTTTGTCT-3 '
- M52 C 突然变異
- 5 '-ACTGTGCTAGACtgtAGGTCTATGGAC-3'
- 5 '-GTCCATAGACCTacaGTCTAGCACAGT-3 '
- S61 C 突然变異

- 5 '-CTTCAAGAGCAACtGTGCTGTGGCC-3'
- 5 '-GGCCACAGCACAGTTGCTCTTGA G-3 '

TCR A 6 鎖を突然変異させるために、以下のプライマーを設計した(プライマー名 称内の番号はTRBC 2 * 0 1 のエキソン 1 中で突然変異するアミノ酸残基の位置を示し、突 然変異した残基を小文字で示す)。

[0125]

- S57 C 突然变異
- 5 '-CAGTGGGGTCtGCACAGACCC-3'
- 5 '-GGGTCTGTGCaGACCCCACTG-3'
- V13 C 突然变異

5 '-CCGAGGTCGCTtgtTTTGAGCCATCAG-3'

- 5 '-CTGATGGCTCAAAacaAGCGACCTCGG-3'
- F14 C 突然变異
- 5 '-GGTCGCTGTGtgtGAGCCATCAGA-3'
- 5 '-TCTGATGGCTCacaCACAGCGACC-3 '
- S17 C 突然变異
- 5 '-GTGTTTGAGCCATgtGAAGCAGAGATC-3'
- 5 '-GATCTCTGCTTCacATGGCTCAAACAC-3 '
- G55 C 突然变異
- 5 '-GAGGTGCACAGTtGtGTCAGCACAGAC-3'
- 5 '-GTCTGTGCTGACaCaACTGTGCACCTC-3'
- D59 C 突然变異
- 5 '-GGGTCAGCACAtgCCCGCAGCCC-3'
- 5 '-GGGCTGCGGGcaTGTGCTGACCC-3'
- L63 C 突然変異
- 5 '-CCCGCAGCCCtgCAAGGAGCAGC-3'
- 5 '-GCTGCTCCTTGCaGGGCTGCGGG-3'
- S77 C 突然変異
- 5 '-AGATACGCTCTG t GCAGCCGCCT-3 '
- 5 '-AGGCGGCTGCaCAGAGCGTATCT-3'
- R79 C 突然变異
- 5 '-CTCTGAGCAGCtGCCTGAGGGTC-3 '
- 5 '-GACCCTCAGGCaGCTGCTCAGAG-3'
- E15 C 突然变異
- 5 '-GCTGTGTTTtgtCCATCAGAA-3'
- 5 '-TTCTGATGGacaAAACACAGC-3 '

以下のアミノ酸対間に新規ジスルフィド鎖間結合を含む可溶性TCRを生成させるために 、PCR突然変異誘発、 及び TCR構築物増幅、ライゲーション及びプラスミド精製を 、上記プライマーの適切な組み合わせを用いて、実験例1に記載したように実施した。

10

20

【表2】

TCR α	TCR β鎖	使用した αプライマー	使用した βプライマー
Thr 48	Ser 57	T48-→C	S57→C
Thr 45	Ser 77	T45→C	S77→C
Ser 61	Ser 57	S61→C	S57→C
Leu 50	Ser 57	L50→C	S57→C
Tyr 10	Ser 17	Y10→C	S17→C
Ser 15	Val 13	S15→C	V13→C
Thr 45	Asp 59	T45→C	D59-÷C
Leu 12	Ser 17	L12→C	S17→C
Ser 61	Arg 79	S61→C	R79→C
Leu 12	Phe 14	L12→C	F14→C
Val 22	Phe 14	V22→C	F14→C
Met 52	Gly 55	M52→C	G55→C
Тут 43	Leu 63	Y43→C	L63→C
Ser 15	Glu 15	S15→C	E15→C

[0126]

図39~58に、上記プライマーによって増幅された突然変異A6 TCR鎖のDNA配列及びアミノ酸配列を示す。突然変異システインをコードするコドンを強調して示す。

[0127]

実験例 5 に記載したように、それぞれのTCR鎖が発現され、共にリフォールディングされ、精製された。POROS 50HQ陰イオン交換カラムで精製した後、正確にリフォールディングされた可溶性TCRが形成されたかどうかを評価するために、得られたタンパク質をSDS-Pageゲルにかけた。精製材料における正確な分子量のジスルフィド連結タンパク質の有無を確認するためにこれらのゲルも評価した。以下の新規ジスルフィド鎖間結合を含む研究対象のTCRは、この細菌発現システムでは正確な分子量のジスルフィド連結タンパク質が生成せず、これらをさらに評価することはしなかった。しかし、別の原核生物又は真核生物発現システムが利用可能である。

【表3】

TCR α鎖	TCR β鎖
Ser 61	Ser 57
Leu 50	Ser 57
Ser 15	Val 13
Leu 12	Ser 17
Ser 61	Arg 79
Leu 12	Phe 14
Val 22	Phe 14
Tyr 43	Leu 63

10

20

[0128]

図 5 9 ~ 6 4 に、点線で示した 0 ~ 5 0 0 m M の N a C 1 勾配を用いた P O R O S 2 0 0 H Q 陰イオン交換カラムからの以下の残基間、すなわち、 T h r 4 8 - S e r 5 7、 T h r 4 5 - S e r 7 7、 T y r 1 0 - S E R 1 7、 T h r 4 5 - A s p 5 9、 M e t 5 2 - G 1 y 5 5 及び S e r 1 5 - G 1 u 1 5 間それぞれの新規ジスルフィド鎖間結合を含む可溶性 T C R の溶出を示す。図 6 5 ~ 7 0 に、図 5 9 ~ 6 4 に示したカラム分析画分の還元 S D S - P A G E (クーマシー染色)ゲル及び非還元 S D S - P A G E (クーマシー染色)ゲルそれぞれの結果を示す。これらのゲルは、鎖間ジスルフィド連結された T C R へテロダイマーの存在を明示している。

[0129]

図 7 1 ~ 7 6 は、図 5 9 ~ 6 4 に示した陰イオン交換カラム分析からプールされた画分のSuperdex 2 0 0 H R ゲルろ過カラムからの溶出プロファイルである。

[0130]

pMHCに対するTCRの結合のBIAcore分析を、実験例3に記載したように実施した。図77~82は、HLA-A2 tax pMHC複合体に対する精製可溶性TCRの結合能力を示すBIAcoreトレースである。

30

[0131]

Thr 48-Ser 57のKdは7.8 μ Mであり、Thr 45-Ser 77のKdは12.7 μ Mであり、Tyr 10-Ser 17のKdは34 μ Mであり、Thr 45-Ser 77のKdは14.9 μ Mであり、Ser 15-Glu 15のKdは6.3 μ Mであった。Met 52-Gly 55は、その天然の「標的」であるHLA-A2 tax複合体に結合可能であるが、「無関係な」標的であるHLA-A2-NY-ESO複合体にも同様に結合した(図81参照)。

[0 1 3 2]

実験例9: NY-ESO-HLA-A2複合体に特異的なジスルフィド連結NY-E 40 SO T細胞受容体のX線結晶学

NY-ESO dsTCRを実験例5に記載したようにクローン化し以下のように発現させた。

[0133]

20

30

40

50

、 2 mM DTT、10%グリセリンを含有する溶解緩衝液に再懸濁した。細菌培養物1 Lごとに、リゾチーム(20mg/mL)100μL及びDnaseI(20μg/mL)100μLを添加した。細菌懸濁液を、氷上で30分間インキュベーションした後、直 径12mmの標準プローブの付いたMilsonix XL2020超音波処理器を用い て1分のバーストで合計10分間超音波処理した。Beckman J2-21遠心分離)を用いて13000rpmで30分間遠心分離して封入体のペレットを回収し た。次いで、トリトン洗浄緩衝液(50mMトリス-HC1、pH8.1、0.5%トリ トンX100、100mM NaCl、10mM NaEDTA、0.1%(w/v)、 2 m M D T T) による洗浄を 3 回実施して、細胞片及びメンブレン成分を除去した。毎 回、封入体ペレットをトリトン洗浄緩衝液にホモジナイズした後、Beckman J2 - 2 1 を用いて 1 3 0 0 0 r p m で 1 5 分間遠心分離してペレット化した。次いで、再懸 濁緩衝液(50mMトリス・HCl pH8.1、100mM NaCl、10mM N aEDTA、0.1%(w/v)アジ化ナトリウム、2mM DTT)中で同様に洗浄し て、洗浄剤及び塩を除去した。最後に、封入体を、6Mグアニジン緩衝液(6Mグアニジ ン-塩酸塩、50mMトリス pH8.1、100mM NaCl、10mM EDTA 、10 m M D T T) に可溶化し、120 m g の一定分量に分割し、-70 で凍結させ た。6Mグアニジン・HC1で可溶化しBradford色素結合アッセイ(PerBi o)で測定することによって封入体を定量した。

[0134]

[0135]

透析したリフォールディング体をPOROS 50HQ(Applied Bio Systems)陰イオン交換カラムに充填しAKTA精製装置(Amersham Biotech)を用いて、リフォールディングされたNY-ESO TCRを分解生成物及び不純物から分離させた。POROS 50 HQカラムを10カラム体積の緩衝液A(10mMトリス pH8.1)で予め平衡化した後、それにタンパク質を充填した。7カラム体積にわたる0~500mMのNaCl勾配によって、結合したタンパク質を溶出させた。還元及び非還元試料緩衝液を用いた変性SDS-PAGEでピーク画分(1mL)を分析した。25mM MES pH6.5で予め平衡化したSuperdex 75HRゲルろ過カラムを用いて、アルファ・ベータへテロダイマー複合体を含有するピーク画分をさらに精製した。相対分子量約50kDaで溶出したタンパク質ピークをプールし、Ultrafree遠心濃縮装置(Millipore、部品番号UFV2BG C40)で42mg/mLに濃縮し、-80 で保存した。

[0136]

[0137]

NY-ESO TCRの結晶を急速冷凍し、Daresburyシンクロトロンの X 線回折試験に供した。この結晶は 0.25nm(2.5) の分解能で回折した。 1 組のデータを収集し処理して、約 0.27nm(2.7) が妥当であるが 0.25nm(2.5) まで使用可能である 9.8.6%完全な振幅セットが得られた。組み合わせ R 因子 (merging R-factor)、すなわち結晶学的に等価な反射を複数回測定した一致度は、すべてのデータに対して 1.8%であった。これは、最高分解能シェルでは限界である。空間群は、細胞サイズ 1.70、1.70 、1.70

[0138]

PDBデータベースには、A/BヘテロダイマーTCRを含有するエントリーは、1BD2の1つしかない。このエントリーは、TCRを含む複合体におけるHLA同族ペプチド(cognate peptide)の座標も有する。TCR鎖BはNY-ESOで同じであったが、鎖AはCドメインで僅かな差がありNドメインでかなりの差があった。1BD2 A/Bモデルを分子置換MRに使用すると、対称等価な分子との広範な重複によって示されるように、不正確な解が得られた。B鎖のみを使用すると、近隣分子とさほど衝突しないより良い解が得られた。相関係数は49%であり、結晶学的R因子は50%であり、最短近接(重心~重心)は0.49nm(49)であった。鎖Bの出発モデルをMR等価物に変換するために必要な回転及び並進操作を鎖Aに適用した。このようにして生成されたハイブリッドMR解は、細胞内にうまく充填され、衝突は最小に抑えられた。

[0139]

電子密度地図はこのモデルとほぼ一致し、NY-ESO TCRの配列に合致するように調節された。しかし、出発モデルには多数の相違があり、特に、このモデルの不規則に配列した部分に特徴的である側鎖の欠損があった。鎖間のヘアピンループの多くは極めて低い密度を有し、モデル化が困難であった。このモデルの結晶学的R因子は30%である。R因子は、残差、すなわち、振幅の計算値と測定値の差である。

[0140]

図83 a 及び83 b に示すように、1 B D 2 からの入力配列は、密度とあまり一致しない。モデルの鎖 A の 1 6 4 位及び鎖 B の 1 7 4 位を C y s に変更し、その後さらに改良すると、この配列指定が密度と極めて良く適合することが明らかになった。しかし、側鎖のサイズの差は極めてわずかで、このモデルに乱れはほとんどなかった。この領域の電子密度はほとんど変化しなかった。

[0141]

この研究の最も重要な側面は、新しいTCRが、発表されたモデル(1BD2)に構造的に極めて類似していることである。この比較には、TCRのすべて、定常ドメイン、又は突然変異点近くの小部分を含めることができる。

[0142]

r.m.s偏差値を下表に列記する。構造の比較を図84に示す。

10

20

30

【表4】

		鎖A 完全	鎖B 完全	鎖A 定常	鎖B 定常	ショートストレッチ
ļ	r.m.s変位	2.831	1.285	1.658	1.098	0.613
	平均変位	2.178	1.001	1.235	0.833	0.546
	最大変位	9.885	6.209	6.830	4.490	1.330

(単位はすべてAである。)

[0143]

ショートストレッチとは、目下ジスルフィド架橋によって連結されている鎖Aからの一本鎖(A157~A169)及び鎖Bからの一本鎖(B170~B183)を指す。主鎖の原子に対してのみ偏差を計算した。

[0144]

これらの結果から、ジスルフィド結合を導入しても、その周囲のTCRの局所構造がほとんど影響を受けないことがわかる。A6 TCRの発表された構造(1BD2)とTCRを比較すると、いくつかのより大きな効果が認められるが、RMS変移の増加はループコンホメーションの違いによるところが大きい(図84参照)。これらのループは、特徴的なIgフォールド(Ig fold)を形成する一連の シートによって形成されるTCRのコア構造の一部を形成しない。 鎖全体に対するRMS偏差は、A6 TCR(1BD2)とNY-ESO TCRとの可変ドメイン配列の違いのために特に大きい。しかし、A6 TCR及びNY-ESO TCRは同じ可変 ドメインを有し、 鎖全体のRMS偏差から、新しいジスルフィド結合を含むTCRにおいてもこの可変ドメインの構造が維持されることがわかる。したがって、これらのデータは、新しいジスルフィド結合を含むTCRの結晶構造においても、TCRのコア構造が維持されることを示している。

[0145]

実験例10: 新規ジスルフィド鎖間結合及びC末端 鎖タギング部位を含む可溶性NY-ESO TCRの生成

新規ジスルフィド結合が組み込まれた可溶性NY-ESO TCRを生成させるために、実験例 4に記載したように、 鎖 B a m H I 及び 鎖 B g l I I 制限酵素切断部位を含むA6 TCRプラスミドをフレームワークとして使用した。

[0146]

NY-ESO TCR 鎖構築物を、以下のようにPCRクローニングによって得た。以下に示すプライマー、及びNY-ESO TCR鎖を含むテンプレートを用いてPCR反応を実施した。

【化6】

NdeI

Fwd5'-GGAGATATACATATGGGTGTCACTCAGAAC-3'

Rev5'-CCACCGGATCCGTCTGCTCTACCCCAGGC-3'
| BamHI|

[0147]

PCR産物を該当する制限酵素で消化し、ビオチン認識配列を含むpGMT7にクローン化して発現プラスミドを得た。プラスミド挿入断片の配列を、自動DNA配列決定によって確認した。図85aに、ビオチン認識部位が組み込まれたNY-ESOTCRの 鎖のDNA

10

20

30

40

配列を示す。図85bに得られたアミノ酸配列を示す。

[0148]

鎖構築物を実験例 5 に記載したように生成させた。実験例 5 に記載したように、それぞれのTCR鎖が発現され、共にリフォールディングされ、精製された。

[0149]

非天然ジスルフィド鎖間結合と 鎖C末端のヘキサ・ヒスチジンタグとを含む可溶性NY-ESO TCRを生成させるために、同じプライマー及びNY・ESOテンプレートを上述のように使用した。PCR産物を該当する制限酵素で消化し、ヘキサ・ヒスチジン配列を含むpGMT7にクローン化して発現プラスミドを得た。図86aに、ヘキサ・ヒスチジンタグが組み込まれたNY-ESO TCRの 鎖のDNA配列を示す。図86bに得られたアミノ酸配列を示す。

[0150]

図87に、点線で示した0~500mMのNaCl勾配を用いたPOROS 50HQ陰イオン交換カラムからの、新規ジスルフィド結合及びビオチン認識配列を含む可溶性NY-ESO TCRの溶出を示す。図88に、点線で示した0~500mMのNaCl勾配を用いたPOROS 50HQ 陰イオン交換カラムからの、新規ジスルフィド結合及びヘキサ・ヒスチジンタグを含む可溶性NY-ESO TCRの溶出を示す。

[0151]

図89及び90は、図87及び88によって示されたそれぞれNY-ESO-ビオチン及びNY-ESO-ヘキサ・ヒスチジンタグ付き陰イオン交換カラム分析からプールされた画分のゲルろ過クロマトグラフィからのタンパク質溶出プロファイルである。タンパク質は、TCRヘテロダイマーに対応する単一の主ピークとして溶出する。

[0152]

p M H C に対するsTCRの結合のBIAcore分析を、実験例 3 に記載したように実施した。 N Y - E S O - ビオチンTCRの K d は 7 . 5 μ M であった。 N Y - E S O - ヘキサ - ヒスチジンタグ付きTCRの K d は 9 . 6 μ M であった。

[0153]

実験例11: 新規ジスルフィド鎖間結合を含む可溶性NY-ESO TCRの蛍光標識四量体を用いた細胞染色

TCR四量体の調製

実験例10のように調製した、新規ジスルフィド結合及びビオチン認識配列を含むNY - ESO可溶性TCRを利用して、細胞染色に必要な可溶性TCR四量体を形成させた。精製可 溶性TCR溶液(約0.2mg/mL)2.5mLの緩衝液を、PD-10カラム(Pharmaci a)を用いてビオチン化反応緩衝液(50mMトリス pH8.0、10mM MgClっ)に置換した。分子量カットオフが 1 0 k D a であるcentricon濃縮装置(Amicon)を用い て溶出液(3.5mL)を1mLに濃縮した。これに、貯蔵物(pH7.0に調整された 0.1g/mL)からATPを添加して10mMにした。次いで、多量のプロテアーゼ阻 害剤のカクテル(プロテアーゼ阻害剤カクテルSet 1、Calbiochem Biochemicals) を、供給された貯蔵溶液の1/100の最終プロテアーゼカクテル濃度にするのに十分な 量添加し、その後(0.2M貯蔵物から添加された)1mM ビオチン及び(0.5mg /mLの貯蔵物からの)20µg/mL 酵素を添加した。次いで、この混合物を終夜室 温でインキュベートした。S75 HRカラムのサイズ排除クロマトグラフィによって、 この溶液から過剰のビオチンを除去した。NY-ESO TCRのビオチン化レベルを、以下のよう に、サイズ排除HPLCベースの方法によって決定した。50uL一定量のビオチン化NY - ESO TCR (2 mg/mL)を、ストレプトアビジンで被覆したアガロースビーズ(Sigma) 50 u L と共に 1 時間インキュベートした。次いで、このビーズを遠心沈殿させ、未結合 試料50μLを、TSK 2000 SWカラム(Tosoohaas)に流量0.5mL/min (200m M リン酸緩衝液 p H 7.0)で30分間かけた。ビオチン化NY-ESO TCRの存 在を、UV分光計によって214nm及び280nmで検出した。ビオチン化NY-ES Oを非ビオチン化NY-ESO TCR対照と対比して測定した。非ビオチン化タンパク質のピーク

10

20

30

40

面積からビオチン化タンパク質のピーク面積を減算してビオチン化の割合を計算した。 【 0 1 5 4 】

ビオチン化可溶性TCRの四量体化を、neutravidin - フィコエリトリン複合体 (Cambridge Biosciences、UK)を用いて行った。ビオチン化可溶性TCRの濃度をクーマシータンパク質アッセイ(Pierce)によって測定し、可溶性TCR 0.8 mg/mg neutravidin - フィコエリトリン複合体の比を、ビオチン化TCRによるneutravidin - PEの飽和を1:4 の比で達成するように計算した。リン酸緩衝食塩水(PBS)で希釈した6.15 mg/m L ビオチン化N Y - ESO可溶性TCR溶液19.5 μ L を、氷上の1 mg/m L 可溶性neutravidin-PE 150 μ L に静かに撹拌しながら徐々に添加した。次いで、PBS 100.5 μ L をこの溶液に添加して最終NY-ESO TCR四量体濃度を1 mg/m L にした。【0155】

10

染色手順

PBS 0.5 m L で希釈した 0.3 x 1 0 6 H L A - A 2 陽性 E B V 形質転換 B 細胞系 (PP L C L) の 4 つのアリコートを、H L A - A 2 NYESOペプチド (S L L M W I T Q C) の濃度を変えて (0、10 $^{-4}$ 、10 $^{-5}$ 及び 10 $^{-6}$ M) 3 7 で 2 時間インキュベートした。次いで、これらの PP L C L 細胞を、ハンクス緩衝食塩水溶液(H B S S) (Gibco、U K) で 2 回洗浄した。

[0156]

20

[0157]

結果

図91a~hに、上述したように調製した試料の各々に対して得られたFACSVan tageデータをヒストグラムとして示す。以下の表に、各々の試料に対して観察された 陽性染色細胞の割合を列記する。

【表5】

20
30

試料	陽性染色細胞(%)
0 NY-ESO ペプチド, 5μg TCR	0.75
10 ⁴ M NY-ESO ペプチド, 5µg TCR	84.39
10 ⁻⁵ M NY-ESO ペプチド, 5µg TCR	35.29
10 ⁻⁶ M NY-ESO ペプチド, 5µg TCR	7.98
0 NY-ESO ペプチド, 10μg TCR	0.94
10 ⁴ M NY-ESO ペプチド, 10μg TCR	88.51
10 ⁻⁵ M NY-ESO ペプチド, 10µg TCR	8.25
10 ⁶ M NY-ESO ペプチド, 10µg TCR	3.45

40

[0158]

これらのデータは、NY-ESO TCR四量体によって標識された細胞の比率が、インキュベートしたペプチド(SLLMWITQC)濃度に相関して増加することを明示している。したがって、これらのNY-ESO TCR四量体は、HLA-A2 NY-ESO 複合体の発現に基づく特異的細胞標識に適した成分である。

[0159]

本実験例では、蛍光性の複合化されたNY-ESO TCR四量体を使用した。しかし、適切な治療成分(therapeutic moiety)でこの標識を置換しても、同様なレベルの細胞結合が期待される。

[0160]

実験例12: C 1定常領域が組み込まれた、新規ジスルフィド結合を含む可溶性A6 TCRの生成

上記実験例はすべて、C 2 定常領域が組み込まれた、新規ジスルフィド結合を含む可溶性TCRの生成について説明している。本実験例では、C 1 定常領域が組み込まれた、可溶性TCRを首尾よく生成可能であることを示す。

[0161]

[0162]

- 5 '-GGAGATATACATATGAACGCTGGTGTCACT-3'
- 5 '-CCTTGTTCAGGTCCTCTGTGACCGTGAG-3'
- C 1のPCR構築用に以下のプライマーを設計した。

[0163]

- 5 '-CTCACGGTCACAGAGGACCTGAACAAGG-3 '
- 5 '-CCCAAGCTTAGTCTGCTCTACCCCAGGCCTCGGC-3 '

ベータVTCR構築物及びC 1構築物を標準PCR法によって別々に増幅した。これらを、ステッチングPCRによって連結させた。QIAgenミニプレップカラムを用いて製造者の指示に従ってプラスミドDNAを精製し、オックスフォード大学生化学科の配列決定施設における自動配列決定によってその配列を確認した。A6+C 1の配列を図92に示す。

[0164]

その結果、A6+C 1鎖は、両方の鎖のCドメインにシステインが導入され、鎖間ジスルフィド結合によってA6アルファTCRと一対になった。

[0165]

実験例2に記載したように、可溶性TCRが発現され、リフォールディングされた。

[0166]

リフォールディングされた可溶性TCRの精製:

透析したリフォールディング体をPOROS 50HQ陰イオン交換カラムに充填し、 A k t a 精製装置 (Pharmacia) を用いて 5 0 カラム体積にわたる 0 ~ 5 0 0 m M の N a C 1 勾配で、結合したタンパク質を図 9 3 のように溶出させることによって、分解生成物及び不純物からsTCRを分離させた。ピーク画分を 4 で貯蔵し、クーマシー染色 S D S - P A G E (図 9 4)によって分析した後、プールし濃縮した。最後に、 H B S - E P 緩衝液(1 0 m M H E P E S p H 7 . 4、150 m M N a C 1、3 . 5 m M E D T A、0 . 05% ノニデット p 4 0) 中で予め平衡化させたSuperdex 2 0 0 H R ゲルろ過カラム(図 9 5) を用いてsTCRを精製しその特徴を調べた。約 5 0 k D a の相対分子量で溶出したピークをプールし濃縮した後、BIAcore表面プラズモン共鳴分析によってその特徴を調べた。

[0167]

pMHCに対するジスルフィド連結A6 TCRの結合のBIAcore分析を、実験例3に記載したように実施した。図96に、その同族pMHCに対するジスルフィド連結A6可溶性TCRの特異的結合のBIAcore分析結果を示す。

[0168]

C 1 定常領域が組み込まれた、新規ジスルフィド結合を含む可溶性A6 TCRは、その同族 p M H C に対して 2 . 4 2 ± 0 . 5 5 μ M の K $_d$ を有した。この値は、 C 2 定常領域が組み込まれた、新規ジスルフィド結合を含む可溶性A6 TCRに対して実験例 3 で決定された K $_d$ の 1 . 8 μ M に極めて近い。

10

20

30

40

[0169]

実験例13: 鎖に「遊離の」システインが組み込まれた、新規ジスルフィド結合を含む可溶性A6 TCRの生成

TCRの 鎖定常領域には、鎖間又は鎖内ジスルフィド結合形成に関与しないシステイン残基(TRBC 1 * 0 1 及びTRBC 2 * 0 1 のエキソン 1 における残基 7 5)が含まれる。上記実験例はすべて、機能性TCRの収率低下をもたらし得る「不適切な」ジスルフィド結合が形成される可能性を回避するために、この「遊離の」システインがアラニンに突然変異した、新規ジスルフィド結合を有する可溶性TCRの生成について述べている。本実験例では、この「遊離の」システインが組み込まれた可溶性TCRを生成させ得ることを示す。

[0170]

TCR 鎖のプライマー設計及び突然変異誘発

TCR 鎖アラニン(TRBC 1 * 0 1 及びTRBC 2 * 0 1 のエキソン 1 の残基 7 5)をシステインに突然変異させるために、以下のプライマーを設計した(突然変異を小文字で示す)

[0171]

5 '-T GAC TCC AGA TAC tgT CTG AGC AGC CG

5 '-CG GCT GCT CAG Aca GTA TCT GGA GTC A

可溶性TCRのPCR突然変異誘発、発現及びリフォールディングを、実験例2に記載したように実施した。

[0172]

リフォールディングされた可溶性TCRの精製:

透析したリフォールディング体をPOROS 50HQ陰イオン交換カラムに充填し、 A k t a 精製装置 (Pharmacia) を用いて 5 0 カラム体積にわたる 0 ~ 5 0 0 m M の N a C 1 勾配で、結合したタンパク質を図 9 8 のように溶出させることによって、分解生成物及び不純物からsTCRを分離させた。ピーク画分を 4 で貯蔵し、クーマシー染色 S D S - P A G E (図 9 9) によって分析した後、プールし濃縮した。最後に、 H B S - E P 緩衝液(1 0 m M H E P E S p H 7 . 4、 1 5 0 m M N a C 1、 3 . 5 m M E D T A、 0 . 0 5 % ノニデット p 4 0) 中で予め平衡化させたSuperdex 2 0 0 H R ゲルろ過カラム(図 1 0 0) を用いてsTCRを精製しその特徴を調べた。約 5 0 k D a の相対分子量で溶出したピークをプールし濃縮した後、BIAcore表面プラズモン共鳴分析によってその特徴を調べた。

[0173]

pMHCに対するジスルフィド連結A6 TCRの結合のBIAcore分析を、実験例3に記載したように実施した。図101に、その同族pMHCに対するジスルフィド連結A6可溶性TCRの特異的結合のBIAcore分析結果を示す。

[0174]

鎖に「遊離の」システインが組み込まれた新規ジスルフィド結合を含む可溶性A6 TCR は、その同族 p M H C に対して 2 1 . 3 9 \pm 3 . 5 5 μ M の K $_{\rm d}$ を有した。

[0175]

実験例14: 鎖の「遊離の」システインがセリンに突然変異した、新規ジスルフィド結合を含む可溶性A6 TCRの生成

本実験例では、 鎖の「遊離の」システイン(TRBC 1 * 0 1 及びTRBC 2 * 0 1 のエキソン 1 の残基 7 5)がセリンに突然変異した、新規ジスルフィド結合を含む可溶性TCRが首尾よく生成可能であることを示す。

[0176]

TCR 鎖のプライマー設計及び突然変異誘発

天然システイン(TRBC 1 * 0 1 及びTRBC 2 * 0 1 のエキソン 1 の残基 7 5)を予め置換したTCR 鎖アラニンをセリンに突然変異させるために、以下のプライマーを設計した(突然変異を小文字で示す)。

[0177]

5 '-T GAC TCC AGA TAC tCT CTG AGC AGC CG

10

20

30

40

5 '-CG GCT GCT CAG AGa GTA TCT GGA GTC A

可溶性TCRの(図102に示す突然変異ベータ鎖をもたらす)PCR突然変異誘発、発現及びリフォールディングを、実験例2に記載したように実施した。

[0178]

リフォールディングされた可溶性TCRの精製:

透析したリフォールディング体をPOROS 50HQ陰イオン交換カラムに充填し、Akta精製装置 (Pharmacia)を用いて 5 0 カラム体積にわたる 0 ~ 5 0 0 m M の N a C 1 勾配で、結合したタンパク質を図 1 0 3 に示すように溶出させることによって、分解生成物及び不純物からsTCRを分離させた。ピーク画分を 4 で貯蔵し、クーマシー染色 S D S - P A G E (図 1 0 4)によって分析した後、プールし濃縮した。最後に、H B S - E P 緩衝液(1 0 m M H E P E S p H 7 . 4、150 m M N a C 1、3 . 5 m M E D T A、0 . 0 5% ノニデット p 4 0) 中で予め平衡化させたSuperdex 2 0 0 H R ゲルろ過カラム(図 1 0 5) を用いてsTCRを精製しその特徴を調べた。約 5 0 k D a の相対分子量で溶出したピークをプールし濃縮した後、BIAcore表面プラズモン共鳴分析によってその特徴を調べた。

[0179]

pMHCに対するジスルフィド連結A6 TCRの結合のBIAcore分析を、実験例3に記載したように実施した。図106に、その同族pMHCに対するジスルフィド連結A6可溶性TCRの特異的結合のBIAcore分析結果を示す。

[0180]

鎖の「遊離の」システインがセリンに突然変異した、新規ジスルフィド結合を含む可溶性A6 TCRは、その同族 p M H C に対して 2 . 9 8 \pm 0 . 2 7 μ M の K $_d$ を有した。この値は、 鎖の「遊離の」システインがアラニンに突然変異した、新規ジスルフィド結合を含む可溶性A6 TCRに対して実験例 3 で決定された K $_d$ の 1 . 8 μ M に極めて近い。

[0181]

実験例15: 新規ジスルフィド結合を含むNY-ENO TCR 鎖及び 鎖の酵母発 現ベクターへのクローニング

NY-ESO TCR 鎖及び 鎖を、Saccharomyces cerevisiae由来のプレプロ 接合因子配列の C 末端に融合させ、それぞれ酵母発現ベクター p Y X 1 2 2 及び p Y X 1 1 2 にクローン化した(図107及び108参照)。

[0182]

S.cerevisiae菌株 S E Y 6 2 1 0 (Robinson等(1991)、Mol Cell Biol.11(12):5813~24)由来のプレプロ 接合因子配列を P C R 増幅してTCR 鎖に融合させるために、以下のプライマーを設計した。

[0183]

- 5 '-TCT GAA TTC ATG AGA TTT CCT TCA ATT TTT AC-3 '
- 5 '-TCA CCT CCT GGG CTT CAG CCT CTC TTT TAT C-3 '
- S.cerevisiae菌株 S E Y 6 2 1 0 由来のプレプロ 接合因子配列を P C R 増幅してTCR 鎖に融合させるために、以下のプライマーを設計した。

[0184]

- 5 '-TCT GAA TTC ATG AGA TTT CCT TCA ATT TTT AC-3 '
- 5 '-GTG TCT CGA GTT AGT CTG CTC TAC CCC AGG C-3 '

S. cerevisiae菌株 S E Y 6 2 1 0 のコロニーを 0 . 2 5 % S D S 水溶液 3 0 μ L に再懸濁し、 9 0 で 3 分間加熱して、酵母 D N A を調製した。TCR 鎖及び 鎖に融合させるためのプレプロ 接合因子配列を、それぞれ上述のプライマー対を用いて以下の P C R 条件で酵母 D N A 0 . 2 5 μ L を P C R 増幅することによって生成させた。各プライマー 1 2 . 5 p モルを、 2 0 0 μ M d N T P、 1 0 x P f u 緩衝液 5 μ L 及び P f u ポリメラーゼ(Stratagene) 1 . 2 5 単位と最終体積 5 0 μ L 中で混合した。 9 2 3 0 秒の初期変性ステップの後、反応混合物を H y b a i d P C R 発現 P C R 装置によって 3 0 ラウンドの変性(9 2 、 3 0 秒)、アニーリング(4 6 . 9 、 6 0 秒)及び伸長(7 2 、

10

20

30

40

2分)に供した。

[0185]

上述のプレプロ 接合因子配列に融合させるTCR 鎖をPCR増幅するために、以下のプライマーを設計した。

[0186]

- 5 '-GGC TGA AGC CCA GGA GGT GAC ACA GAT TCC-3 '
- 5 '-CTC CTC TCG AGT TAG GAA CTT TCT GGG CTG GG-3 '

上述のプレプロ 接合因子配列に融合させるTCR 鎖をPCR増幅するために、以下のプライマーを設計した。

[0187]

5 '-GGC TGA AGC CGG CGT CAC TCA GAC CCC AAA AT-3 '

5 '-GTG TCT CGA GTT AGT CTG CTC TAC CCC AGG C-3 '

TCR 鎖及び 鎖を増幅するためのPCR条件は、以下の変更点以外上述したのと同じであった。すなわち、TCR 鎖及び 鎖を増幅するために使用したDNAテンプレートは、それぞれ(実験例 5 において調製した)NY-ESO TCR 鎖及び 鎖であり、使用したアニーリング温度は60.1 であった。

[0188]

次いで、初期PCR産物に導入した相補的重複配列を利用したPCRステッチング反応にPCR産物を用いて、完全長キメラ遺伝子を作製した。得られたPCR産物を制限酵素EcoR I及びXho Iで消化し、同じ酵素で消化したpYX122又はpYX112にクローン化した。得られたプラスミドをQiagen(商標)ミニプレップカラムを用いて製造者の指示に従って精製し、その配列を、Genetics Ltd、Queensway、New Milton、Hampshire、United Kingdomの配列決定施設における自動配列決定によって確認した。図109及び110に、クローン化されたキメラ産物のDNA配列及びタンパク質配列を示す。

[0189]

実験例16: 新規ジスルフィド結合を含む可溶性NY-ESO TCRの酵母中での発現 それぞれ実験例15に記載したように生成されたTCR 鎖及び 鎖を含む酵母発現プラ スミドを、Agatep等(1998)(Technical Tips Online(http://tto.trends.com)1:51:P01 525) によるプロトコルを用いて、S. cerevisiae 菌株 S E Y 6 2 1 0 に同時形質転換した。 ヒスチジン及びウラシルを含有する合成ドロップアウト(SD、synthetic dropout)寒天(Qb iogene、IIIkirch、France)上で増殖させた単一のコロニーを、ヒスチジン及びウラシル を含有するSD培地10mL中30 で終夜培養した。その終夜培養したものを、ヒスチ ジン及びウラシルを含有する新鮮なSD培地10mL中1:10で継代培養し、30 で 4時間増殖させた。その培養物を、Heraeus Megafuge 2.0R(Kendro Laboratory Products Ltd、Bishop's Stortford、Hertfordshire、UK)を用いて3800rpmで5分間遠心 分離し、上清を回収した。StratClean Resin(Stratagene) 5 μ L を上清と混合し、ブラッ ドホイール中4 で終夜回転させた。StratClean ResinをHeraeus Megafuge 2.0 Rを 用いて3800rpmで遠心沈殿させ、培地を廃棄した。還元試料緩衝液(2M D T T50μLを含有するLaemmLi試料緩衝液(Biorad) 950μL)25μLを樹脂に添加し、 その試料を95 で5分間加熱し、次いで、氷冷した後、混合物20µLをSDS-PA G E ゲルに0 . 8 m A - 定 / c m 2 ゲル表面で1 時間かけた。ゲル中のタンパク質を、以 下の変更点以外下記実験例17に記載したように、Immuno-Blot PVDFメンブレン(Bio - Rad)に移し、TCR抗 鎖抗体でプローブした。 1 次抗体(TCR抗 鎖)及び 2 次抗体 をそれぞれ1/200及び1/1000に希釈して用いた。図111に、展開したメンブ レンの写真を示す。その結果、酵母培養によって培地中に低レベルのTCRが分泌されるこ とが判明した。

[0190]

実験例17: バキュロウイルスにおけるジスルフィドA6 Tax TCR 鎖及び 鎖発現 10

20

30

40

クローニング戦略

ジスルフィドA6 Tax TCRの 鎖及び 鎖を、pGMT7からpEX172と称 するpBlueScript KS2ベースのベクターにクローン化した。このベクター は、DRB1 * 0 1 0 1 のリーダー配列、様々なペプチドコード配列を挿入するためのA geΙ部位、リンカー領域、次いでJunロイシンジッパー配列の前のDR 鎖をクロー ン化するMluI及びSalI部位を用いて、昆虫細胞を発現させるための様々なMHC クラスII 鎖をクローニングするように設計された。pBlueScript KS-のKpnI部位とEcoRI部位の間に位置し、pEX 172がpBlueSc ript II KS-と異なる配列を図112に示す。昆虫細胞においてTCR鎖をクロ ーニングするために、このpEX172がAgeI及びSalIと共に切断されてリンカ 一領域及びM 1 u I 部位が除去され、ペプチド配列が始まる箇所にTCR鎖が入る。TCR配列 は、5 、末端にBspEI部位(これはAgeI適合付着末端を含んでいた)及び3、末 端にSalI部位を含むpGMT7からクローン化された。DR リーダー配列の除去用 切断部位を用意するために、DR 鎖の最初の3つの残基(GDT)を保存した。Jun ロイシンジッパー配列が転写されるのを防止するために、SalI部位の前に終止コドン を挿入する必要があった。この構築物の概略については、図113を参照されたい。TCR 鎖がこのプラスミドに入った後、BamHI断片を切り出し、バキュロウイルスに対して 相同組換え部位を有するpAcAB3ベクターにサブクローニングした。pAcAB3ベ クターは、2つの異なるプロモーターを有し、1つはBamHI部位を含み、1つはBg 1IIクローニング部位を含む。A6 TCR 鎖にはBglII部位があるので、A6 TCR 鎖 がBglII部位に挿入され、次いで 鎖がBamHI部位にサブクローニングされる。

上記クローニング戦略に従い、以下のプライマーを設計した(ベクターに相同な部分を 大文字で示す)。

[0192]

: F : 5 '-gtagtccggagacaccggaCAGAAGGAAGTGGAGCAGAAC

R: 5'-gtaggtcgacTAGGAACTTTCTGGGCTGGG

: F : 5 '-gtagtccggagacaccggaAACGCTGGTGTCACTCAGA

R: 5'-gtaggtcgacTAGTCTGCTCTACCCCAGG

PCR、クローニング及びサブクローニング:

ジスルフィドA6 Tax TCR 鎖又は 鎖の遺伝子を含有する発現プラスミドを、 以下のPCR反応においてテンプレートとして使用した。プラスミド100ngを10m M dNTP 1 μ L、 1 0 x P f u 緩衝液 (Stratagene) 5 μ L 、 P f u ポリメラーゼ(S tratagene) 1 . 2 5 単位、上記 A 6 プライマー 5 0 p モルと混合し、最終体積を H $_2$ O で50µLに調節した。同様の反応混合物を、 プラスミド及び プライマー対を用いて 鎖用に準備した。これらの反応混合物を、Hybaid PCR発現PCR装置を用い て 3 5 ラウンドの変性 (9 5 、 6 0 秒)、アニーリング (5 0 、 6 0 秒)及び伸長 (72 、8分)に供した。次いで、生成物を、BspEI制限酵素10単位を用いて37 で 2 時間消化し、 S a l I (New England Biolabs) 1 0 単位でさらに 2 時間消化した。 これらの消化された反応物を、AgeI及びSalIで消化したpEX172に連結し、 これらをコンピテントなXL1-Blue細菌に形質転換し、37 で18時間増殖させ た。単一のコロニーを 及び 調製物の各々から選択し、TYP+アンピシリン(16g / Lバクトトリプトン、16g/L酵母抽出物、5g/LNaCl、2.5g/LK₂H PO $_4$ 、100mg/Lアンピシリン)5mL中で終夜増殖させた。QIAgenミニプ

p E X 1 7 2 におけるこれら 及び ジスルフィドA6 Tax TCR鎖構築物を、B amHI制限酵素 (New England Biolabs) を用いて37 で2時間消化して除去した。

れについて、BamHI挿入断片のアミノ酸配列を図114及び115に示す。

レップカラムを用いて製造者の指示に従ってプラスミドDNAを精製し、Genetix の配列決定施設における自動配列決定によってその配列を確認した。 鎖及び 鎖それぞ 10

20

30

40

鎖のBamHI挿入断片を、BglII酵素で消化したpAcAB3ベクター(Pharmingen-BD Biosciences: 21216P)に連結した。これをコンピテントなXL1-Blue細菌に形質転換し、37 で18時間増殖させた。このプレートから単一のコロニーを選択し、TYP+アンピシリン5mL中で終夜増殖させ、プラスミドDNAを先と同様に精製した。次いで、このプラスミドをBamHIで消化し、 鎖BamHI挿入断片を連結し、コンピテントなXL1-Blue細菌に形質転換し、終夜増殖させ、TYP-アンピシリンで選択し、増殖させた後、QIAgenミニプレップカラムを用いて先と同様にミニプレップを行った。 鎖及び 鎖両方の正確な配向を、以下の配列決定プライマーを用いて配列を決定することによって確認した。

[0194]

pAcAB3 順方向:5'-gaaattatgcatttgaggatg

p A c A B 3 順方向:5'-attaggcctctagagatccg

昆虫細胞内におけるトランスフェクション、感染、発現及びA6 TCRの分析

BacuLogold形質移入キット(Pharmingen-BD Biosciences:21100K)を用いて製造者の指示に従って、無血清培地 (Pharmingen-BD Biosciences:551411) で増殖させた sf9細胞 (Pharmingen-BD Biosciences:21300C) に、 鎖及び 鎖を含む発現プラスミドを形質移入した。27 で5日後、これらの形質移入細胞を増殖させた培地200 μ Lを、無血清培地中の1×10 6 細胞/mLのHigh Five細胞100mLに添加した。27 でさらに6日後、この培地1mLを取り出し、Hereus microfugeを用いて13,000RPMで5分間遠心して細胞片をペレット化した。

[0195]

この昆虫 A 6 ジスルフィド連結TCR上清 1 0 μ L を、正の対照の細菌 A 6 ジスルフィド連結TCR 5 μ g 及び 1 0 μ g と一緒にプレキャスト 4 ~ 2 0 % トリス / グリシンゲル(Invitrogen: EC60252)上に流した。還元試料緩衝液(9 5 0 μ L のLaemmLi 試料緩衝液(Bio-Rad: 161-0737)5 0 μ L の 2 M D T T)1 0 μ L を添加し、9 5 で 5 分間加熱し、室温で 1 0 分間冷却し、次いで 2 0 μ L を充填することによって還元試料を調製した。 L a e m m L i 試料緩衝液 1 0 μ L を添加し、2 0 μ L を充填することによって非還元試料を調製した。

[0196]

Novex-Xcellゲルタンク中で 1 時間このゲルに 1 5 0 ボルトをかけ、その後ゲルを静かに撹拌しながらクーマシーゲル染料 5 0 m L で 1 時間染色した(メタノール 5 0 0 m L 中でクーマシー粉 1 . 1 gを 1 時間撹拌し、酢酸 1 0 0 m L を添加し、 H_2 O で 1 リットルとし、 1 時間撹拌し、次いで 0 . 4 5 μ m フィルターでろ過する)。 脱染剤 (destain) (クーマシー粉を除いたクーマシーゲル染料) 5 0 m L 中でゲルを静かに撹拌しながら 3 0 分間 3 回脱染した。

[0197]

先と同様にSDS-PAGEゲルを操作してウェスタンブロットを実施した。但し、クーマシーでゲルを染色するのではなく、タンパク質をImmuno-Blot PVDFメンプレン(Bio-Rad:162-0174)に移した。6枚のろ紙をゲルのサイズに合わせて切り、転写緩衝液(グリシン2.39g、トリス塩基5.81g、DTT0.77gをH $_2$ O 5 0 0 m L に溶解し、メタノール200 m L を添加し、次いで H_2 O で 1 0 0 0 m L にした)に浸漬した。PVDFメンプレンを、メタノールに1分間、次いで転写緩衝液に2分間浸漬して調製した。Immno-Blot装置(Pharmacia-Novablot)のアノード表面に3枚のろ紙を置き、次いでその上にメンブレンを置き、その上にゲルを置き、最後に別の3枚のろ紙をカソード側に置いた。0.8mA一定/cm 2 ゲル表面で1時間Immuno-blotを用いて分析した。

[0198]

ブロッティング後、ブロッキング緩衝液(トリス緩衝食塩錠剤(Sigma:T5030) 4 個、脱脂粉乳(Sigma:M7409) 3 g、Tween 20 3 0 μ L を H $_2$ O で 3 0 m L に調整) 7 . 5 m L 中で 6 0 分間静かに撹拌しながらメンブレンをブロックした。 T B S 洗浄緩衝液(T B S

10

20

30

40

錠剤 2 0 個、Tween 20 1 5 0 μ L を H $_2$ O で 3 0 0 m L に調整)でメンブレンを 3 回 5 分間洗浄した。次いで、ブロッキング緩衝液 7 . 5 m L で希釈した抗TCR 鎖クローン 3 A 8 (Serotec: MCA987) 又は抗TCR 鎖クローン 8 A 3 (Serotec: MCA988) で 1 / 5 0 に希釈した 1 次抗体中で 1 時間静かに撹拌しながらメンブレンをインキュベートした。先と同様にしてメンブレンを T B S 洗浄緩衝液で洗浄した。次に、ブロッキング緩衝液 7 . 5 m L で 1 / 1 0 0 0 に希釈した H R P 標識ヤギ抗マウス抗体(Santa Cruz Biotech: Sc-2 005)の 2 次抗体インキュベーションを、静かに撹拌しながら 3 0 分間実施した。先と同様にしてメンブレンを洗浄し、次いで T B S 錠剤 2 個を含む H $_2$ O 3 0 m L で洗浄した。 【 0 1 9 9 】

Opti-4CN色度検出(Biorad: 170-8235)(Opt-4CN希釈剤 1.4 m L、 H_2 O12.6 m L、Opti-4CN基質 0.28 m L)によって抗体結合を検出した。メンブレンを 3 0 分間着色し、次いで H_2 Oで 1 5 分間洗浄した。メンブレンを室温で乾燥し、走査イメージをクーマシー染色ゲルのイメージと並べた(図 1 1 6)。

[0200]

結果

図116から、両方のジスルフィドTCRが、SDSゲル中で安定なヘテロダイマーとして形成されることがわかる。これらは両方とも、還元すると 鎖と 鎖に分解する。昆虫ジスルフィドTCRヘテロダイマーは、おそらく昆虫細胞によるグリコシレーションのために、細菌によって産生されたものよりもやや大きな分子量を有する。この場合、昆虫細胞は 鎖を過剰に産生し、遊離の 鎖が抗 ウェスタンブロットの非還元レーンに見られることが判明した。

[0201]

これらのデータから、上述のバキュロウイルス発現システムが、新規ジスルフィド結合を含む可溶性TCRの原核生物発現に対して、実行可能な代替システムとなることが明確に示された。

【図面の簡単な説明】

[0202]

【図1】図1は、本発明によって導入された鎖間ジスルフィド結合を有する可溶性TCRの概略図である。

【図2】図2a及び2bは、システインコドンを導入するように突然変異した可溶性A6 T CRのそれぞれ 鎖及び 鎖の核酸配列である。陰影付きの部分は、導入したシステインコドンである。

【図3】図3 a は、新規ジスルフィド鎖間結合を生成させるために使用した T $_4$ 8 C 突然変異(下線部)を含めたA6 TCR 鎖細胞外アミノ酸配列である。図3 b は、新規ジスルフィド鎖間結合を生成させるために使用した S $_5$ 7 C 突然変異(下線部)を含めたA6 T CR 鎖細胞外アミノ酸配列である。

【図4】図4は、点線で示した0~500 m M の N a C 1 勾配を用いたPOROS 50HQカラムからのタンパク質溶出を示す、可溶性A6 TCRの陰イオン交換クロマトグラフィによって得られたトレースである。

【図5】図5・A.図4に示したカラム分析画分の還元SDS・PAGE(クーマシー染色)を示す図である。B.図4に示したカラム分析画分の非還元SDS・PAGE(クーマシー染色)を示す図である。ピーク1はジスルフィドによって連結されていない 鎖を主として含んでいることが明らかであり、ピーク2は鎖間ジスルフィドによって連結されたTCRへテロダイマーを含み、ショルダーは鎖間ジスルフィド連結sTCRに混入したE.coli汚染物質によるものであり、この複製では見え難い。

【図6】図6は、図5のピーク1からプールされた画分のサイズ排除クロマトグラフィによって得られたトレースである。このタンパク質は、ヘテロダイマーに対応する単一の主ピークとして溶出する。

【図7】図7は、HLA-A2-tax複合体に対するジスルフィド連結A6可溶性TCRの特異的結合のBIAcore応答曲線である。挿入グラフは、ジスルフィド連結A6可溶性TCR

10

20

30

40

の単回投与の対照と比較した結合応答である。

【図8】図8aは、突然変異してBamHl制限酵素切断部位が組み込まれた新規システイン残基を含むA6 TCR 鎖配列である。陰影付きの部分は、導入されてBamHl制限酵素切断部位を形成した突然変異を示す。図8b及び8cは、突然変異して追加のシステイン残基を含み非天然(non-native)ジスルフィド結合を形成するJM22 TCRの 鎖及び鎖のDNA配列である。

【図9】図9a及び9bは、それぞれ図8a及び8bのDNA配列から産生されるJM2 2 TCR 鎖及び 鎖の細胞外アミノ酸配列である。

【図10】図10は、点線で示した0~500mMのNaC1勾配を用いたPOROS 50HQカラムからのタンパク質溶出を示す、可溶性ジスルフィド連結JM22 TCRの陰イオン交換クロマトグラフィによって得られたトレースである。

【図11】図11aは、図10に示すカラム分析画分の還元SDS-PAGE(クーマシー染色)を示す図である。図11bは、図10に示すカラム分析画分の非還元SDS-PAGE(クーマシー染色)を示す図である。ピーク1が鎖間ジスルフィド連結されたTCR ヘテロダイマーを含んでいるのは明らかである。

【図12】図12は、図10のピーク1からプールされた画分のサイズ排除クロマトグラフィによって得られたトレースである。このタンパク質は、ヘテロダイマーに対応する単一の主ピークとして溶出する。収率は80%である。

【図13】図13-A.HLA-F1u複合物に対するジスルフィド連結JM22可溶性TCRの特異的結合のBIAcore応答曲線である。B.ジスルフィド連結JM22可溶性TCRの単回投与の対照と比較した結合応答である。

【図14】図14a及び14bは、突然変異して追加のシステイン残基を含み非天然ジスルフィド結合を形成したNY-ESOの 鎖及び 鎖のDNA配列である。

【図15】図15a及び15bは、それぞれ図14a及び14bのDNA配列から産生されたNY-ESO TCR 鎖及び 鎖の細胞外アミノ酸配列である。

【図16】図16は、点線で示した0~500mMのNaC1勾配を用いたPOROS 50HQカラムからのタンパク質溶出を示す、可溶性NY-ESOジスルフィド連結TCRの陰イオン交換クロマトグラフィによって得られたトレースである。

【図17】図17-A.図16に示したカラム分析画分の還元SDS-PAGE(クーマシー染色)を示す図である。B.図16に示したカラム分析画分の非還元SDS-PAGE(クーマシー染色)を示す図である。ピーク1及び2が、鎖間ジスルフィドによって連結されたTCRへテロダイマーを含んでいることは明らかである。

【図18】図18 図17のピーク1(A)及びピーク2(B)からプールされた画分のサイズ排除クロマトグラフィを示すグラフである。このタンパク質は、ヘテロダイマーに対応する単一の主ピークとして溶出する。

【図19】図19は、HLA-NYESO複合体に対するジスルフィド連結NY-ESO可溶性TCRの特異的結合のBIAcore応答曲線である。A.ピーク1、B.ピーク2。

【図20】図20a及び20bは、(陰影付きで示された)新規システインコドンを導入するように突然変異した可溶性NY-ESO TCRのそれぞれ 鎖及び 鎖のDNA配列である。これらの配列は、(太字のコドンで示された)天然ジスルフィド鎖間結合に関与するシステインを含む。

【図21】図21a及び21bは、それぞれ図20a及び21bのDNA配列から産生されるNY-ESO TCR 鎖及び 鎖の細胞外アミノ酸配列である。

【図22】図22は、点線で示した0~500mMのNaCl勾配を用いたPOROS 50HQカラムからのタンパク質溶出を示す、可溶性NY-ESO TCR cys cys の陰イオン交換クロマトグラフィから得られたトレースである。

【図 2 3 】図 2 3 は、点線で示した 0 ~ 5 0 0 m M の N a C 1 勾配を用いたPOROS 50HQカラムからのタンパク質溶出を示す、可溶性NY-ESO TCR cy s の陰イオン交換クロマトグラフィから得られたトレースである。

【図24】図24は、点線で示した0~500mMのNaCl勾配を用いたPOROS 50HQカ

10

20

30

40

ラムからのタンパク質溶出を示す、可溶性NY-ESO TCR ^{cys}の陰イオン交換クロマトグラフィから得られたトレースである。

【図29】図29は、図22からプールされた画分のタンパク質溶出を示す、可溶性NY-E SO TCR ^{cys}のサイズ排除交換クロマトグラフィから得られたトレースである。このタンパク質は、ヘテロダイマーに対応する単一の主ピークとして溶出する。

【図30】図30は、HLA-NY-ESO複合体に対するNY-ESO TCR ^{c y s} の特異的結合のBIAcore応答曲線である。

【図31】図31は、HLA-NY-ESO複合体に対するNY-ESO TCR ^{c y s} の特異的結合のBIAc ore応答曲線である。

【図32】図32は、HLA-NY-ESO複合体に対するNY-ESO TCR ^{c y s} の特異的結合のBIAc ore応答曲線である。

【図33】図33a及び33bは、(陰影付きで示された)新規システインコドンを導入するように突然変異した可溶性AH-1.23 TCRのそれぞれ 鎖及び 鎖のDNA配列である。これらの配列は、(太字のコドンによって示される)天然ジスルフィド鎖間結合に関与するシステインを含む。

【図34】図34a及び34bは、図33a及び33bの各DNA配列から産生されるAH-1.23 TCR 鎖及び 鎖の細胞外アミノ酸配列である。

【図35】図35は、点線で示した0~500mMのNaC1勾配を用いたPOROS 50HQカラムからのタンパク質溶出を示す、可溶性AH-1.23 TCRの陰イオン交換クロマトグラフィから得られたトレースである。

【図36】図36は、図35における陰イオン交換カラム分析のAH-1.23 TCR画分の還元SDS-PAGE(10%Bis-Trisゲル、クーマシー染色)を示す図である。試験したタンパク質は、リフォールディング体3からのTCR 1.23 S-Sの陰イオン交換画分である。レーン1はMWマーカーであり、レーン2はB4であり、レーン3はC2であり、レーン4はC3であり、レーン5はC4であり、レーン6はC5であり、レーン7はC6であり、レーン8はC7であり、レーン9はC8であり、レーン10はC9である。

【図37】図37は、図35における陰イオン交換カラム分析のAH-1.23 TCR画分の非還元SDS-PAGE(10%Bis-Trisゲル、クーマシー染色)を示す図である。試験したタンパク質は、リフォールディング体3からのTCR 1.23 S-S

10

20

30

40

の陰イオン交換画分である。レーン 1 は M W マーカーであり、レーン 2 は B 4 であり、レーン 3 は C 2 であり、レーン 4 は C 3 であり、レーン 5 は C 4 であり、レーン 6 は C 5 であり、レーン 7 は C 6 であり、レーン 8 は C 7 であり、レーン 9 は C 8 であり、レーン 1 0 は C 9 である。

【図38】図38は、図35からプールされた画分のタンパク質溶出を示す、可溶性 AH-1.23 TCRのサイズ排除交換クロマトグラフィから得られたトレースである。このタンパク質は、ヘテロダイマーに対応する単一の主ピークとして溶出する。

【図39】図39a及び39bは、TRAC * 01のエキソン1中の残基48に新規システインを導入するように突然変異した可溶性A6 TCRの 鎖のそれぞれDNA配列及びアミノ酸配列である。陰影付きのヌクレオチドは導入された新規システインコドンを示し、下線のアミノ酸は導入されたシステインを示す。

【図40】図40a及び40bは、TRAC * 01のエキソン1中の残基45に新規システインを導入するように突然変異した可溶性A6 TCRの 鎖のそれぞれDNA配列及びアミノ酸配列である。陰影付きのヌクレオチドは導入された新規システインコドンを示し、下線のアミノ酸は導入されたシステインを示す。

【図41】図41a及び41bは、TRAC * 01のエキソン1中の残基61に新規システインを導入するように突然変異した可溶性A6TCRの 鎖のそれぞれDNA配列及びアミノ酸配列である。陰影付きのヌクレオチドは導入された新規システインコドンを示し、下線のアミノ酸は導入されたシステインを示す。

【図42】図42a及び42bは、TRAC*01のエキソン1中の残基50に新規システインを導入するように突然変異した可溶性A6 TCRの 鎖のそれぞれDNA配列及びアミノ酸配列である。陰影付きのヌクレオチドは導入された新規システインコドンを示し、下線のアミノ酸は導入されたシステインを示す。

【図43】図43a及び43bは、TRAC*01のエキソン1中の残基10に新規システインを導入するように突然変異した可溶性A6 TCRの 鎖のそれぞれDNA配列及びアミノ酸配列である。陰影付きのヌクレオチドは導入された新規システインコドンを示し、下線のアミノ酸は導入されたシステインを示す。

【図44】図44a及び44bは、TRAC*01のエキソン1中の残基15に新規システインを導入するように突然変異した可溶性A6 TCRの 鎖のそれぞれDNA配列及びアミノ酸配列である。陰影付きのヌクレオチドは導入された新規システインコドンを示し、下線のアミノ酸は導入されたシステインを示す。

【図45】図45 a 及び45 b は、TRAC * 0 1 のエキソン 1 中の残基 1 2 に新規システインを導入するように突然変異した可溶性A6 TCRの 鎖のそれぞれ D N A 配列及びアミノ酸配列である。陰影付きのヌクレオチドは導入された新規システインコドンを示し、下線のアミノ酸は導入されたシステインを示す。

【図46】図46a及び46bは、TRAC*01のエキソン1中の残基22に新規システインを導入するように突然変異した可溶性A6TCRの 鎖のそれぞれDNA配列及びアミノ酸配列である。陰影付きのヌクレオチドは導入された新規システインコドンを示し、<u>陰影付</u>きのアミノ酸は導入されたシステインを示す。

【図47】図47a及び47bは、TRAC*01のエキソン1中の残基52に新規システインを導入するように突然変異した可溶性A6TCRの 鎖のそれぞれDNA配列及びアミノ酸配列である。陰影付きのヌクレオチドは導入された新規システインコドンを示し、下線のアミノ酸は導入されたシステインを示す。

【図48】図48a及び48bは、TRAC*01のエキソン1中の残基43に新規システインを導入するように突然変異した可溶性A6 TCRの 鎖のそれぞれDNA配列及びアミノ酸配列である。陰影付きのヌクレオチドは導入された新規システインコドンを示し、下線のアミノ酸は導入されたシステインを示す。

【図49】図49a及び49bは、TRAC*01のエキソン1中の残基57に新規システインを導入するように突然変異した可溶性A6 TCRの 鎖のそれぞれDNA配列及びアミノ酸配列である。陰影付きのヌクレオチドは導入された新規システインコドンを示し、下線の

10

20

30

40

アミノ酸は導入されたシステインを示す。

【図50】図50a及び50bは、TRBC2*01のエキソン1中の残基77に新規システインを導入するように突然変異した可溶性A6 TCRの 鎖のそれぞれDNA配列及びアミノ酸配列である。陰影付きのヌクレオチドは導入された新規システインコドンを示し、下線のアミノ酸は導入されたシステインを示す。

【図51】図51a及び51bは、TRBC2*01のエキソン1中の残基17に新規システインを導入するように突然変異した可溶性A6 TCRの 鎖のそれぞれDNA配列及びアミノ酸配列である。陰影付きのヌクレオチドは導入された新規システインコドンを示し、下線のアミノ酸は導入されたシステインを示す。

【図52】図52a及び52bは、TRBC2*01のエキソン1中の残基13に新規システインを導入するように突然変異した可溶性A6 TCRの 鎖のそれぞれDNA配列及びアミノ酸配列である。陰影付きのヌクレオチドは導入された新規システインコドンを示し、下線のアミノ酸は導入されたシステインを示す。

【図53】図53a及び53bは、TRBC2*01のエキソン1中の残基59に新規システインを導入するように突然変異した可溶性A6TCRの 鎖のそれぞれDNA配列及びアミノ酸配列である。陰影付きのヌクレオチドは導入された新規システインコドンを示し、下線のアミノ酸は導入されたシステインを示す。

【図54】図54a及び54bは、TRBC2*01のエキソン1中の残基79に新規システインを導入するように突然変異した可溶性A6 TCRの 鎖のそれぞれDNA配列及びアミノ酸配列である。陰影付きのヌクレオチドは導入された新規システインコドンを示し、下線のアミノ酸は導入されたシステインを示す。

【図55】図55a及び55bは、TRBC2 * 01のエキソン1中の残基14に新規システインを導入するように突然変異した可溶性A6TCRの 鎖のそれぞれDNA配列及びアミノ酸配列である。陰影付きのヌクレオチドは導入された新規システインコドンを示し、下線のアミノ酸は導入されたシステインを示す。

【図56】図56a及び56bは、TRBC2 * 01のエキソン1中の残基55に新規システインを導入するように突然変異した可溶性A6TCRの 鎖のそれぞれDNA配列及びアミノ酸配列である。陰影付きのヌクレオチドは導入された新規システインコドンを示し、下線のアミノ酸は導入されたシステインを示す。

【図57】図57a及び57bは、TRBC2 * 01のエキソン1中の残基63に新規システインを導入するように突然変異した可溶性A6TCRの 鎖のそれぞれDNA配列及びアミノ酸配列である。陰影付きのヌクレオチドは導入された新規システインコドンを示し、下線のアミノ酸は導入されたシステインを示す。

【図58】図58a及び58Bは、TRBC2*01のエキソン1中の残基15に新規システインを導入するように突然変異した可溶性A6TCRの 鎖のそれぞれDNA配列及びアミノ酸配列である。陰影付きのヌクレオチドは導入された新規システインコドンを示し、下線のアミノ酸は導入されたシステインを示す。

【図59】図59は、点線で示した0~500mMのNaCl勾配を用いたPOROS50カラムからのタンパク質溶出を示す、それぞれTRAC*01のエキソン1の残基48とTRBC2*01のエキソン1の残基57との間、TRAC*01のエキソン1の残基45とTRBC2*01のエキソン1の残基17との間、TRAC*01のエキソン1の残基10とTRBC2*01のエキソン1の残基17との間、TRAC*01のエキソン1の残基45とTRBC2*01のエキソン1の残基59との間、TRAC*01のエキソン1の残基52とTRBC2*01のエキソン1の残基55との間、TRAC*01のエキソン1の残基55とTRBC2*01のエキソン1の残基55との間、TRAC*01のエキソン1の残基15とTRBC2*01のエキソン1の残基15との間の新規ジスルフィド鎖間結合を含む可溶性A6 TCRの陰イオン交換クロマトグラフィから得られたトレースである。

【図60】図60は、点線で示した0~500mMのNaCl勾配を用いたPOROS 50カラムからのタンパク質溶出を示す、それぞれTRAC*01のエキソン1の残基48と TRBC2*01のエキソン1の残基57との間、TRAC*01のエキソン1の残基45とTRBC 2*01のエキソン1の残基77との間、TRAC*01のエキソン1の残基10とTRBC2* 10

20

30

40

. •

10

20

30

50

0 1 のエキソン 1 の残基 1 7 との間、TRAC * 0 1 のエキソン 1 の残基 4 5 とTRBC 2 * 0 1 のエキソン 1 の残基 5 9 との間、TRAC * 0 1 のエキソン 1 の残基 5 2 とTRBC 2 * 0 1 のエキソン 1 の残基 5 5 との間、TRAC * 0 1 のエキソン 1 の残基 1 5 とTRBC 2 * 0 1 のエキソン 1 の残基 1 5 との間の新規ジスルフィド鎖間結合を含む可溶性A6 TCRの陰イオン交換クロマトグラフィから得られたトレースである。

【図61】図61は、点線で示した0~500mMのNaC1勾配を用いたPOROS 5 0 カラムからのタンパク質溶出を示す、それぞれTRAC * 0 1 のエキソン 1 の残基 4 8 と TRBC 2 * 0 1 のエキソン 1 の残基 5 7 との間、TRAC * 0 1 のエキソン 1 の残基 4 5 とTRBC 2 * 0 1 のエキソン 1 の残基 7 7 との間、TRAC * 0 1 のエキソン 1 の残基 1 0 とTRBC 2 * 0 1 のエキソン 1 の残基 1 7 との間、TRAC * 0 1 のエキソン 1 の残基 4 5 とTRBC 2 * 0 1 のエキソン 1 の残基 5 9 との間、TRAC * 0 1 のエキソン 1 の残基 5 2 とTRBC 2 * 0 1 のエキソン 1 の残基 5 5 との間、TRAC * 0 1 のエキソン 1 の残基 5 2 とTRBC 2 * 0 1 のエキソン 1 の残基 5 5 との間、TRAC * 0 1 のエキソン 1 の残基 1 5 とTRBC 2 * 0 1 のエキソン 1 の残基 1 5 とTRBC 2 * 0 1 のエキソン 1 の残基 1 5 との間の新規ジスルフィド鎖間結合を含む可溶性A6 TCRの陰イオン交換クロマトグラフィから得られたトレースである。

【図62】図62は、点線で示した0~500mMのNaC1勾配を用いたPOROS 5 0 カラムからのタンパク質溶出を示す、それぞれTRAC * 0 1 のエキソン 1 の残基 4 8 と TRBC 2 * 0 1 のエキソン 1 の残基 5 7 との間、TRAC * 0 1 のエキソン 1 の残基 4 5 とTRBC 2 * 0 1 のエキソン 1 の残基 7 7 との間、TRAC * 0 1 のエキソン 1 の残基 1 0 とTRBC 2 * 0 1 のエキソン 1 の残基 1 7 との間、TRAC * 0 1 のエキソン 1 の残基 4 5 とTRBC 2 * 0 1 のエキソン 1 の残基 5 9 との間、TRAC * 0 1 のエキソン 1 の残基 5 2 とTRBC 2 * 0 1 のエキソン 1 の残基 5 5 との間、TRAC * 0 1 のエキソン 1 の残基 1 5 とTRBC 2 * 0 1 のエキソン 1 の残基 5 5 との間、TRAC * 0 1 のエキソン 1 の残基 1 5 とTRBC 2 * 0 1 のエキソ 2 1 の残基 1 5 との間の新規ジスルフィド鎖間結合を含む可溶性A6 TCRの陰イオン交換クロマトグラフィから得られたトレースである。

【図63】図63は、点線で示した0~500mMのNaCl勾配を用いたPOROS 50カラムからのタンパク質溶出を示す、それぞれTRAC * 01のエキソン1の残基48とTRBC2 * 01のエキソン1の残基57との間、TRAC * 01のエキソン1の残基45とTRBC2 * 01のエキソン1の残基77との間、TRAC * 01のエキソン1の残基10とTRBC2 * 01のエキソン1の残基17との間、TRAC * 01のエキソン1の残基45とTRBC2 * 01のエキソン1の残基59との間、TRAC * 01のエキソン1の残基52とTRBC2 * 01のエキソン1の残基59との間、TRAC * 01のエキソン1の残基52とTRBC2 * 01のエキソン1の残基55との間、TRAC * 01のエキソン1の残基15とTRBC2 * 01のエキソン1の残基15との間の新規ジスルフィド鎖間結合を含む可溶性A6TCRの陰イオン交換クロマトグラフィから得られたトレースである。

【図 6 4 】図 6 4 は、点線で示した 0 ~ 5 0 0 m M の N a C 1 勾配を用いた P O R O S 5 0 カラムからのタンパク質溶出を示す、それぞれTRAC * 0 1 のエキソン 1 の残基 4 8 と TRBC 2 * 0 1 のエキソン 1 の残基 5 7 との間、TRAC * 0 1 のエキソン 1 の残基 4 5 とTRBC 2 * 0 1 のエキソン 1 の残基 7 7 との間、TRAC * 0 1 のエキソン 1 の残基 1 0 とTRBC 2 * 0 1 のエキソン 1 の残基 1 7 との間、TRAC * 0 1 のエキソン 1 の残基 4 5 とTRBC 2 * 0 1 のエキソン 1 の残基 5 9 との間、TRAC * 0 1 のエキソン 1 の残基 5 2 とTRBC 2 * 0 1 のエキソン 1 の残基 5 5 との間、TRAC * 0 1 のエキソン 1 の残基 1 5 とTRBC 2 * 0 1 のエキソン 1 の残基 1 5 との間の新規ジスルフィド鎖間結合を含む可溶性A6 TCRの陰イオン交換クロマトグラフィから得られたトレースである。

【図65】図65a及び65bは、TRAC*01のエキソン1の残基48とTRBC2*01の エキソン1の残基57との間の新規ジスルフィド鎖間結合を含む可溶性A6 TCRのそれぞれ 還元及び非還元SDS-PAGE(クーマシー染色)を示す図である。画分を図59の陰 イオン交換カラム分析から収集した。

【図 6 6 】図 6 6 a 及び 6 6 b は、TRAC * 0 1 のエキソン 1 の残基 4 5 とTRBC 2 * 0 1 のエキソン 1 の残基 7 7 との間の新規ジスルフィド鎖間結合を含む可溶性A6 TCRのそれぞれ 還元及び非還元 S D S - P A G E (クーマシー染色)を示す図である。画分を図 6 0 の陰イオン交換カラム分析から収集した。

【図 6 7 】図 6 7 a 及び 6 7 b は、TRAC * 0 1 のエキソン 1 の残基 1 0 とTRBC 2 * 0 1 の

エキソン1の残基17との間の新規ジスルフィド鎖間結合を含む可溶性A6 TCRのそれぞれ 還元及び非還元SDS-PAGE (クーマシー染色)を示す図である。画分を図61の陰イオン交換カラム分析から収集した。

【図 6 8 】図 6 8 a 及び 6 8 b は、TRAC * 0 1 のエキソン 1 の残基 4 5 とTRBC 2 * 0 1 のエキソン 1 の残基 5 9 との間の新規ジスルフィド鎖間結合を含む可溶性A6 TCRのそれぞれ 還元及び非還元 S D S - P A G E (クーマシー染色)を示す図である。画分を図 6 2 の陰イオン交換カラム分析から収集した。

【図 6 9 】図 6 9 a 及び 6 9 b は、TRAC * 0 1 のエキソン 1 の残基 5 2 とTRBC 2 * 0 1 のエキソン 1 の残基 5 5 との間の新規ジスルフィド鎖間結合を含む可溶性A6 TCRのそれぞれ 還元及び非還元 S D S - P A G E (クーマシー染色)を示す図である。画分を図 6 3 の陰イオン交換カラム分析から収集した。

【図70】図70a及び70bは、TRAC*01のエキソン1の残基15とTRBC2*01の エキソン1の残基15との間の新規ジスルフィド鎖間結合を含む可溶性A6 TCRのそれぞれ 還元及び非還元SDS-PAGE(クーマシー染色)を示す図である。画分を図64の陰 イオン交換カラム分析から収集した。

【図71】図71は、Superdex 200 H L ゲルろ過カラムからのタンパク質溶出を示す、TRAC * 01のエキソン1の残基48とTRBC 2 * 01のエキソン1の残基57との間の新規ジスルフィド鎖間結合を含む可溶性A6 TCRのサイズ排除クロマトグラフィから得られたトレースである。画分を図59の陰イオン交換カラム分析から収集した。

【図72】図72は、Superdex 200 HLゲルろ過カラムからのタンパク質溶出を示す、TRAC*01のエキソン1の残基45とTRBC2*01のエキソン1の残基77との間の新規ジスルフィド鎖間結合を含む可溶性A6 TCRのサイズ排除クロマトグラフィから得られたトレースである。画分を図60の陰イオン交換カラム分析から収集した。

【図 7 3 】図 7 3 は、Superdex 2 0 0 H L ゲルろ過カラムからのタンパク質溶出を示す、TRAC * 0 1 のエキソン 1 の残基 1 0 とTRBC 2 * 0 1 のエキソン 1 の残基 1 7 との間の新規ジスルフィド鎖間結合を含む可溶性A6 TCRのサイズ排除クロマトグラフィから得られたトレースである。画分を図 6 1 の陰イオン交換カラム分析から収集した。

【図74】図74は、Superdex 200 H L ゲルろ過カラムからのタンパク質溶出を示す、TRAC * 01のエキソン1の残基45とTRBC2 * 01のエキソン1の残基59との間の新規ジスルフィド鎖間結合を含む可溶性A6 TCRのサイズ排除クロマトグラフィから得られたトレースである。画分を図62の陰イオン交換カラム分析から収集した。

【図 7 5 】図 7 5 は、Superdex 2 0 0 H L ゲルろ過カラムからのタンパク質溶出を示す、TRAC * 0 1 のエキソン 1 の残基 5 2 とTRBC 2 * 0 1 のエキソン 1 の残基 5 5 との間の新規ジスルフィド鎖間結合を含む可溶性A6 TCRのサイズ排除クロマトグラフィから得られたトレースである。画分を図 6 3 の陰イオン交換カラム分析から収集した。

【図 7 6 】図 7 6 は、Superdex 2 0 0 H L ゲルろ過カラムからのタンパク質溶出を示す、TRAC * 0 1 のエキソン 1 の残基 1 5 とTRBC 2 * 0 1 のエキソン 1 の残基 1 5 との間の新規ジスルフィド鎖間結合を含む可溶性A6 TCRのサイズ排除クロマトグラフィから得られたトレースである。画分を図 6 4 の陰イオン交換カラム分析から収集した。

【図77】図77は、HLA-A2-tax pMHCに対する、それぞれTRAC*01のエキソン1の残基48とTRBC2*01のエキソン1の残基57との間、TRAC*01のエキソン1の残基45とTRBC2*01のエキソン1の残基77との間、TRAC*01のエキソン1の残基10とTRBC2*01のエキソン1の残基17との間、及びTRAC*01のエキソン1の残基45とTRBC2*01のエキソン1の残基59との間の新規ジスルフィド鎖間結合を含む可溶性A6 TCRの結合を示すBIAcore応答曲線である。

【図78】図78は、HLA-A2-tax pMHCに対する、それぞれTRAC*01の エキソン1の残基48とTRBC2*01のエキソン1の残基57との間、TRAC*01のエキ ソン1の残基45とTRBC2*01のエキソン1の残基77との間、TRAC*01のエキソン 1の残基10とTRBC2*01のエキソン1の残基17との間、及びTRAC*01のエキソン 1の残基45とTRBC2*01のエキソン1の残基59との間の新規ジスルフィド鎖間結合 10

20

30

40

を含む可溶性A6 TCRの結合を示すBIAcore応答曲線である。

【図79】図79は、HLA-A2-tax pMHCに対する、それぞれTRAC^{*} 01のエキソン1の残基48とTRBC 2 ^{*} 01のエキソン1の残基57との間、TRAC^{*} 01のエキソン1の残基17との間、TRAC^{*} 01のエキソン1の残基17との間、TRAC^{*} 01のエキソン1の残基17との間、及びTRAC^{*} 01のエキソン1の残基17との間、及びTRAC^{*} 01のエキソン1の残基17との間の新規ジスルフィド鎖間結合を含む可溶性A6 TCRの結合を示すBIAcore応答曲線である。

【図80】図80は、HLA-A2-tax pMHCに対する、それぞれTRAC*01のエキソン1の残基48とTRBC2*01のエキソン1の残基57との間、TRAC*01のエキソン1の残基45とTRBC2*01のエキソン1の残基77との間、TRAC*01のエキソン1の残基10とTRBC2*01のエキソン1の残基17との間、及びTRAC*01のエキソン1の残基45とTRBC2*01のエキソン1の残基59との間の新規ジスルフィド鎖間結合を含む可溶性A6 TCRの結合を示すBIAcore応答曲線である。

【図81】図81は、HLA-A2-tax及びHLA-A2-NY-ESO pMHCに対する、TRAC * 01のエキソン1の残基52とTRBC2 * 01のエキソン1の残基55との間の新規ジスルフィド鎖間結合を含む可溶性A6 TCRの非特異的結合を示すBIAcoreトレースである。

【図82】図82は、HLA-A2-tax pMHCに対する、TRAC*01のエキソン1の残基15とTRBC2*01のエキソン1の残基15との間の新規ジスルフィド鎖間結合を含む可溶性A6 TCRの結合を示すBIAcore応答曲線である。

【図83】図83aは、1BD2配列を含むモデルの周囲の電子密度地図である(鎖AThr164、鎖B Ser 174)。地図には、1.0、2.0及び3.0 の等高線が記されている。図83bは、2つの位置A164及びB174においてCysで改良(refinement)した後の電子密度地図である。この地図も、図83aと同じレベルで等高線が記されている。

【図84】図84は、1BD2 TCRの構造を本発明のNY-ESO TCRの構造と、リボン表示及びコイル表示で前記各構造を重ね合わせることによって比較した図である。

【図85】図85a及び85bは、ビオチン認識部位が導入されたNY-ESO TCRの 鎖のそれぞれDNA配列及びアミノ酸配列である。ビオチン認識部位を強調して示す。

【図86】図86a及び86bは、ヘキサ・ヒスチジンタグを導入したNY-ESO TCRの 鎖のそれぞれDNA配列及びアミノ酸配列である。ヘキサ・ヒスチジンタグを強調して示す

【図87】図87は、点線で示した0~500mMのNaCl勾配を用いたPOROS 50HQ陰イオン交換カラムからの新規ジスルフィド結合及びビオチン認識配列を含む可溶性NY-ESO TCRの溶出を示すグラフである。

【図88】図88は、点線で示した0~500mMのNaC1勾配を用いたPOROS 50HQ陰イオン交換カラムからの新規ジスルフィド結合及びヘキサ・ヒスチジンタグを含む可溶性 NY-ESO TCRの溶出を示すグラフである。

【図89】図89は、図87に示したNY-ESO-ビオチンタグ付き陰イオン交換カラム分析からプールされた画分のゲルろ過クロマトグラフィによるタンパク質溶出プロファイルである。

【図90】図90は、図88に示したNY-ESO-ヘキサ・ヒスチジンタグ付き陰イオン交換カラム分析からプールされた画分のゲルろ過クロマトグラフィによるタンパク質溶出プロファイルである。

【図91-1】図91a~hは、それぞれ以下の濃度のNY-ESOペプチド及び蛍光NY-ESO TCR四量体と共にインキュベートしたHLA-A2陽性EBV形質転換B細胞系(PPLCL)を25,000回測定して得られた染色強度を示すFACSヒストグラムである。NYESO 0 TCR 5 μ g、NYESO 10 $^{-6}$ M TCR 10 μ g、NYESO 10 $^{-6}$ M

10

20

30

40

TCR 10 µg.

【図91-2】図91-1の説明に同じ。

【図91-3】図91-1の説明に同じ。

【 図 9 2 】 図 9 2 は、TRBC 1 * 0 1 定常領域が組み込まれたA6 TCRのベータ鎖の D N A 配列である。

【図93】図93は、点線で示した0~500mMのNaC1勾配を用いたPOROS 50HQカラムからのタンパク質溶出を示した、TRBC1 * 01定常領域が組み込まれた可溶性A6 TCRの陰イオン交換クロマトグラフィのトレースである。

【図94】図94-A.図93に示したカラム分析画分の還元SDS-PAGE(クーマシー染色)を示す図である。B.図93に示したカラム分析画分の非還元SDS-PAGE(クーマシー染色)を示す図である。

【図95】図95は、図93のピーク2からプールされた画分のサイズ排除クロマトグラフィを示すグラフである。ピーク1は、鎖間ジスルフィド連結されたTCRへテロダイマーを含む。

【図96】図96-A.HLA-Flu複合体に対するジスルフィド連結A6可溶性TCRの特異的結合のBIAcore分析結果を示すグラフである。B.ジスルフィド連結A6可溶性TCRの単回投与の対照と比較した結合応答を示すグラフである。

【図97】図97は、「フリーの」システインが組み込まれたA6 TCRの突然変異ベータ鎖の核酸配列である。

【図98】図98は、点線で示した0~500mMのNaCl勾配を用いたPOROS 50HQカラムからのタンパク質溶出を示す、「フリーの」システインが組み込まれた可溶性A6 TCRの陰イオン交換クロマトグラフィを示すグラフである。

【図99】図99-A.図98に示したカラム分析画分の還元SDS-PAGE(クーマシー染色)を示す図である。B.図98に示したカラム分析画分の非還元SDS-PAGE(クーマシー染色)を示す図である。

【図100】図100は、図98のピーク2からプールされた画分のサイズ排除クロマトグラフィを示す図である。ピーク1は、鎖間ジスルフィド連結されたTCRヘテロダイマーを含む。

【図101】図101-A.HLA-F1u複合体に「フリーの」システインが組み込まれたジスルフィド連結A6可溶性TCRの特異的結合のBIAcore分析結果を示すグラフである。B.ジスルフィド連結A6可溶性TCRの単回投与の対照と比較した結合応答を示すグラフである。

【図102】図102は、「フリーの」システインが突然変異したセリン残基が組み込まれたA6 TCRの突然変異ベータ鎖の核酸配列である。

【図103】図103は、点線で示した0~500mMのNaC1勾配を用いたPOROS 50 HQカラムからのタンパク質溶出を示す、「フリーの」システインが突然変異したセリン残基が組み込まれた可溶性A6 TCRの陰イオン交換クロマトグラフィを示すグラフである。

【図104】図104-A.図103に示したカラム分析画分の還元SDS-PAGE(クーマシー染色)を示す図である。B.図103に示したカラム分析画分の非還元SDS-PAGE(クーマシー染色)を示す図である。ピーク2が、鎖間ジスルフィド連結されたTCRへテロダイマーを含んでいることは明らかである。

【図105】図105は、図103のピーク2からプールされた画分のサイズ排除クロマトグラフィを示すグラフである。ピーク1は、鎖間ジスルフィド連結されたTCRへテロダイマーを含む。

【図106】図106-A.「フリーの」システインが突然変異したセリン残基が組み込まれたジスルフィド連結A6可溶性TCRのHLA-Flu複合体に対する特異的結合のBIA core分析結果を示すグラフである。B.ジスルフィド連結A6可溶性TCRの単回投与の対照と比較した結合応答を示すグラフである。

【図107-1】図107は、pYX112のヌクレオチド配列である。

【図107-2】図107-1の説明に同じ。

10

30

20

【図108-1】図108は、pYX122のヌクレオチド配列である。

【図108-2】図107-1の説明に同じ。

【図109】図109は、TCR 鎖に融合したプレプロ 接合因子のDNA配列及びタンパク質配列である。

【図110】図110は、TCR 鎖に融合したプレプロ 接合因子のDNA配列及びタンパク質配列である。

【図111】図111は、S.cerevisiae菌株SEY6210において発現される可溶性TCRのウェスタンブロットの写真である。レーンCは、対照として精製可溶性NY-ESO TCR 60ngを含む。レーン1及び2は、2つの別個のTCR形質転換酵母培養物から収集したタンパク質を含む。

【図112】図112は、pEX172プラスミドのKpnI~EcoRI挿入断片の核酸配列である。プラスミドの残部は、pBlueScript II KS-である。

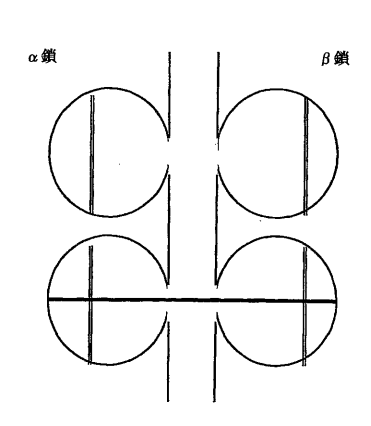
【図113】図113は、バキュロウイルスにクローニングするためのTCR鎖の概略図である。

【図114】図114は、pAcAB3発現プラスミドに挿入するためのBamHI挿入 断片としてのジスルフィドA6 TCR構築物の核酸配列である。

【図 1 1 5 】図 1 1 5 は、 p A c A B 3 発現プラスミドに挿入するための B a m H I 挿入 断片としてのジスルフィド A 6 TCR構築物を示す図である。

【図116】図116は、細菌によって産生されたジスルフィドA6 TCR及び昆虫ジスルフィドA6 TCRに対するクーマシー染色ゲル及びウェスタンブロットを示す写真である。

【図1】





【図2】

Figure 2a

Figure 2b

10

【図3】

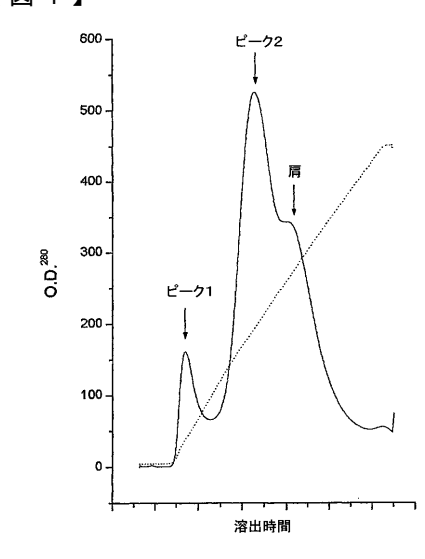
Figure 3a

MQ K.EVEGNSGPL SVPEGAIASL NCTYSDRGSQ SFFWYRQYSG KSPELIMSIY SNGDKEDGRF TAQLNKASQY VSLLIRDSQP SDSATYLCAV TTDSWGKLQF GAGTQVVVTP DIQNPDPAVY QLRDSKSSDK SVCLFTDFDS QTMVSQSKDS DVYITDKCYL DWRSMDFKSN SAVAWSNKSD FACANAFNNS LIPEDTFPES PESS*

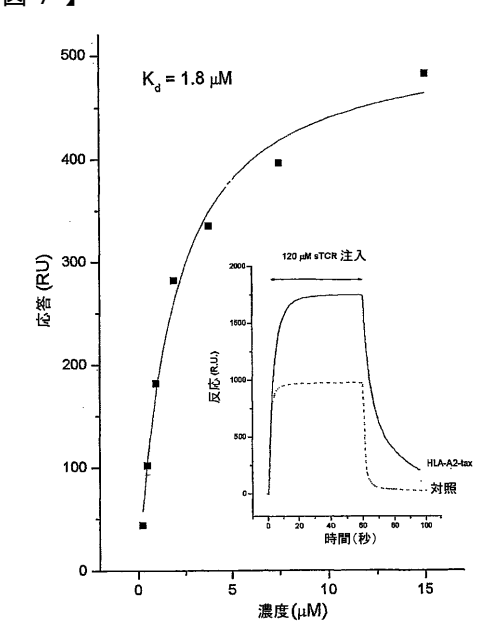
Figure 3b

M
NAGVTOTPKF QVLKTGOSMT LQCAQDMNHE YMSWYRQDPG MGLRLIHYSV
GAGITDQGEV PNGYNVSRST TEDFPLRILS AAPSQTSVYF CASRPGLAGG
RPBQYFGPGT RLTVTEDLKN VFPPEVAVFE PSEAEISHTQ KATLVCLATG
FYPDHVELSW WVNGKEVHSG VCTDPQPLKE QPALNDSKYA LSSRLKVSAT
FWQDFRNHFR CQVQFYGLSE NDEWTQDRAK PVTQIVSAEA WGRAD*

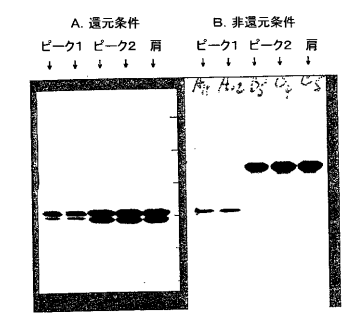
【図4】



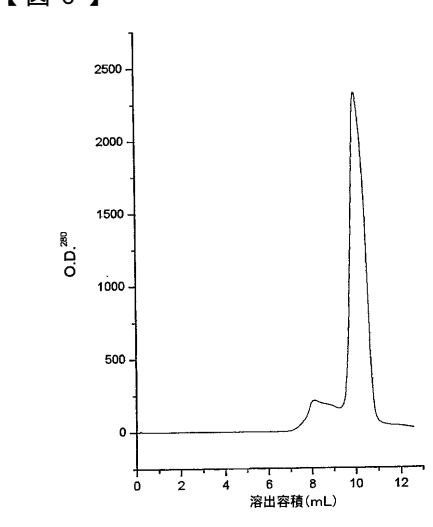
【図7】



【図5】



【図6】



【図8】

Figure 8a

Figure 8b

Figure 8c

【図9】

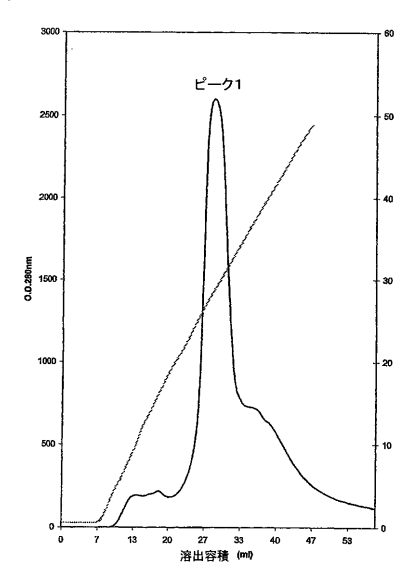
Figure 9a

MQLLEQSPQFLSIQEGENLTVYCNSSSVFSSLQWYRQEP GEGPVLLVTVVTGGEVKKLKRLTFQFGDARKDSSLHIT AAQPGDTGLYLCAGAGSQGNLIFGKGTKLSVKPNIQNP DPAVYQLRDSKSSDKSVCLFTDFDSQTNVSQSKDSDVY ITDKCVLDMRSMDFKSNSAVAWSNKSDFACANAFNNSI IFEDTFFFSFESSØH

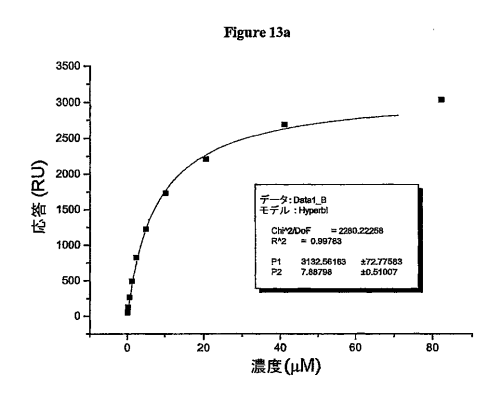
Figure 9b

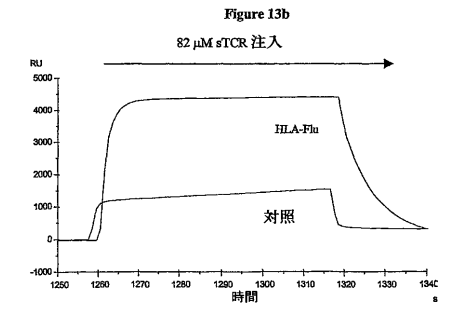
MVDGGITQSPKYLFRKEGQNVTLSCEQNLNHDAMYWY RQDPGQGLRLIYYSQIVNDFQKGDIAEGYSVSREKKESF PLTVTSAQKNPTAFYLCASSSRSSYEQYFGPGTRLTVTE DLKNVFPPEVAVPEPSEABISHTQKATLVCLATGFYPDH VELSWWVNGKEVHSGYCTDPQPLKEQPALNDSRYSLSS RLRYSATEWQNPRNHFRCQVQFYGLSENDEWTQDRAK PVTQIVSAEAWGRAD停止

【図10】

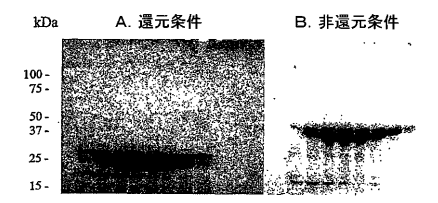


【図13】

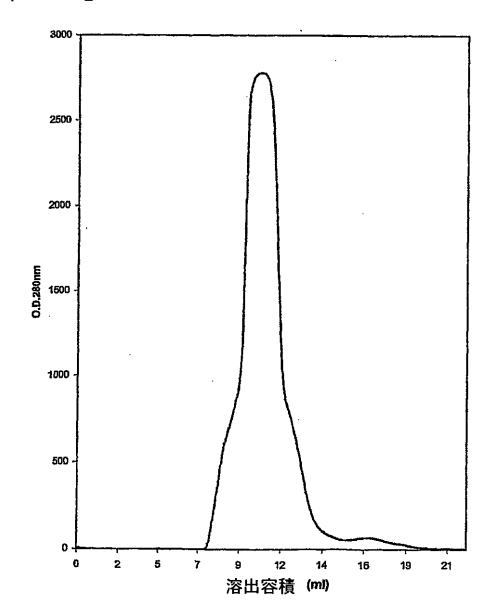




【図11】



【図12】



【図14】

Figure 14a

Figure 14b

【図15】

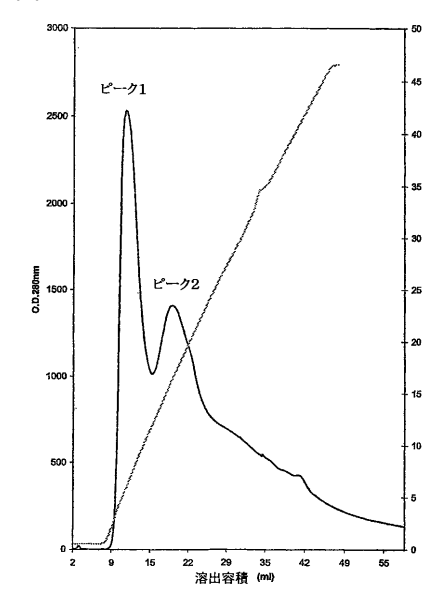
Figure 15a

MQEXTQIPAALSVPEGBNLVLNCSFTDSAIYNLQWFRQ DPGKGLTSLLLIQSSQREQTSGRLNASLDKSSGRSTLYI AASQPGDSATYLCAVRPTSGGSYIPTFGRGTSLIVHPYI QNPDPAVYQLRDSKSSDKSVCLFTDFDSQTNVSQSKDS DVYITDKCVLDMRSMDFKSNSAVAWSNKSDFACANAF NNSIIPEDTFFPSPESS停止

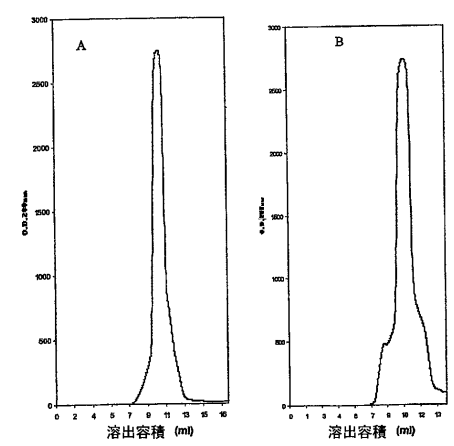
Figure 15b

MGVTQTPKFQVLKTGQSMTLQCAQDMNHEYMSWYRQDFGMetGLRLIHYSVGAGITDQGEVPNGYNVSRSTTEDFPLRLLSAAPSQTSVYFCASSYVGNTGELFFGEGSRLTVLEDLKNVFPPEVAVFEPSEABISHTQKATLVCLATGFYPDHVBLSWWVNGKEVHSGVCTDPQPLKEQPALNDSRYALSRLRVSATFWQDPRNHFRCQVQFYGLSENDEWTQDRAKPVTQIVSAEAWGRAD#E

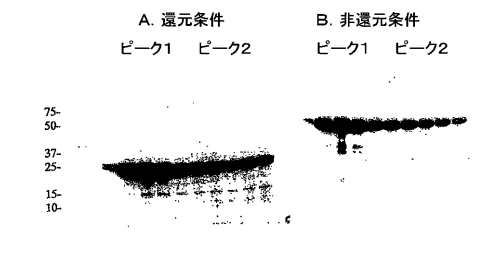
【図16】



【図18】



【図17】



【図19】

Figure 19a

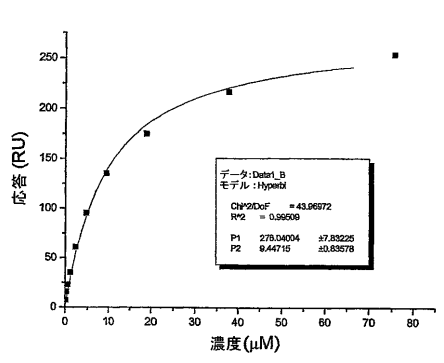
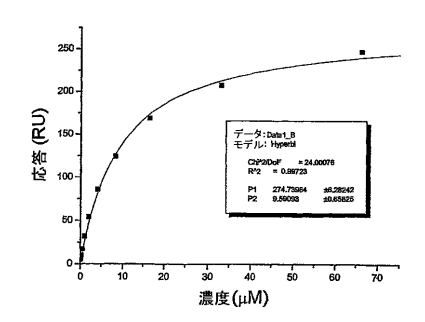


Figure 19b



【図20】

Figure 20a

atgcaggaggygacacagattcctgcagctctgagtgtcccagaaggagaaaacttgg

Figure 20b

aangtigttocoaccegaggtogctgtttgagccatcagaagcagaggtoccaca ccaaaaaggcoacactggtgtgcotggcoacaggcttotacccgaccacgtgaggct gagctggtggtgaatgggaaggaggtgcacagtggggt tetoggcoacettetggoaggaccccgcgcaaccaettecgetgtcaagtccagtteta egggeteteggagaatgacgagtggacccaggataggccaaacccgtcaacccagatc gtcagcgccgaggcctggggtagagcagactgttaa

【図21】

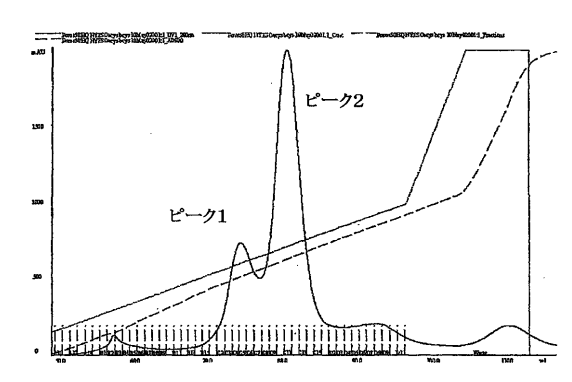
Figure 21a

MQEXTQIPAALSVPEGENLVLNCSFTDSAIYNLQWFRQ DPGKGLTSLLLIQSSQREQTSGRLNASLDKSSGRSTLYI AASQPGDSATYLCAVRPTSGGSYIPTFGRGTSLIVHPYI QNPDPAVYQLRDSKSSDKSVCLFTDFDSQTNVSQSKDS DVYITDKCVLDMRSMDFKSNSAVAWSNKSDFACANAF NNSIIPEDTFFPSPESSC停止

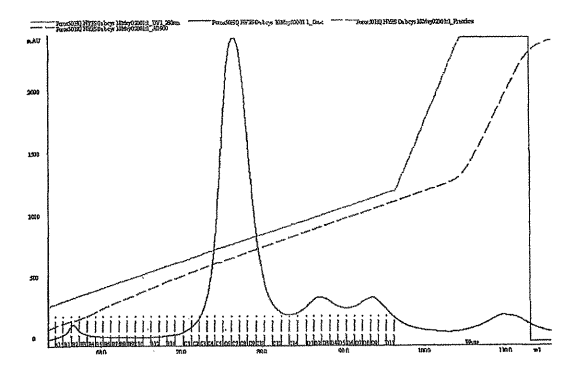
Figure 21b

MGVTQTPKFQVLKTGQSMTLQCAQDMNHEYMSWYRQ DPGMGLRLIHYSVGAGITDQGEVPNGYNVSRSTTEDFF LRLLSAAPSQTSVYFCASSYVGNTGBLFFGEGSRLTVLE DLKNVPPPEVAVFEPSBAEISHTQKATLVCLATGFYPDH VELSWWVNGKEVHSGVCTDPQPLKEQPALNDSRYALSS RLRVSATFWQDPFNHFRCQVQFYGLSENDEWTQDRAK PVTQIVSAEAWGRADC停止

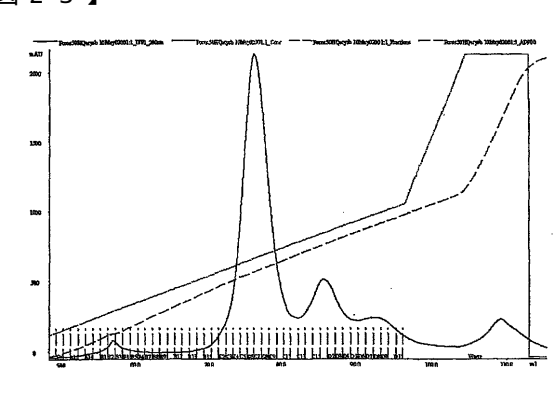




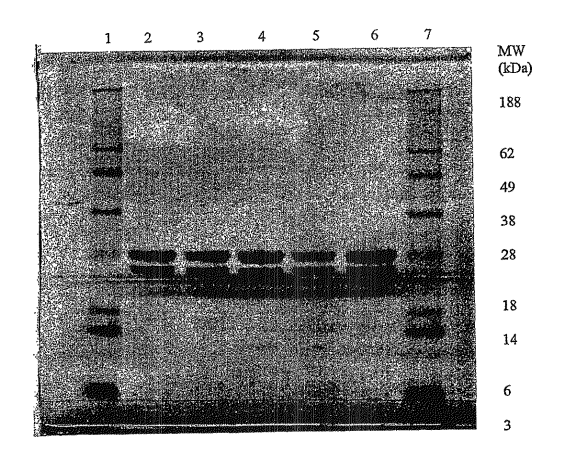
【図24】



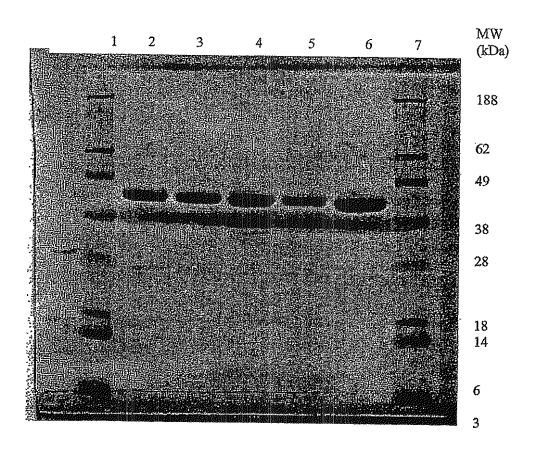
【図23】



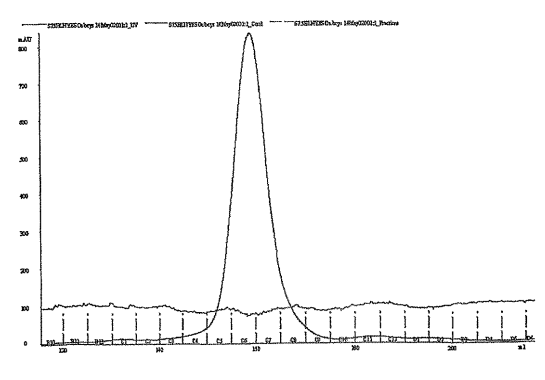
【図25】



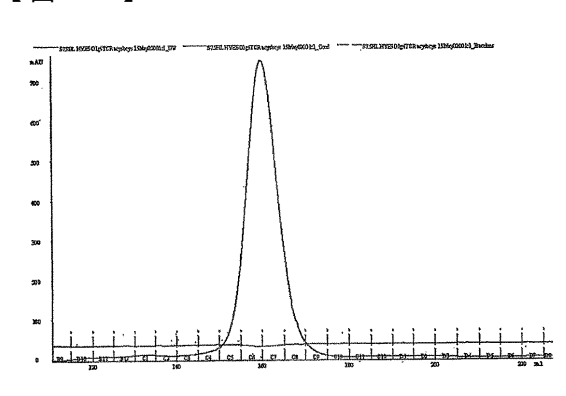
【図26】



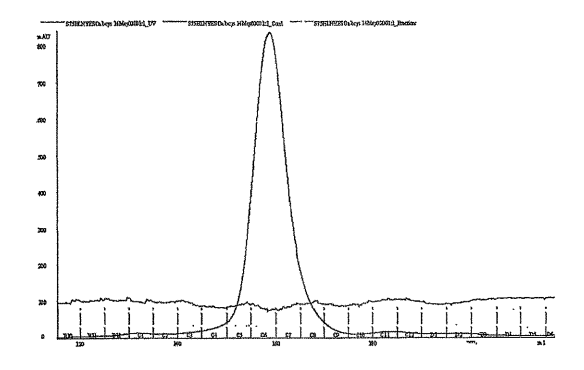
【図28】

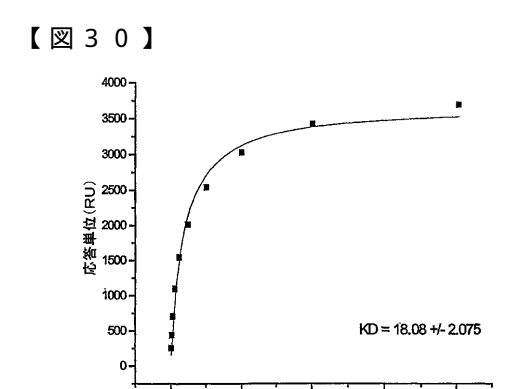


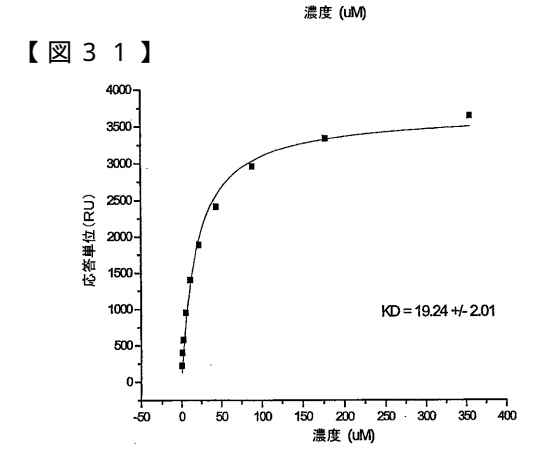
【図27】



【図29】







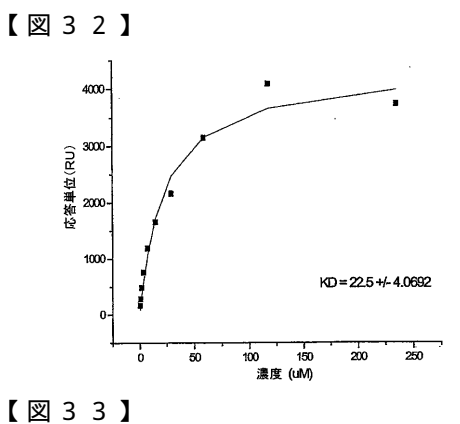


Figure 33a atgaaggaggtggagcagaattctggacccctcagtgttccagagggagccattg cctctccaactgcacttacagtgaccgaggttcccagtccttcttctggtacag acaatattctgggaaaagcctgagttgataatgttcatatactccaatggtacc aaagaagatggaaggtttacagagtgatagttcatagtcactcttgtgccgtgaa aggggggtctgggggttaccggaggttaccagctactactctgtgccgtgaa ggggggtctgggggttaccagaagttacttaccttggacctgaactcaa gtcatcccaaatatccagaacccggatcctgccgtgtaccagctgagagactcta atcccaagtacaagtatgtctcattcaccgatttgattctgatccaacaatg gtcacaagtaaaggattctgatgtgtatatcacagacaagtgtgtacaaagtgtcaa ggtcataggacttcaagacaagtgctgtgcgtggcctggagcaacaaatctgact ttgcatgtgcaaagccttcaacaacagcattattccagaagaaacatctgact cagcccagaaagttcctaa

【図34】

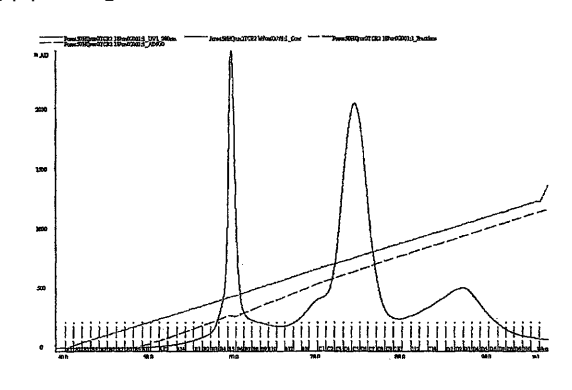
Figure 34a

MKEVEQNSGPLSVPEGAIASLNCTYSDRGSQSFFWYRQYS GKSPELIMFIYSNGDKEDGRFTAQLNKASQYVSLLIRDSQP SDSATYLCAVKGGSGGYQKVTFGTGTKLQVIPNIQNPDPA VYQLRDSKSSDKSVCLFTDFDSQTNVSQSKDSDVYITDKC VLDMRSMDFKSNSAVAWSNKSDFACANAFNNSIIPEDTFF PSFESS停止

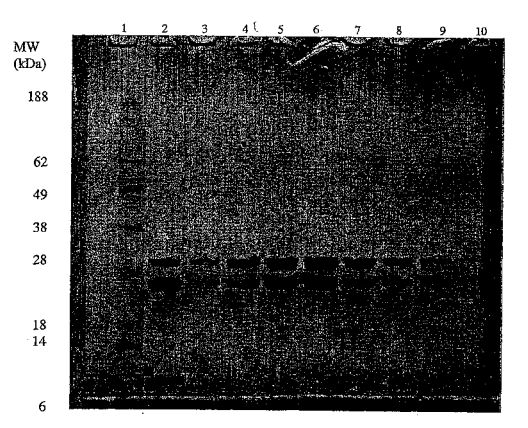
Figure 34b

MGVMQNPRHLVRRRGQEARLRCSPMKGHSHVYWYRQLP EEGLKFMVYLQKENIIDESGMPKERFSAEFPKEGPSILRIQ QVVRGDSAAYFCASSPQTGGTDTQYFGPGTRLTVLEDLKN VFPPEVAYFEPSEAEISHTQKATLVCLATGFYPDHVELSW WVNGKEVHSGVCTDPQPLKEQPALNDSRYALSSRLRVSAT FWQDPRNHFRCQVQFYGLSENDEWTQDRAKPVTQIVSAE AWGRAD 停止

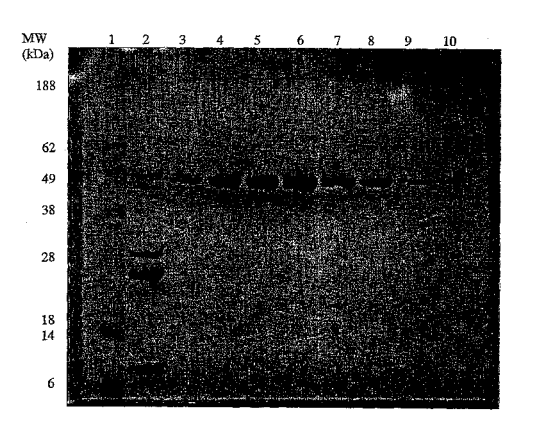
【図35】



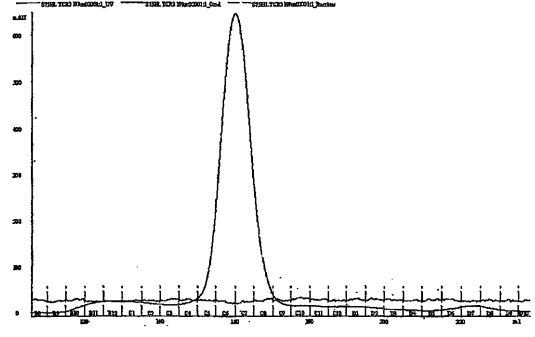
【図36】



【図37】



【図38】



【図39】

Figure 39a - T48→C α ∰

Figure 39b – T48→C α ∰

MQ K,EWEONSGPL SVENGALASL NCTYSDRGSQ SFFWYRQYSG KSPELIMSIY SNGDKEDGRF TAQLNKASQY VSLLIEDSQP SDSATYLCAV TYDSMCKLQF GAGTQVVVYP DIQMEDDAVY QLEDSKSSUK SYCLFYDDS QYNVSGSKOS DVYITDK<u>U</u>VL DMRSMDFKSN SAVAMSNKSD FACANAFNES LIPEDTEFS PESS*

【図42】

Figure 42a ~ L50→ Cα鎖DNA配列

Figure 42b – L50→C a 鎖アミノ酸配列

MO K,KVEQNSGPL SVPEGAIASL NCTYSDRGSQ SFFWYRQYSG KSPELIMSIY SNGDKEDGRF TAQINKASQY VSLLIRDSQP SDSATYLCAV TIDSWGKLQF GAGTQUVUTP DIQNPDPAYY QLRDSKSSDK SVCLIFIDFDS QTNVSQSKDS DVYIIDKIVC DMRSMDFKSN SAVAMSNKSD FACAMARNNS IIFEITFFPS PESS*

【図43】

Figure 43a – Y10→C α 鎖

Figure 43b – Y10→C α 鎖

MQ K,EVEQNSGPL SVPEGAIASL NCTYSDRGSQ SFFWYRQYSG KSPELIMSIY SNGDKEDGRF TAQLINKASQY VSLLIRDSQP SDSATYLCAV TIDSWGKLQF GAGTQVVVTP DIGWPDFAVC QLEDSKSDK SVCLFTDFDS CHINVSGKDS DYIITDKTVL DMRSMDFKSN SAVAWSNKSD FACANAFNNS IIPEDTFFFS PESS*

【図40】

Figure 40a - T45→ Cα鎖DNA配列

Figure 40b – T45→ C α 鎖アミノ酸配列

NU K,EVEQNSGPL SVPEGALASL NCTYSDRGSQ SPFWYRQYSG KSPELIMSIY SNGDKEDGRE TAQLNKASQY VSLLIRDSQE SDBATYLCAV TTDSWGKLCF GAGTQVVVTP DIQNFDBAVY QLRDSKSSDK SVCLFTDFDS QTNVSQSKDS DVYICDKTVL DWRSMDFKSN SAVAWSNKSD FACAMAENNS IIDEDTFFES FESS*

【図41】

Figure 41a – S61→ Cα鎖DNA配列

Figure 41b - S61→ C a 鎖アミノ酸配列

MQ
K_BVEQNSGPL SVPEGALASL NCTYSDRGSQ SFFWYRQYSG KSPELIMSIY
SNGDKEDGRF TAQLNKASQY VSLLIRDSQP SDSATYLCAV TTDSWGKLQF
GAGTQVVVTP DIQWPDPAVY GLDEKSSDK SVCLFTDFDS GTWVSGXDS
SVTITDKYLL DMRSMDFKSN CAVAMSMINSD FACAMARINS IIPEDIFFPS PSSS*

【図44】

Figure 44a – S15→C α 鎖

Figure 44b - S15→C α ∰

KEVEQNSGPL SVPEGAIASL NCTYSDRGSQ SFFWYRQYSG KSPELIMSIY SNGDKBOGRF TAQLNKASQY VSLLIKDSQP SDSATYLCAV TTDSWGKLQF GAGTQVVVTP DIQNPDPAVY QLRDCKSSDK SVCLFTDFDS QTNVSQSKDS DVYITDKTVI DWRSMDFKSN SAVAWSNKSD FACANAFNNS IIFBTFFFPS PRSS*

【図45】

Figure 45a – L12→C α ∰

Figure 45b – L12→C α 鎖

NU K,EVEGNSGPI SVPEGAIASL NCTYSDRGSQ SFFWYRQYSG KSPELIMSIY SNGDKEDGRF TAQINKASQY VSLLIKDSQP SDSATYILCAV TTDSWGKLQF GAGTQVVVTP DIQNPDPAVY QCEDSKSSDK SVCLFPDFDS QTRVSQSKDS DVIITHKTVL DWRENDFKSN SAVAWSNKSD FACANAFNNS IIPEDTFFPS PESS*

【図46】

Figure 46a - V22→Cα鎖

Figure 46b - V22→C a 鎖

MQ K,EVEGNSGPL SVPEGAIASI NCTYSDRGSQ SFFWYRQYSG KSPELIMSIY SNCDKRDGRF TAGIMKASQY VSILIRDSQP SDSATYLCAV TIDSWGKLQF GAGTQVVVTP DIQMPDPAVY QLRDSKSSDK SÄCLFIDFDS QTNVSQKDS DVYIIDKTVL DWRSMDFKSN SAVANSKKSD FACANAFNNS IIFETFFPS PESS*

【図47】

Figure 47a - M52→C α 鎖

Figure 47b – M52→Cα鎖

MQ K_EVEQNSGPL SVPEGALSI NCTYSDRGSQ SFFWYRQYSG KSPELIMSIY SWADKEDGRF TAQLNKASGY VSLLIRDSQP SDSATYLCAV TTDSWGKLQF GAGTQVVVTP DIQMPDPAVY QLEDEKSSDK SVCLFTDFDS QTNVSQSKDS DVYITDKTVL DCRSMDFKSN SAVAWSNKSD FACANAFNNS IIPEDTFFPS PESS*

【図50】

Figure 50a – Ser77 \rightarrow C β 鎖

Figure 50b Ser77 \rightarrow C β 鎖

M
M,AGVTQTPKF QVLKTGGSMT LQCAQDMNHE YMSWYRQDFG MGLRLIHYSV
GAGITDGSV PRGYNWSRST TEDPPLKLLS AAPEGYSVYF CASRFGLAGG
FREDVYRGGT KLTVTENLAM VPPFEVAVPS PSHAELSHTO KATLVCLANTG
FYTDEVELSH WUNGKWYSG VSTDPGLKS QPALNDSKYA LGSKLKVSAT
FWODFRHHET CQVOFKGLSG NDSHYDGRAK PYTQIVSKAS MGRAD+

【図51】

Figure 51a – Ser17 \rightarrow C β 鎖

Figure 51b Ser17→Cβ鎖

M
M,AGVTOTPKP QVIKTGGSMT LQCAQDMNHE YMSWYRQDEG MGLRLHYSV
GAGTTDQGEV PRGYNWSRET TEDFPLRILS AAPSQTSVYF CASRFGLAGG
RPSQYRGPGT RLTVTRDLKN VSPPEYAVFE PCRAEISHT KATLVCLATG
FYPDHVELSH WUNGKEWHGG VSTDOPGLKE QFALNDSKYA LSGRLKWSAT
FWQDFRNHFR CQVQFYGLSE NDEWTQDRAK PVTQIVSAEA WGRAD*

【図48】

Figure 48a - Y43→C α ∰

Figure 48b – Y43→C α 鎖

KEVEGNSGPL SVPEGAIASL NCTYSDROSQ SFFWYRQYSG KSPELIMSIY SNGOKEDGRF TAQINKASQY VSLLIRDSQP SDSATYLCAV TIDSMGKLQF GAGTQWVTP DIGNEPBAYY QLKDSKSSDK SVCLFIDFDS QTNYSQSKDS DVCITDKTVL DMRSMDFKSN SAVANSKSSP FACANAFNNS IFFETFFPS PESS

【図49】

Figure 49a – Ser57→ Cβ鎖

Figure 49b Ser57→ Cβ鎖

M
NAGYTOTPKP QVLKTGGSMT LQCAQDMNHE YMSMYRQDPG MGLRLIHYSV
GAGITDQGEV PNGYNVSRST TEDPPLRLIS AAPSQTSVYF CASRPGLAGG
RPBGYFGFGT ELITYTEDLEN VFFPEVAVFER PSEARISHTY KATLYCLATG
FYPDHYELSW WYNGKSWHSG VCTTPGPLIKE QPALMORRYA LSSRLEVSAT
FWQDPRNHFR CQVQFYGLSE NDEWTQDRAK PVTQIVSARA WGRAD*

【図52】

Figure 52a – Val 13→C β 鎖

Figure 52 Val 13→Cβ鎖

N
NAJOTOTPKF OVLKUGQSMT LOCADDMNHE YMSWYRQDPG MGLRLIHYSV
GAGITDQGEV PNGYNVSRST TEDFFIRLLS AAPSQTSVYF CASRPGLAGG
RPBQYFGGGT RLITYTEDLKN VPFPEVACEF PSEARISHTO KATLVCLATG
FYDDHYRLSW WYNCKEWIGG VSTDFOPLKE OPALMORYA LISSRIKVSAT
FWQDPRNHFR CQVQFYGLSE NDEWTQDRAK PVTQIVSAEA WGRAD*

【図53】

Figure 53a – Asp 59→Cβ鎖

Figure 53b Asp 59→C β 鎖

M
M,AGYTOTPKF CVLKTGGSMT LQCACDMNHE YMSWYRQDPG MGLRLIHYSU
GAGITDQGEV PNGYNVSRST TEDFPLRLLS AAPSQTSVYF CASRPGLAGG
RPBQYFGGFG ELTVTEDLKN VPPBYAVFE PESAMISHTQ KATLVCLATG
FYPDHYBLSW WYNGKSVISG VSTCPQPLKE QPALMOSRYA ISSRLEVSAT
FWQDPRNHFR CQVQFYGLSE NDEWTQDRAK PVTQIVSARA WGRAD*

【図54】

Figure 54a -- Arg 79→Cβ鎖

Figure 54b Arg 79→C β 鎖

M
N,AGUTQTFKF QVLKTGOSMT LQCAQDMNHE YMSWYRQDFG MGLRLHYSV
GAGITDQGEV PMGYNVSRST TEDFFLRLLS AAPSQTSVYF CASRPGLAGG
RPROYFGPGF RLTVIEDLKN VFPPEVAVFE PSRAEISHTQ KATLVCLATG
FYDDDVILSH WYMGKEWHGG VSTDOPCLKE QPALINDSKYA LSGCLKVSAT
FWQDFRNHFR CQVQFYGLSE NDEWTQDRAK FVTQIVSARA WGRAD*

【図55】

Figure 55a – Phe 14→ Cβ ∰

atgaacgctggtgtcactcagaccccaaaattccaggtcctgaagacaggacaga gcatgaccatgcagtgtgcccaggatatgaaccatgaatacatgtcctggtatcg acaagacccaggcatggggtgaagctgattcattactcagttgtgctggtatc actgaccaaggagaagtccccaatggtaccatgtctccagatcacacaagagg atttcccggtcaggctgctgtcggtgctcactccagaacatctgtgtacttctg gccagcagccgggaactacggggagggcaccagagcagtacttcgggccggg accaggctcacaggtccagagagctgcagaagcagtacttccgacgaggtgct tcggcacacacaggctctaccccgacacagtgagtgcgttggtggtgaagacacactggtgtg ctggcacacaggctctaccccgacacagtggagtgsgtggtggtggtgaagagagccg acgaggtgcacagtggggtcacacagacccgcagaccctcaaggagcagccg cctcaatgactccagatacgctctgagagtgagtgtggtgtgtgggggaagaagacag agaaggtgcacagtagggtcacagtccgcagacccttaaggagcagcccg cctcaatgactccagatacgctctgagagtaggcctaggggtctcggagagccagacccg agaatgacgagtygaccaggatagggccaaaccgccaacacgtcaccagaccctcc gagaatgacgagtygaccaggaactaa

Figure 55b Phe 14→Cβ鎖

N.
AGNITOTEKE QVIKIGOSMI LQCAQDMNHE YMSWYRQDEG MELRLHYYSV
GAGITTÖGSV PRGYNNSRST TEDEPIKLIS AAFSOTSVYF CASRFOLAGS
FERDYSFGST RITVIELDEN VEPERVACES
FYEDIVSLSM WINGERVENG VSTDPOLKE QPALNDSKYA LSSKLEVSAT
FYDDYSKEN COUCYTGLSS NOSHYDDRAK PYTQIVSASA MGRAD*

【図58】

Figure 58a – Glu 15→Cβ鎖

Figure 58b Glu 15→C β鎖

M
N,AGVTOTPKF QULKTGOSMT LQCAQDMNHE YMSWYRQDPG MGLRLIHYSV
GAGITDQGEV PNGYNVSRST TEDFPLRLLS AAPSQTSVYF CASRFGLAGG
RPEQYFGPGT RLTVTEDLKN VPPEVAVFC PSEAEISHTQ KATLVCLATG
FYPDHVELSW WYNCKEVHSG VSTDPQPLKE QPALMDSRYA LSSRLRVSAT
FWODPRNHFR COVOFYGLSE NDEWTQDRAK PVTQIVSAEA WGRAD*

【図56】

Figure 56a - Gly 55→Cβ鎖

Figure 56b Gly 55→C β 鎖

M
N,AGVTYTPEF QVLKTGQSMT LQCAQDMNHE YMSWYRQDFG MGLELHYSV
GAGITDGGEV PNOYMVSRST TEDFFLELLS AAPSCTSVYF CASEPGLAGG
RPSQYFGFGT RLTVIEDLKN VFPEFUAVES PERAEISHTQ KATLVCLATG
FYDDBVISLEN WYNGKEWIGS. CUTUPGFLER GPALNDSKYN LESELEVSAT
FWQDFRHEFR CQVQFYGLGE NDEWYQDRAK FVTQIVSABA WGRAD*

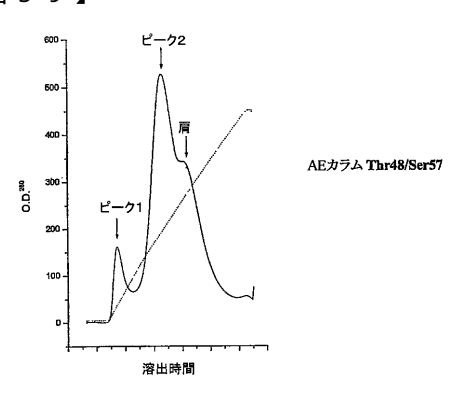
【図57】

Figure 57a – Leu 63→ Cβ鎖

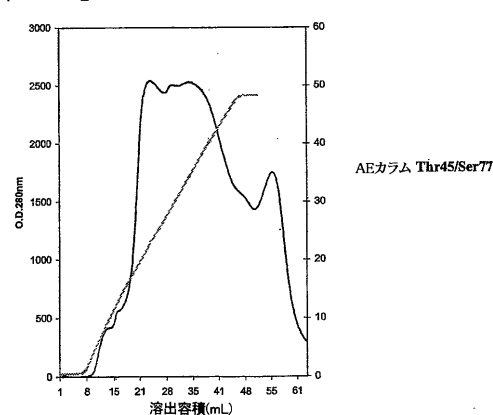
Figure 57b Leu 63→ C β 鎖

M
N,AGYTQTERF QVLKTGGSMT LQCAQDMNHE YMSWYRQDPG MGLRLHYSV
GAGITDGGSV PNGYMYSRST TEDFFLELLS AAPSQTSVYF CASRPGLAGG
RPEQYFOPGT RLTVIEDLEN VFPFSVAVFE PSBABISHTO KARIVCLATG
FYPDIVISLEN WUNGKEVHGS VSTDPQCYCE QPALINDSKYA LSSKLEVSAT
FWQDFRNHFR CQVQFYGLSE NDEWTQDRAK FVTQIVSAEA WGRAD*

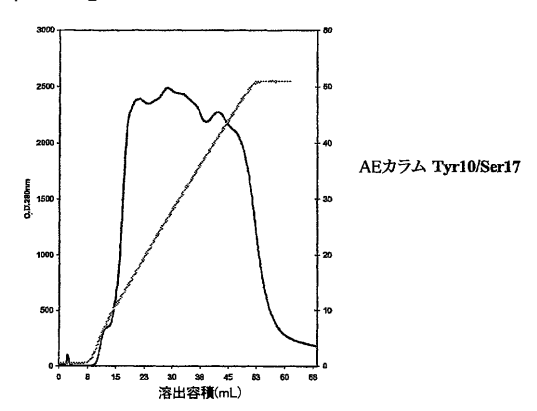
【図59】



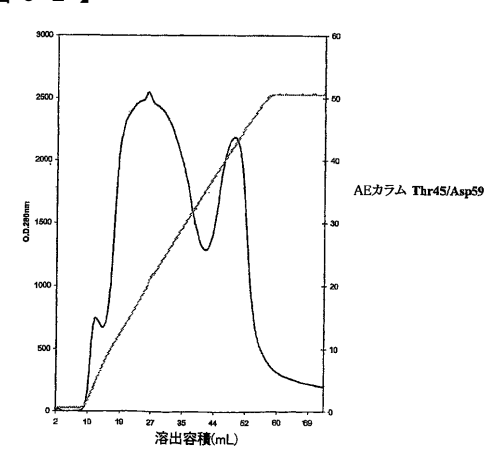
【図60】



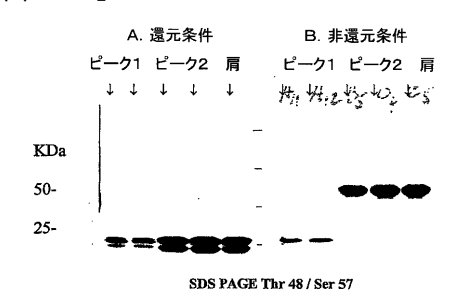
【図61】



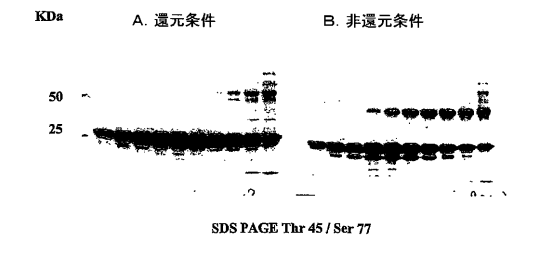
【図62】



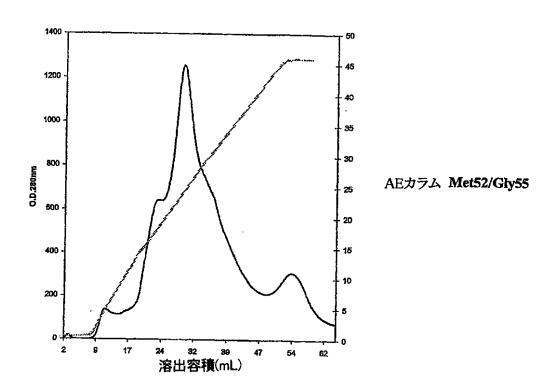
【図65】



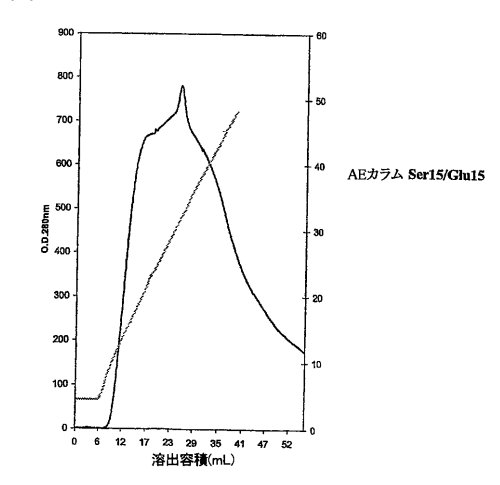
【図66】



【図63】



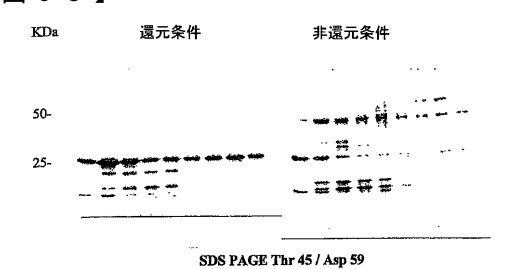
【図64】



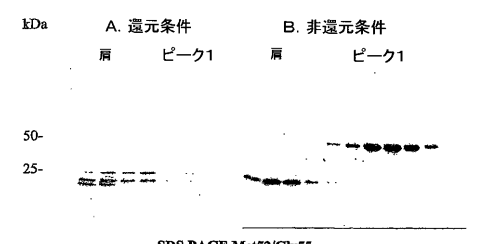
【図67】



【図68】

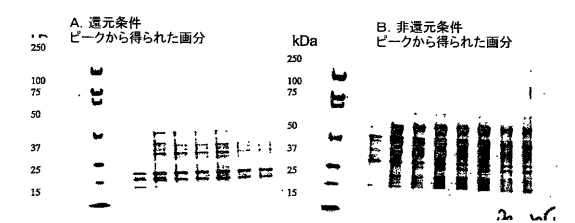


【図69】

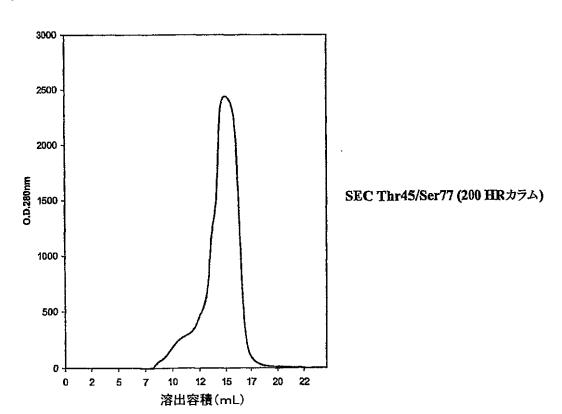


SDS PAGE Met52/Gly55

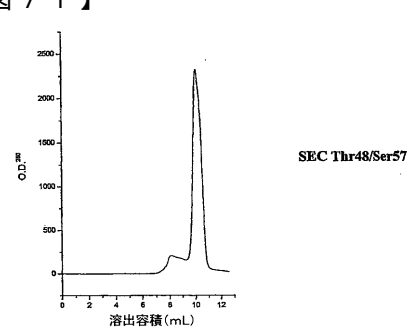
【図70】



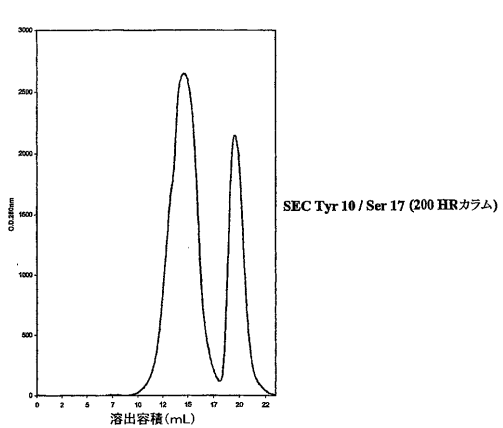
【図72】



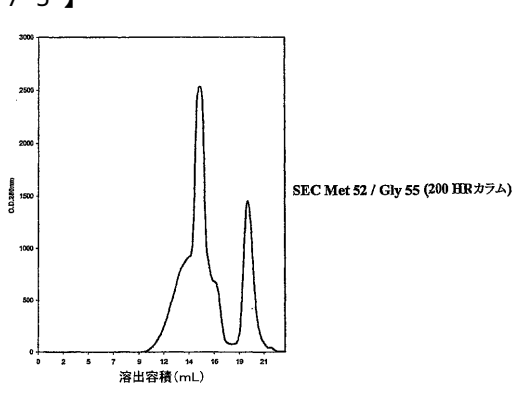
【図71】



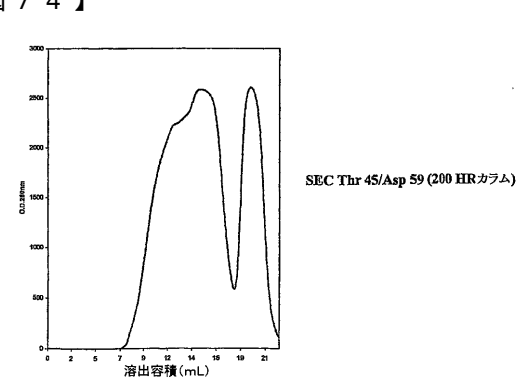
【図73】



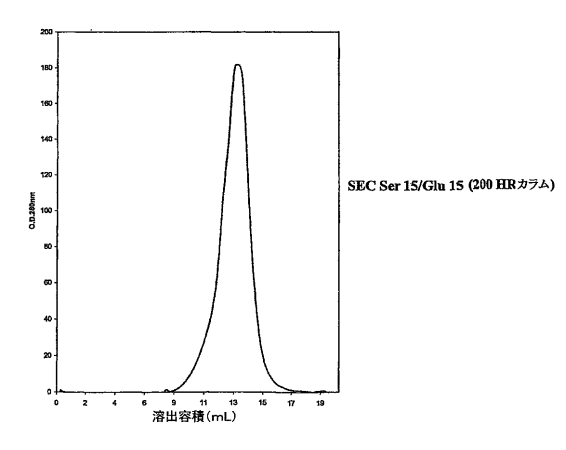
【図75】

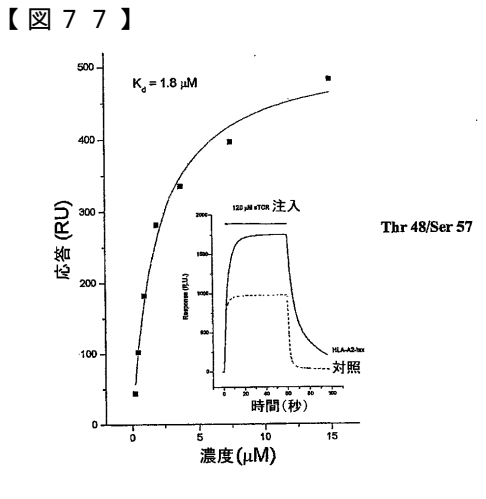


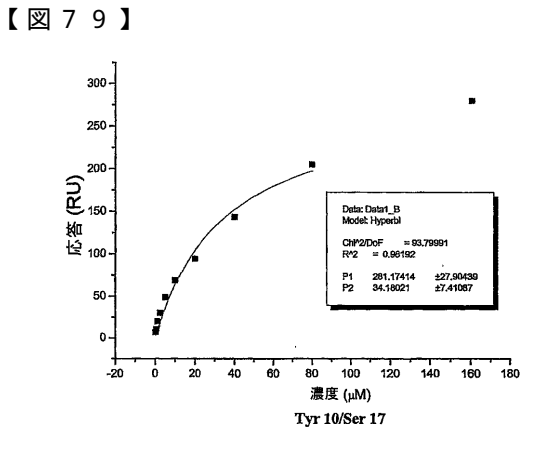
【図74】

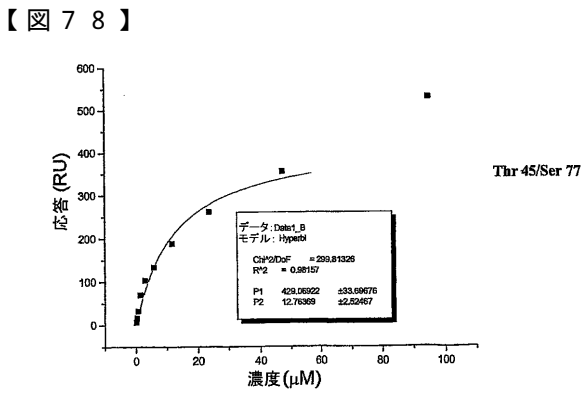


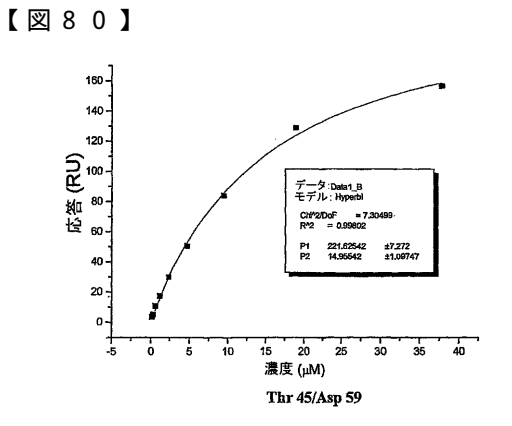
【図76】

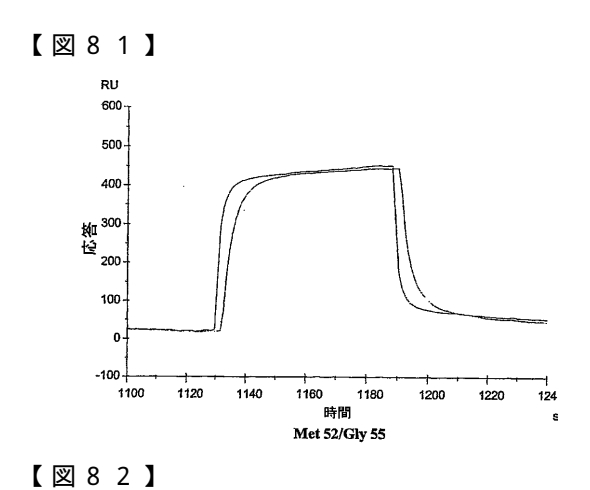


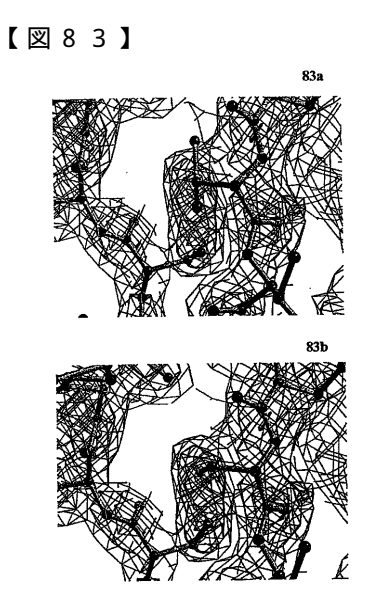


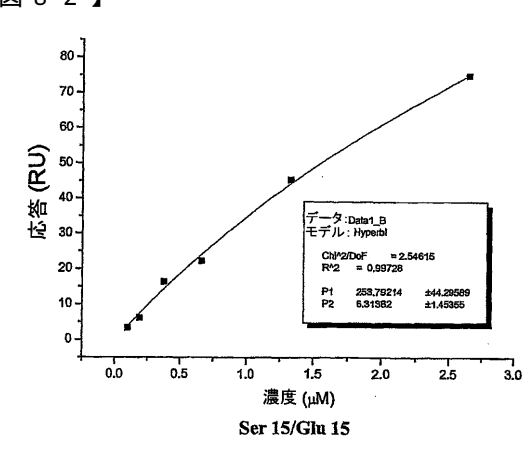


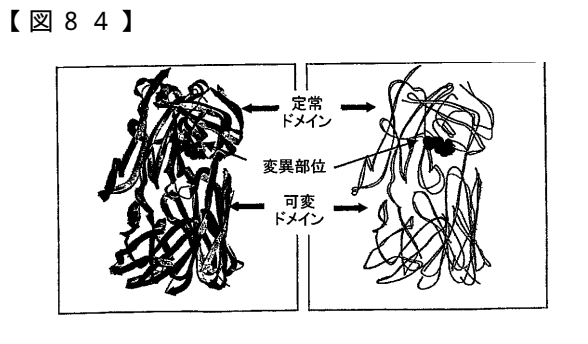












【図85】

Figure 85a

teccacaccaaccaacagcaactggtgtgcctggccacaggcttctaccccgaccac
tggagctgagactgagtggtgaactgggtctcgcacaagac
ccgcagccctcaaggagcagcccgcactcaatgactccagatacgctctgagggcc
cgctgagggtctcggcacttctggcaggaccccgcaacaacttccgctgtcaa
tccagttctacgggctctgggaatgagcagctggaccaggatagggccaaacca
tcagtctacaggctctgggaatgagaggacgaggaccaggatagggccaaacca
tcagactgtcaggcgaggcctggggtagagcagaacggatcggtggt
ctgaacgatatttttgaagctcagaaaaccgaataggcattaa

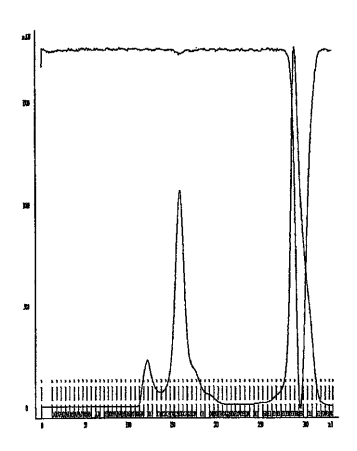


【図86】

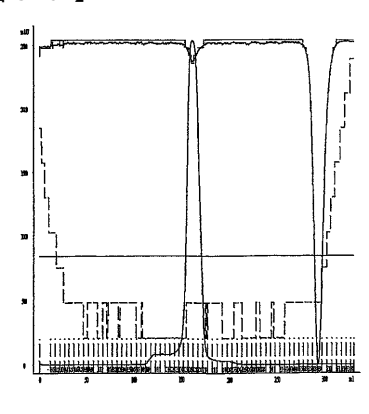
Figure 86a



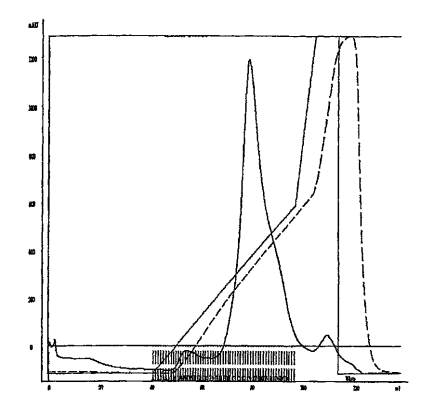
【図89】



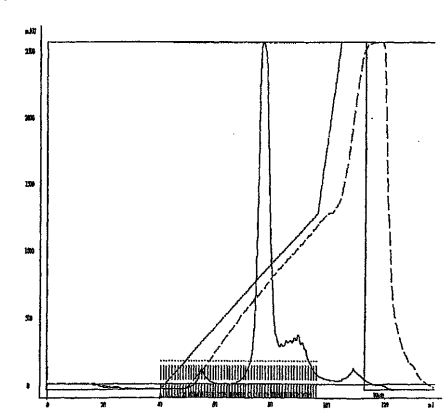
【図90】



【図87】



【図88】



【図91-1】

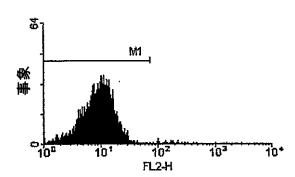


Figure 91a. PP LCL NYESO 0 TCR 5µg

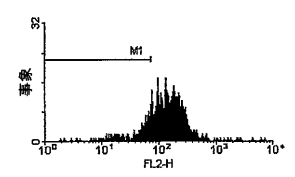


Figure 91b.PP LCL NYESO 10⁴M TCR 5μg

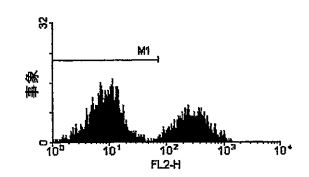


Figure 91c.PP LCL NYESO 10-5M TCR 5µg

【図91-2】

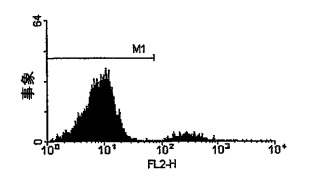


Figure 91d. PP LCL NYESO 10-6M TCR 5μg

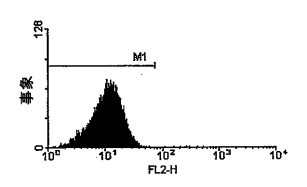


Figure 91e. PP LCL NYESO 0 TCR 10µg

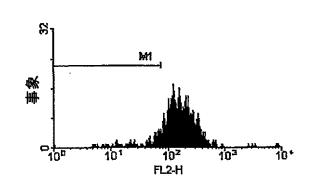


Figure 91f. PP LCL NYESO 10⁴M TCR 10µg

【図91-3】

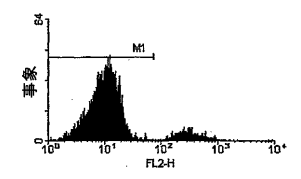
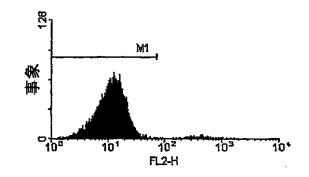
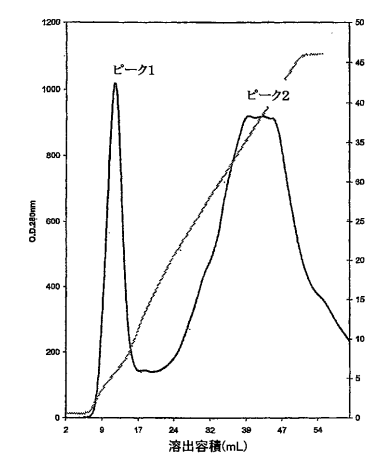


Figure 91g. PP LCL NYESO $10^{-5}M$ TCR $10\mu g$

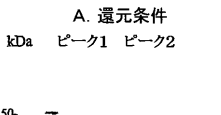


【図92】

【図93】



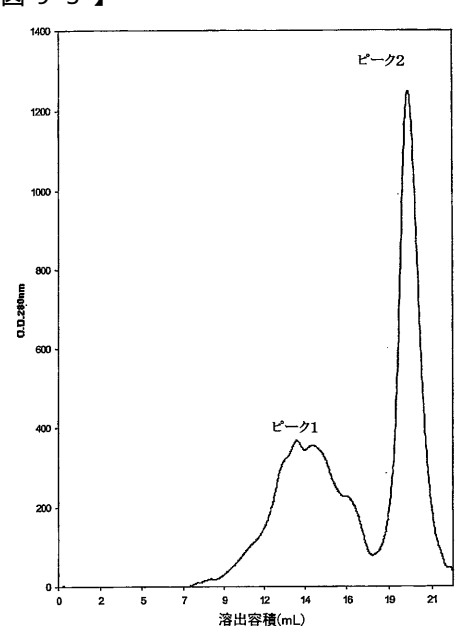
【図94】



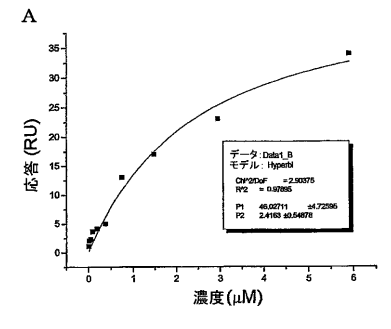
B. 非還元条件 kDa ピーク1 ピーク2

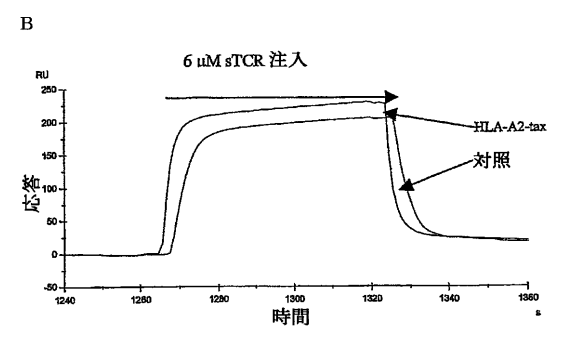


【図95】



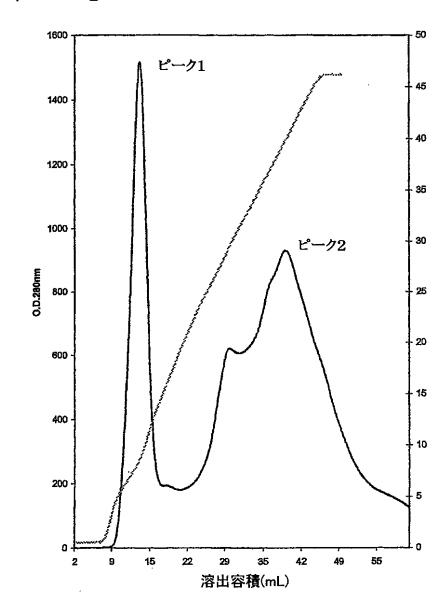
【図96】



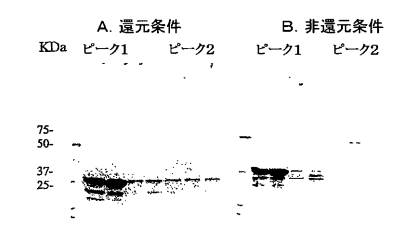


【図97】

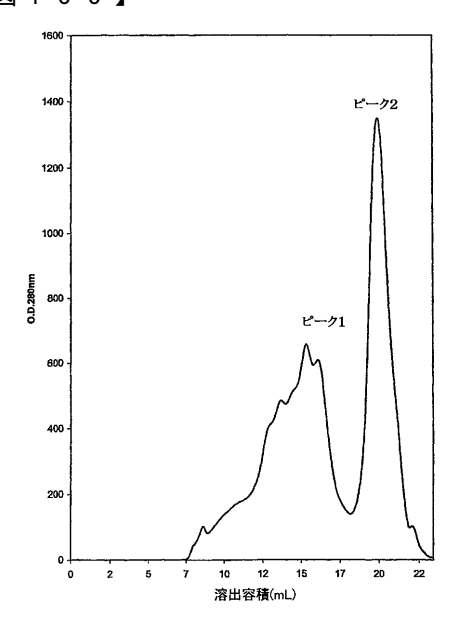
【図98】



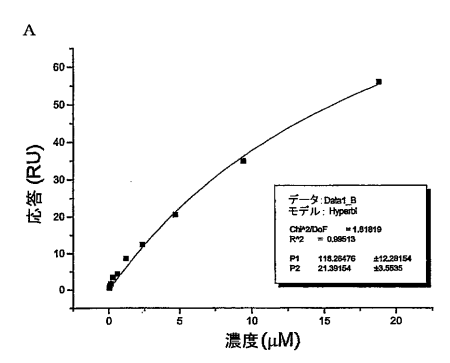
【図99】

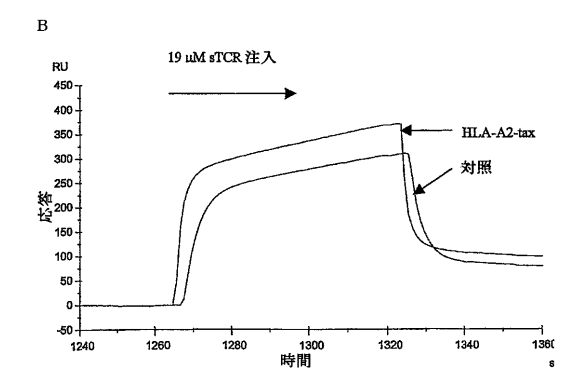


【図100】



【図101】

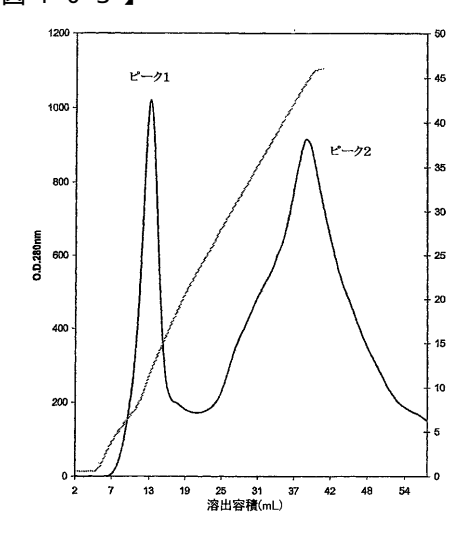




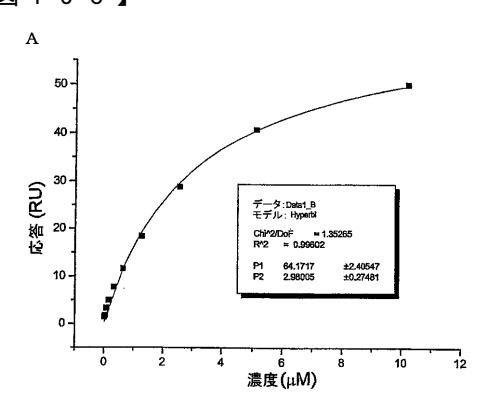
【図102】

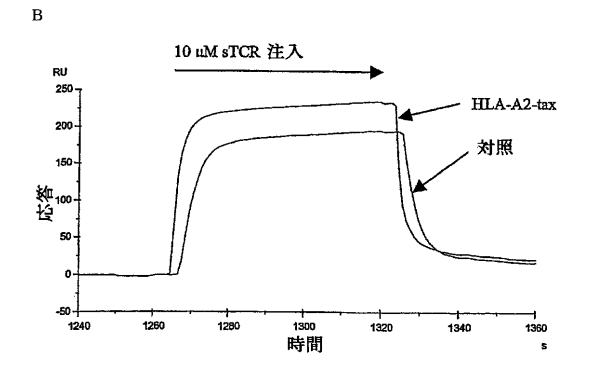
atgaacgctggtgtcactcagaccccaaaattccaggtcctgaagacaggacagagc atgacactgcagtgtgcccaggatatgaaccatgaatacatgtcctggtatcgacaa ${\tt gacccaggcatgggctgaggctgattcattactcagttggtgctggtatcactgac}$ ${\tt caaggagaagtccccaatggctacaatgtctccagatcaaccacagaggatttcccg}$ $\verb|ctcaggctgctgctgctccctcccagacatctgtgtacttctgtgccagcagg|$ ccgggactagcgggagggcgaccagagcagtacttcgggccgggcaccaggctcacg gtcacagaggacctgaaaaacgtgttcccacccgaggtcgctgtgtttgagccatca gaagcagagateteccacacccaaaaggccacaetggtgtgcctggccacaggette ${\tt taccccgaccacgtggagctgagctggtgtgagtgaatgggaaggtgcacagtggg}$ gtctgcacagacccgcagccctcaaggagcagcccgcctcaatgactccagatac tetetgageageegeetgagggteteggeeacettetggeaggaeeeeegeaaceae ${\tt agggccaaacccgtcacccagatcgtcagcgccgaggcctggggtagagcagactaa}$

【図103】

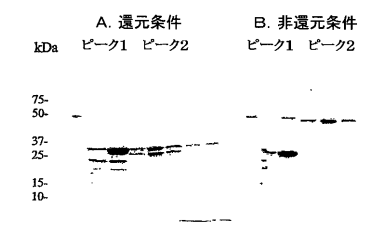


【図106】

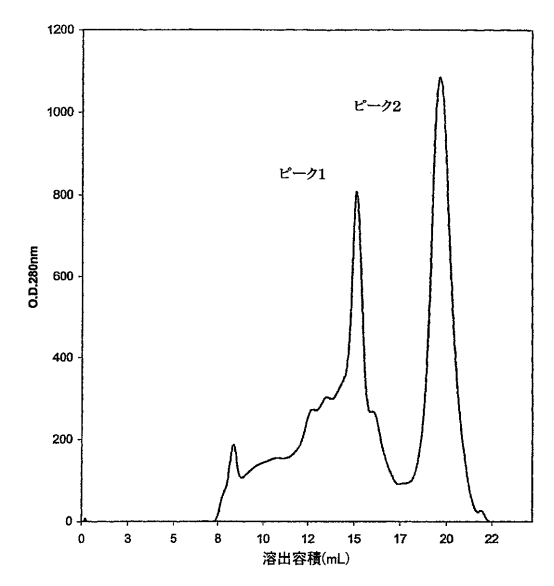




【図104】



【図105】



【図107-1】

【図107-2】

【図108-2】

NAME AND ACCOUNT GENERALD GROUNDER TRANSMERS THAT THE TRANSMERS THAT THAT TRANSMERS THAT TRANSMERS THAT THAT TRANSMERS THAT TR

【図108-1】

TO CHARACTER CHICATORY CONTINUES MATERIANS CHICATORY MATERIALS AND MATERIALS CHICATORY MATERIALS CHICATORY MATERIALS CHICATORY MATERIALS CHICATORY MATERIALS CHICATORY MATERIALS CHICATORY CHICATORY

【図109】

1 101 101 201 301 401 401 501 701 901

ープロ接合因子α配列は強調表示されている。BamHI部位には、下線が付されている。

【図110】

11 TATALOGUE AND TEACHER STORY STORY AND THE STORY SECRET AND THE STORY STORY

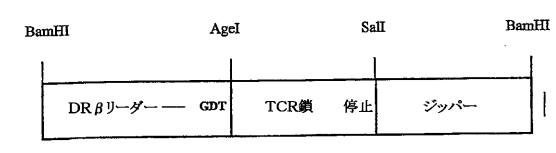
【図111】



【図112】

ggatccagcatggtgtgtctgaagctccctggaggctcctgcatgacagcgctgaca gtgacactgatggtgctgagctccccactggctttgtccggagacaccggtggcgga tctctagttccacgcggtagtgagagcggtggttccggaggacacgcgttagtaggtc gacggaggcggtggggtagaatcgcccggctggaggaaaaagtgaaaaccttgaaa gctcagaactcggagctggcgtccacggccaacatgctcagggaacaagtggcacag cttaaacagaaagtcatgaactactaggatcc

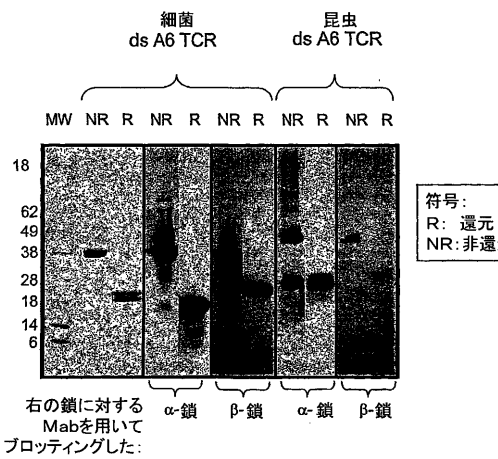
【図113】



【図114】

ggatccagcatggtgtgtctgaagctccctggaggctcctgcatgacagcgctgaca gtgacactgatggtgctgagctccccactggctttgtccggagacaccggagacacc gaagatggaaggtttadagdatagctaataaagcdagcagtatgtttattgtct atcaagaactccaagcocaagtattcagcaactaactctgtgcogttacaactgac agctgggggaaattgcagtttggagcagggacccaggttgtggtcaccccagatatc cagaaccctgaccctgccgtgtaccagctgagagactctaaatccagtgacaagtct gtctgcctattcaccgattttgattctcaaacaaatgtgtcacaaagtaaggatct gatgtgtatatcacagacaaatgtgtgctagacatgaggtctatggactcaagaga aacagtgctgtggcctggagcaacaaatctgactttgcatggcaaacgccttcaac ggaggoggtiggggtagaatogccoggctggaggaaaaagtgaaaaccttgaaagct cagaactoggagctggcgtccacggccaacatgctcagggaaeaggtggcacagctt aaacagaaagtcatgaactactaggatcc

【図116】



NR:非還元

【図115】

gtcgacggaggcggtgggggtagaatcgcccggctggaggaaaaagtgaaaaccttg aaagctcagaactoggagctggcgtccacggccaacatgctcagggaacaggtggcacagcttaaacagaaagtcatgaactactaggatcc

【配列表】 0004317940000001.app

Α C D

(74)代理人 100100952

(74)代理人 100101812

(74)代理人 100070437

(74)代理人 100124394

(74)代理人 100112807

弁理士 風間 鉄也

弁理士 勝村 紘

弁理士 河井 将次

弁理士 佐藤 立志

弁理士 岡田 貴志

フロントペー	- ジの続き						
(51) Int .CI .				FΙ			
A 6 1 P	37/02	(2	2006.01)	A 6 1	Р	37/02	
C 0 7 K	14/725	(2	2006.01)	C 0 7	′ K	14/725	
C 1 2 N	1/15	(2	2006.01)	C 1 2	2 N	1/15	
C 1 2 N	1/19	(2	2006.01)	C 1 2	2 N	1/19	
C 1 2 N	1/21	(2	2006.01)	C 1 2	2 N	1/21	
C 1 2 N	5/10	(2	2006.01)	C 1 2	2 N	5/00	
C 1 2 P	21/02	(2	2006.01)	C 1 2	2 P	21/02	
G 0 1 N	33/53	(2	2006.01)	G 0 1	Ν	33/53	
G 0 1 N	33/566	(2	2006.01)	G 0 1	Ν	33/566	
A 6 1 K	9/127	(2	2006.01)	A 6 1	K	9/127	
A 6 1 K	47/48	(2	2006.01)	A 6 1	K	47/48	
A 6 1 K	48/00	(2	2006.01)	A 6 1	K	48/00	
(31)優先権主	三張番号	60/40)4,182				
(32)優先日		平成1	4年8月16	日(2002.8.16)			
(33)優先権主	:張国	米国((US)				
(74)代理人	10009135	1					
	弁理士	河野	哲				
(74)代理人	10008868	3					
	弁理士	中村	誠				
(74)代理人	10010983	0					
	弁理士	福原	淑弘				
(74)代理人	10007567	2					
	弁理士	峰『	逢 司				
(74)代理人	10009544						
		白根	俊郎				
(74)代理人							
	弁理士		貞男				
(74)代理人							
	弁理士		信久				
(74)代理人							
	弁理士		保次郎				
(74)代理人							
(= () (I) == !	弁理士		直樹				
(74)代理人							
(7.4) (N.TH. I	弁理士	妙川	皃				

(74)代理人 100111073

弁理士 堀内 美保子

(74)代理人 100134290

弁理士 竹内 将訓

(74)代理人 100127144

弁理士 市原 卓三

(74)代理人 100141933

弁理士 山下 元

(72)発明者 ジャコブセン、ベント・カーステン イギリス国、オーエックス 1 4 ・ 4 アールエックス、オクソン、アビンドン、 5 7 シー・ミルトン ・パーク、アビデックス・リミテッド内

(72)発明者 グリック、メイアー

アメリカ合衆国、マサチューセッツ州 02072、ストウトン、ゴールデン・ロード 63

審査官 引地 進

(56)参考文献 米国特許第06080840(US,A)

国際公開第99/060120(WO,A1)

J. Biochem. , 1 9 9 3 年 , Vol.113 , pp.687-691

Immunity, 1995年, Vol.2, pp.281-287

J. Immunol., 1997年, Vol.159, pp.1718-1727

(58)調査した分野(Int.CI., DB名)

C07K 1/00-19/00

C12N 15/00-15/90

JSTPlus(JDreamII)

BIOSIS/WPI(DIALOG)



专利名称(译)	物质		
公开(公告)号	JP4317940B2	公开(公告)日	2009-08-19
申请号	JP2003525033	申请日	2002-08-30
[标]申请(专利权)人(译)	阿维指数有限公司		
申请(专利权)人(译)	Abidekkusu有限公司		
当前申请(专利权)人(译)	Imyunokoa有限公司		
[标]发明人	ジャコブセンベントカーステン グリックメイアー		
发明人	ジャコブセン、ベント·カーステン グリック、メイアー		
IPC分类号	C12N15/09 A61P3/10 A61P31/12 A/19 C12N1/21 C12N5/10 C12P21/0 A61K38/00		7/02 C07K14/725 C12N1/15 C12N1 61K9/127 A61K47/48 A61K48/00
CPC分类号	C07K14/7051 A61K38/00		
FI分类号	C12N15/00.ZNA.A A61P3/10 A61F C12N1/19 C12N1/21 C12N5/00.A A61K48/00		A61P37/02 C07K14/725 C12N1/15 01N33/566 A61K9/127 A61K47/48
代理人(译)	河野 哲中村诚河野直树风田隆山下 元		
审查员(译)	进Hikichi		
优先权	2001021187 2001-08-31 GB 2002019146 2002-08-16 GB 60/404182 2002-08-16 US		
其他公开文献	JP2005514006A5 JP2005514006A		
外部链接	Espacenet		

摘要(译)

类型代码: 本发明提供了一种可溶性T细胞受体,其包含(i)除跨膜结构域之外的全部或部分TCRα链和(ii)除跨膜结构域之外的全部或部分TCRβ链sTCR)来提供。(I)和(ii)分别与至少所述TCR链,由恒定域残基之间的二硫键连接的功能可变结构域和恒定结构域的一部分不存在于天然TCR那里。

TCR a 鎖	TCR β 鎖	天然の β 炭素の距離	
		(nm)	
Thr 48	Ser 57	0.473	
Thr 45	Ser 77	0.533	
Tyr 10	Ser 17	0.359	
Thr 45	Asp 59	0.560	
Ser 15	Glu 15	0.59	